

**การศึกษาประถิทชีภาพของการใช้ฟุ่นหินและเต้าโลยลิกไนต์  
เป็นวัสดุผสมเพิ่มในแอสฟอลต์คอนกรีต**

**นายมนิตย์ เชิดชูนคร**

วิทยานิพนธ์นี้เป็นส่วนหนึ่งของการศึกษาตามหลักสูตรปริญญาวิศวกรรมศาสตรมหาบัณฑิต  
สาขาวิศวกรรมขนส่ง  
มหาวิทยาลัยเทคโนโลยีสุรนารี  
ปีการศึกษา 2552

**STUDY ON THE EFFICIENCY OF USING ROCK DUST  
AND FLY ASH AS ADDITIVES TO  
ASPHALT CONCRETE**

**Manit Cherdchoonakhorn**

**A Thesis Submitted in Partial Fulfillment of the Requirements for the  
Degree of Master of Engineering in Transportation Engineering  
Suranaree University of Technology**

**Academic Year 2009**

การศึกษาประสิทชิภาพของการใช้ฟุนก์ชันและถ้าอยลิกไนต์  
เป็นวัสดุผสมเพิ่มในแอลฟล็อกค่อนกรีต

มหาวิทยาลัยเทคโนโลยีสุรนารี อนุมัติให้นับวิทยานิพนธ์ฉบับนี้เป็นส่วนหนึ่งของการศึกษา  
ตามหลักสูตรปริญญามหาบัณฑิต

คณะกรรมการสอบวิทยานิพนธ์

(รศ. ดร.วัฒนวงศ์ รัตนาพาห)

ประธานกรรมการ

(ผศ. ดร.ถิรยุทธ ลิมานนท์)

กรรมการ (อาจารย์ที่ปรึกษาวิทยานิพนธ์)

(อ. ดร.บุญชัย แสงเพชรบาง)

กรรมการ

(ศ. ดร.ชุภกิจ ลิมปีจำนวนค์)  
รองอธิการบดีฝ่ายวิชาการ

(รศ. น.อ. ดร.วรพจน์ ทำพิศ)  
คณบดีสำนักวิชาวิศวกรรมศาสตร์

มานิตร์ เข็คชูนนคร : การศึกษาประสิทธิภาพของการใช้ฝุ่นหินและถ่านหินลิกไนต์เป็นวัสดุ  
ผสมเพิ่มในแอสฟัลต์คอนกรีต (STUDY ON THE EFFICIENCY OF USING ROCK  
DUST AND FLY ASH AS ADDITIVES TO ASPHALT CONCRETE)

อาจารย์ที่ปรึกษา : ผู้ช่วยศาสตราจารย์ ดร. ခិរុយុទ្ធគ លិមាននី, 120 ឆ្នាំ.

ปัจจุบันการเดินทางด้วยรถยนต์มีจำนวนมากขึ้น ทำให้ต้องมีการพัฒนาถนนให้สมบูรณ์อยู่เสมอ ผู้วิจารณ์ถือเป็นส่วนสำคัญในอันดับแรกที่ต้องให้ความสำคัญอย่างมาก เพราะด้วยการใช้งานที่มีอยู่ต่อเนื่อง ทำให้ผู้วิจารณ์มีการสึกหลอกเร็วขึ้น เมื่อเป็นเช่นนั้นจะทำให้ถนนชำรุดและเกิดอุบัติเหตุทางถนนได้ง่าย และในปัจจุบันได้มีการนำวัสดุธรรมชาติมาใช้ในการก่อสร้างจำนวนมาก ทำให้ทรัพยากรบางประเภทลดน้อยลง ดังนั้นการศึกษารั้งนี้จะเป็นการทดลองนำฝุ่นหินที่เหลือจากการกระบวนการผลิตแอสฟัลต์คอนกรีต และขี้ถ้าloyที่ได้จากการเผาไหม้ของถ่านหินลิกไนต์จากโรงไฟฟ้าแม่มาเป็นวัสดุผสมเพิ่มในส่วนผสมแอสฟัลต์คอนกรีต ซึ่งในการวิจัยครั้งนี้จะใช้ยาง AC 60-70 เท่ากับ 4.0 4.5 5.0 5.5 และ 6.0 เปอร์เซ็นต์โดยน้ำหนักของส่วนผสมแอสฟัลต์คอนกรีต เมื่อได้ค่าเบอร์เซ็นต์ยางที่เหมาะสมแล้วจะทำการผสมเพิ่มด้วยปูนซีเมนต์ปอร์ตแลนด์ประเภทที่หนึ่ง ฝุ่นหินและขี้ถ้าloyซึ่งจะใช้ในการวิจัยครั้งนี้เท่ากับ 1.0 1.5 2.0 2.5 3.0 4.0 และ 5.0 เปอร์เซ็นต์โดยน้ำหนัก โดยใช้ส่วนผสมปูนซีเมนต์ปอร์ตแลนด์ประเภทที่หนึ่งเป็นตัวเปรียบที่ยืนจากนั้นจะดูความเหมาะสมของค่าที่ได้จากการทดสอบความสัมพันธ์ระหว่าง เปอร์เซ็นต์ยางกับ (1) ความหนาแน่น (2) เปอร์เซ็นต์ช่องว่างอากาศ (3) ค่าการไหล (4) เสถียรภาพ (5) เปอร์เซ็นต์ช่องว่างอากาศส่วนที่ถูกแทนที่ด้วยแอสฟัลต์ และ (6) เปอร์เซ็นต์ช่องว่างระหว่างวัสดุมวลรวม ให้ตรงตามมาตรฐานกรมทางหลวง โดยจะใช้การทดลองด้วยวิธีมาร์แซลล์ตามมาตรฐาน ASTM D1559-82 และทดสอบหาค่าไมครูลัสด้านทานโดยวิธีแรงดึงทางอ้อม

MANIT CHERDCHOONAKHORN : STUDY ON THE EFFICIENCY OF  
USING ROCK DUST AND FLY ASH AS ADDITIVES TO ASPHALT  
CONCRETE. THESIS ADVISOR : ASST. PROF. THIRAYOOT  
LIMANOND, Ph.D., 120 PP.

MARSHAL'S/ INDIRECT TENSILE STIFFNESS MODULUS/ ROCK DUST/  
FLY ASH

Nowadays, usage of automobile is rapidly increasing. Therefore, needs for developments of roadways are considered high priority. The primary concern is the surface of streets. Since it is used all time, the surface wears out very quickly causing potholes and roughness and, subsequently resulting accidents to occur very easily. Presently, many natural materials are being used in road constructions causing rapid decrement in such resources. This experiment uses rock dust left from asphalt concrete manufacturing and fly ash, by-product from burning of lignite from Mae Moh Power Plant, as additives to asphalt concrete compound. This research will use the AC 60-70 rubber in the amount of 4.0, 4.5, 5.0, 5.5 and 6.0 percent by weight, respectively, as additive to the asphalt concrete compound. Then, when an appropriate percentage is obtained, No.1 Portland cement, rock dust and fly ash, in the amount of 1.0, 1.5, 2.0, 2.5, 3.0, 4.0 and 5.0 percent, respectively, will be added using No. 1 Portland cement compound as reference. Finally, the study will observe which one of the values, resulted in graph showing the relation between percentages of rubber added and (1) Density, (2) %Air Voids, (3) Flow, (4) Stability, (5) %Voids Filled with Bitumen (VFB), and (6) %Voids in Mineral Aggregate (VMA). The experiment uses

Marshal's procedure under the ASTM D1559-82 standards and Dynamic Indirect Tensile Stiffness Modulus.

School of Transportation Engineering

Student's Signature \_\_\_\_\_

Academic Year 2009

Advisor's Signature \_\_\_\_\_

## กิตติกรรมประกาศ

ผู้วิจัยขอรับขอบเขตประคุณณาจารย์ บุคคลต่างๆ รวมไปถึงหน่วยงานราชการและเอกชน ที่ให้คำแนะนำ ปรึกษา และสนับสนุนในการทำวิจัยครั้งนี้โดยมี

ผู้ช่วยศาสตราจารย์ ดร.ธิรยุทธ ลิมานนท์ อาจารย์ที่ปรึกษาวิทยานิพนธ์ ที่ให้การอบรม แนะนำ ช่วยเหลือในการแก้ไขปัญหาต่างๆ ตลอดจนแนะนำการเขียนวิทยานิพนธ์จนเสร็จสมบูรณ์

รองศาสตราจารย์ ดร.วัฒนวงศ์ รัตนวราห ประธานกรรมการ ที่กรุณาให้การแนะนำ คำปรึกษา ซึ่งแนะนำแนวทางการเขียน และช่วยตรวจสอบเนื้อหาวิทยานิพนธ์

อาจารย์ ดร.บุญชัย แสงเพชร กรรมการ ที่กรุณาให้การแนะนำ และตรวจสอบเนื้อหา วิทยานิพนธ์

ผู้ช่วยศาสตราจารย์ นิรชร nakgeaw อาจารย์ประจำสาขาวิชาศึกษาระบบทั่ง มหาวิทยาลัย เทคโนโลยีราชมงคลชัยบุรี ที่ให้คำปรึกษาแนะนำการทดสอบ

อาจารย์ บุณพล มีไชโย อาจารย์ประจำสาขาวิชาศึกษาระบบทั่ง และ โครงสร้างพื้นฐาน มหาวิทยาลัยนเรศวร ที่ให้คำปรึกษาและอำนวยความสะดวกในการทดสอบค่าโมดูลัสต้านทานโดย วิธีแรงดึงทางอ้อม

ขอขอบคุณส่วนวิเคราะห์และตรวจสอบทางวิศวกรรม รวมทางหลวงที่ 8 รวมไปถึง ข้าราชการประจำ ที่ให้คำแนะนำและช่วยเหลือ ในการใช้อุปกรณ์ และเครื่องมือทดสอบ

ขอขอบคุณสถาบันวิจัยและพัฒนามหาวิทยาลัยเทคโนโลยีสุรนารี รวมถึงบุคลากรประจำ ศูนย์เครื่องมือวิทยาศาสตร์และเทคโนโลยี ที่ให้คำแนะนำและช่วยเหลือ ในการใช้อุปกรณ์ และ เครื่องมือทดสอบ

ท้ายนี้ ผู้วิจัยขอรับขอบเขตประคุณบิดา márda ที่ให้การอุปการะอบรมเดียงดู ตลอดจนให้ ความรู้ ส่งเสริมการศึกษา และให้กำลังใจด้วยดีเสมอมา จนกระทั่งวิทยานิพนธ์ฉบับนี้เสร็จสมบูรณ์

นานิตย์ เชิดชูนคร

# สารบัญ

หน้า

บทคัดย่อ (ภาษาไทย).....	๑
บทคัดย่อ (ภาษาอังกฤษ).....	๒
กิตติกรรมประกาศ.....	๓
สารบัญ .....	๔
สารบัญตาราง .....	๕
สารบัญรูป .....	๖
คำอธิบายสัญลักษณ์และคำย่อ .....	๗
<b>บทที่</b>	

<b>1 บทนำ .....</b>	<b>1</b>
1.1 ปัญหาที่ทำวิจัยและความสำคัญของปัญหา .....	1
1.2 วัตถุประสงค์การวิจัย.....	4
1.3 ขอบเขตของงานวิจัย .....	5
1.4 ประโยชน์ที่คาดว่าจะได้รับ .....	5
<b>2 ปริศน์วรรณกรรมและงานวิจัยที่เกี่ยวข้อง .....</b>	<b>6</b>
2.1 คุณลักษณะแօสฟิลต์คอนกรีต .....	6
2.2 คุณสมบัติสำคัญในการออกแบบแօสฟิลต์คอนกรีต .....	8
2.3 การผลิตแօสฟิลต์คอนกรีต .....	12
2.4 วัสดุผสมแทรก (Mineral Filler).....	13
2.5 ปริศน์งานวิจัยที่เกี่ยวข้อง.....	15
2.6 สรุปผลงานวิจัยที่เกี่ยวข้อง .....	28
<b>3 วิธีดำเนินงานวิจัย.....</b>	<b>29</b>
3.1 แผนการดำเนินงานวิจัย .....	29
3.2 ทดสอบคุณสมบัติแօสฟิลต์ซีเมนต์ .....	30

## สารบัญ (ต่อ)

หน้า

3.3	ทดสอบวัสดุมวลรวม .....	30
3.4	แอสฟัลต์คอนกรีต (Asphaltic Concrete) .....	32
3.5	วัสดุผสมเพิ่ม .....	33
3.6	การวิเคราะห์ข้อมูล.....	34
<b>4</b>	<b>ผลการวิเคราะห์ข้อมูลและการอภิปรายผล.....</b>	<b>41</b>
4.1	ผลการทดสอบแอสฟัลต์ซีเมนต์ (AC 60-70) .....	41
4.2	ผลการทดสอบมวลรวม .....	41
4.3	ผลการทดสอบการเลือกปริมาณยางในแอสฟัลต์คอนกรีต.....	43
4.4	ผลการทดสอบวัสดุผสมเพิ่ม .....	49
4.4.1	ผลการทดสอบแอสฟัลต์คอนกรีตผสมเพิ่มด้วยซีเมนต์.....	52
4.4.2	ผลการทดสอบแอสฟัลต์คอนกรีตผสมเพิ่มด้วยผุนพิน .....	57
4.4.3	ผลการทดสอบแอสฟัลต์คอนกรีตผสมเพิ่มด้วยถ่านอยลิกไนต์ .....	62
4.5	ผลการทดสอบค่าโน้มคลัลส์ต้านทาน โดยวิธีแรงดึงทางอ้อม.....	66
4.6	ผลการวิเคราะห์ค่าใช้จ่ายของแอสฟัลต์คอนกรีตกับวัสดุผสมเพิ่มประเภทต่าง ๆ .....	67
<b>5</b>	<b>บทสรุป.....</b>	<b>69</b>
5.1	สรุปผลการวิจัย .....	69
5.1.1	ผลทดสอบมวลรวม.....	69
5.1.2	ผลทดสอบเลือกปริมาณแอสฟัลต์ซีเมนต์ที่เหมาะสม ของแอสฟัลต์คอนกรีต .....	69
5.1.3	ผลทดสอบเลือกปริมาณซีเมนต์ที่เหมาะสม .....	70
5.1.4	ผลทดสอบเลือกปริมาณผุนพินที่เหมาะสม .....	70
5.1.5	ผลทดสอบเลือกปริมาณถ่านอยลิกไนต์ที่เหมาะสม.....	71
5.1.6	สรุปผลทดสอบวัสดุผสมเพิ่ม .....	71
5.2	ข้อเสนอแนะ .....	72

## สารบัญ (ต่อ)

หน้า

รายการอ้างอิง .....	74
<b>ภาคผนวก</b>	
ภาคผนวก ก. ผลทดสอบ .....	76
ภาคผนวก ข. บทความผลงานวิจัยที่นำเสนอในการประชุมวิชาการ ชนส่งแห่งชาติ ครั้งที่ 6 .....	113
ประวัติผู้เขียน .....	120

## สารบัญตาราง

ตารางที่	หน้า
2.1 ผลการทดสอบแบบมาร์แซลล์ระหว่างหินผุน ปูนขาวและซีเมนต์ (Tienfuan Kerh et al., 2005) .....	19
2.2 ผลการทดสอบทางโครงสร้างฟิสิกส์ (Shaopeng Wu et al., 2006).....	20
2.3 ผลการทดสอบแบบมาร์แซลล์ (Shaopeng Wu et al., 2006).....	20
2.4 ผลทดสอบทางเคมีถ้าลองอยลิกไนต์ (Ratnasamy Muniandy et al., 2008) .....	21
2.5 ผลทดสอบทางเคมีผุนหินปูน (Ratnasamy Muniandy et al., 2008) .....	21
2.6 ผลทดสอบทางเคมีผงเซรามิก (Ratnasamy Muniandy et al., 2008).....	22
2.7 ผลทดสอบทางเคมีตะกรันเหล็ก (Ratnasamy Muniandy et al., 2008) .....	22
2.8 ผลทดสอบทางเคมีถ้าลองอยลิกไนต์ (Md. Jahir et al., 2006) .....	25
2.9 ผลทดสอบกำลังอัดอายุ 3 7 และ 28 วัน (Md. Jahir et al., 2006).....	26
2.10 ขนาดคละตามอัตราส่วนระหว่างผุนหินต่อยางแอลฟล็อก (Mustafa and Serdal, 2005) .....	27
4.1 ค่าความถ่วงจำเพาะแอลฟล็อกซีเมนต์ (AC 60 - 70) ที่อุณหภูมิ 25 องศาเซลเซียส และเปอร์เซ็นต์การดูดซึมยาง .....	41
4.2 ผลการทดสอบมวลรวม.....	42
4.3 ผลทดสอบแอลฟล็อกต์คอนกรีตที่แอลฟล็อกซีเมนต์ 4.8 เปอร์เซ็นต์.....	49
4.4 ผลทดสอบค่าความถ่วงจำเพาะ.....	49
4.5 ผลทดสอบการร่อนผ่านตะเกียง.....	50
4.6 คุณสมบัติทางเคมีของซีเมนต์ ผุนหิน และถ้าลองอยลิกไนต์ .....	50
4.7 ผลทดสอบแอลฟล็อกต์คอนกรีตที่ผสมเพิ่มด้วยซีเมนต์ในอัตราส่วน 2 เปอร์เซ็นต์ .....	57
4.8 ผลทดสอบแอลฟล็อกต์คอนกรีตที่ผสมเพิ่มด้วยผุนหินในอัตราส่วน 2.5 เปอร์เซ็นต์ .....	61
4.9 ผลทดสอบแอลฟล็อกต์คอนกรีตที่ผสมเพิ่มถ้าลองอยลิกไนต์ในอัตราส่วน 3.0 เปอร์เซ็นต์ .....	65
4.10 เปรียบเทียบผลทดสอบการผสมเพิ่มของซีเมนต์ ผุนหินและถ้าลองอยลิกไนต์ .....	67
4.11 เปรียบเทียบราคาต่อ 1 ลูกบาศก์เมตร (บาท) .....	68

# สารบัญรูป

รูปที่	หน้า
1.1 แสดงการเป่าออกของผุ่นหินจากกระบวนการผลิต .....	2
2.1 ลักษณะก้อนแอลฟิลด์ค่อนกรีตที่ออกแบบด้วยวิธีมาร์เซลล์ .....	6
2.2 แสดงขั้นตอนการผสมแอลฟิลด์ค่อนกรีต .....	13
2.3 ขั้นตอนการผสมในโรงผสม (Plant Mix) .....	13
2.4 ลักษณะผุ่นหินที่ระจัดกระจายไปทั่วโรงผสม .....	14
2.5 ลักษณะผุ่นหินที่เหลือและกองเก็บเป็นจำนวนมาก .....	14
2.6 เปรียบเทียบค่าเสถียรภาพที่วัสดุอัดแทรกต่าง ๆ (ขัยชาญ วนิทัศน์, 2530) .....	16
2.7 ผลทดสอบค่าโมดูลัสคืนตัวแทนตะกรันเหล็กทั้งหมด (Meor Hamzah and Teoh Yi, 2008) .....	18
2.8 ผลทดสอบค่าโมดูลัสคืนตัวแทนตะกรันเหล็กและหินเกรนิตครึ่งหนึ่ง (Meor Hamzah and Teoh Yi, 2008) .....	18
2.9 ผลการทดสอบกำลังอัดที่อายุต่างๆ(Hanifi Binici et al., 2007).....	23
2.10 ขนาดคละที่ใช้ทดสอบ (Saad and Haider, 2005) .....	24
2.11 ผลทดสอบการหลุดลอกของส่วนผสมต่าง ๆ (Saad and Haider, 2005) .....	24
2.12 ผลทดสอบค่าเสถียรภาพแบบมาร์เซลล์ (Mustafa and Serdal, 2005) .....	27
3.1 สรุปขั้นตอนการทำวิจัย .....	29
3.2 เครื่องมือทดสอบค่าโมดูลัสต้านทานโดยวิธีแรงดึงทางอ้อม .....	34
3.3 แสดงส่วนน้ำหนักคิดเป็นร้อยละของมวลรวมและ ปริมาตรคิดเป็นร้อยละของปริมาตร .....	35
3.4 แสดงลักษณะการทดสอบแบบค่าโมดูลัสต้านทานโดยวิธีแรงดึงทางอ้อม (ห้องทดสอบวัสดุการทำงานห่าวิทยาลัยนเรศวร) .....	40
4.1 กราฟแสดงขนาดคละรวม .....	42
4.2 ความสัมพันธ์ระหว่างความหนาแน่นกับเบอร์เซ็นต์แอลฟิลด์ชีเมนต์ .....	43
4.3 ความสัมพันธ์ระหว่างค่าเบอร์เซ็นต์ช่องว่างอากาศกับเบอร์เซ็นต์แอลฟิลด์ชีเมนต์ .....	44
4.4 ความสัมพันธ์ระหว่างค่าเสถียรภาพกับเบอร์เซ็นต์แอลฟิลด์ชีเมนต์.....	45

## สารบัญรูป (ต่อ)

รูปที่	หน้า
4.5 ความสัมพันธ์ระหว่างค่าการ ไฟลกับเบอร์เซ็นต์แอสฟัลต์ซีเมนต์ .....	46
4.6 ความสัมพันธ์ระหว่างค่าเบอร์เซ็นต์ช่องว่างอากาศส่วนที่ถูกแทนที่ด้วย แอสฟัลต์กับเบอร์เซ็นต์แอสฟัลต์ซีเมนต์ .....	47
4.7 ความสัมพันธ์ระหว่างค่าเบอร์เซ็นต์ช่องว่างระหว่างวัสดุมวลรวมกับ เบอร์เซ็นต์แอสฟัลต์ซีเมนต์ .....	48
4.8 ลักษณะรูปร่างของซีเมนต์กำลังขยาย 1,100 เท่า .....	51
4.9 ลักษณะรูปร่างของผุนพินกำลังขยาย 1,100 เท่า .....	51
4.10 ลักษณะรูปร่างของถ้าลอยลิกไนต์กำลังขยาย 1,100 เท่า .....	52
4.11 ความสัมพันธ์ระหว่างค่าความหนาแน่นกับเบอร์เซ็นต์ซีเมนต์ .....	53
4.12 ความสัมพันธ์ระหว่างค่าเบอร์เซ็นต์ช่องว่างอากาศกับเบอร์เซ็นต์ซีเมนต์ .....	53
4.13 ความสัมพันธ์ระหว่างค่าเสถียรภาพกับเบอร์เซ็นต์ซีเมนต์ .....	54
4.14 ความสัมพันธ์ระหว่างค่าการ ไฟลกับเบอร์เซ็นต์ซีเมนต์ .....	54
4.15 ความสัมพันธ์ระหว่างค่าเบอร์เซ็นต์ช่องว่างอากาศส่วนที่ถูกแทนที่ด้วย แอสฟัลต์กับเบอร์เซ็นต์ซีเมนต์ .....	55
4.16 ความสัมพันธ์ระหว่างค่าเบอร์เซ็นต์ช่องว่างระหว่างวัสดุมวลรวมกับ เบอร์เซ็นต์ซีเมนต์ .....	55
4.17 ความสัมพันธ์ระหว่างค่าความหนาแน่นกับเบอร์เซ็นต์ผุนพิน .....	57
4.18 ความสัมพันธ์ระหว่างค่าเบอร์เซ็นต์ช่องว่างอากาศกับเบอร์เซ็นต์ผุนพิน .....	58
4.19 ความสัมพันธ์ระหว่างค่าเสถียรภาพกับเบอร์เซ็นต์ผุนพิน .....	58
4.20 ความสัมพันธ์ระหว่างค่าการ ไฟลกับเบอร์เซ็นต์ผุนพิน .....	59
4.21 ความสัมพันธ์ระหว่างค่าเบอร์เซ็นต์ช่องว่างอากาศส่วนที่ถูกแทนที่ด้วยแอสฟัลต์กับ เบอร์เซ็นต์ผุนพิน .....	59
4.22 ความสัมพันธ์ระหว่างค่าเบอร์เซ็นต์ช่องว่างระหว่างวัสดุมวลรวมกับ เบอร์เซ็นต์ผุนพิน .....	60
4.23 ความสัมพันธ์ระหว่างค่าความหนาแน่นกับเบอร์เซ็นต์ถ้าลอยลิกไนต์ .....	62

## สารบัญรูป (ต่อ)

รูปที่	หน้า
4.24 ความสัมพันธ์ระหว่างค่าเบอร์เซ็นต์ช่องว่างอากาศกับเบอร์เซ็นต์ถ้าโลยลิกไนต์ .....	62
4.25 ความสัมพันธ์ระหว่างค่าเสถียรภาพกับเบอร์เซ็นต์ถ้าโลยลิกไนต์ .....	63
4.26 ความสัมพันธ์ระหว่างค่าการไฟ咯กับเบอร์เซ็นต์ถ้าโลยลิกไนต์ .....	63
4.27 ความสัมพันธ์ระหว่างค่าเบอร์เซ็นต์ช่องว่างอากาศส่วนที่ถูกแทนที่ด้วยแอสฟัลต์กับเบอร์เซ็นต์ถ้าโลยลิกไนต์ .....	64
4.28 ความสัมพันธ์ระหว่างค่าเบอร์เซ็นต์ช่องว่างระหว่างวัสดุมวลรวมกับเบอร์เซ็นต์ถ้าโลยลิกไนต์ .....	64
4.29 ผลทดสอบโมดูลัสต้านทานโดยวิธีแรงดึงทางอ้อมที่อุณหภูมิ 40 องศาเซลเซียส .....	66

## คำอธิบายสัญลักษณ์และคำย่อ

$a$	ปริมาณแอลฟ์ลต์ที่ใช้ผสม (เปอร์เซ็นต์โดยมวลของวัสดุมวลรวม)
$b$	ปริมาณแอลฟ์ลต์ (เปอร์เซ็นต์แอลฟ์ลต์โดยมวลของวัสดุมวลรวม)
$c$	ปริมาณแอลฟ์ลต์ประสิทธิผล (คิดเป็นเปอร์เซ็นต์โดยมวลของแอลฟ์ลต์คงกรีต)
$D$	เส้นผ่านศูนย์กลางก้อนตัวอย่างแอลฟ์ลต์คงกรีต (มม.)
$G_{ac}$	ค่าความถ่วงจำเพาะแอลฟ์ลต์ซีเมนต์
$G_{ag}$	ค่าเฉลี่ยความถ่วงจำเพาะมวลรวม
$G_F$	ความถ่วงจำเพาะวัสดุผสมแทรก
$G_m$	Theoretical Maximum Specific Gravity
$G_v$	ค่าความถ่วงจำเพาะโดยรวม
$G_1$	ความถ่วงจำเพาะวัสดุมวลรวมหินฝุ่น
$G_2$	ความถ่วงจำเพาะวัสดุมวลรวม 3/8 นิ้ว
$G_3$	ความถ่วงจำเพาะวัสดุมวลรวม 1/2 นิ้ว
$G_4$	ความถ่วงจำเพาะวัสดุมวลรวม 3/4 นิ้ว
$i$	ความหนาแน่นของแอลฟ์ลต์คงกรีต ( grammes/millilitre)
$j$	ปริมาณแอลฟ์ลต์ประสิทธิผล (คิดเป็นเปอร์เซ็นต์โดยปริมาตรของแอลฟ์ลต์คงกรีต)
$k$	ปริมาตรของวัสดุมวลรวม (คิดเป็นเปอร์เซ็นต์โดยปริมาตรของแอลฟ์ลต์คงกรีต)
$l$	ปริมาตรช่องว่างระหว่างวัสดุมวลรวม (คิดเป็นเปอร์เซ็นต์โดยปริมาตรของแอลฟ์ลต์คงกรีต)
$L$	แรงกระทำในแนวตั้ง (นิวตัน)
$m$	ปริมาตรช่องว่างอากาศ (คิดเป็นเปอร์เซ็นต์โดยปริมาตรของแอลฟ์ลต์คงกรีต)
$P_F$	ปริมาณวัสดุผสมแทรก (เปอร์เซ็นต์โดยมวลวัสดุมวลรวม)
$P_1$	ปริมาณวัสดุมวลรวมหินฝุ่น (เปอร์เซ็นต์โดยมวลวัสดุมวลรวม)
$P_2$	ปริมาณวัสดุมวลรวม 3/8 นิ้ว (เปอร์เซ็นต์โดยมวลวัสดุมวลรวม)
$P_3$	ปริมาณวัสดุมวลรวม 1/2 นิ้ว (เปอร์เซ็นต์โดยมวลวัสดุมวลรวม)
$P_4$	ปริมาณวัสดุมวลรวม 3/4 นิ้ว (เปอร์เซ็นต์โดยมวลวัสดุมวลรวม)
$R^2$	สัมประสิทธิ์การตัดสินใจการปรับแก้

## คำอธิบายสัญลักษณ์และคำย่อ (ต่อ)

$T$	ค่าเฉลี่ยความหนา ก้อนตัวอย่างแอสฟัลต์คอนกรีต (มม.)
$V$	ค่าอัตราส่วน (Poisson's ratio) ของอุณหภูมิ
$x$	ปริมาณแอสฟัลต์ที่ถูกดูดซึม โดยมวลรวม (เปอร์เซ็นต์โดยมวลของวัสดุมวลรวม)
$y$	ร้อยละของปริมาณแอสฟัลต์ที่ถูกดูดซึม โดยมวลรวม

## บทที่ 1

### บทนำ

#### 1.1 ปัญหาที่ทำวิจัยและความสำคัญของปัญหา

ในปัจจุบันประเทศไทยนิยมใช้ผู้จราจรแบบยึดหยุ่นบนเส้นทางสายหลักเพื่อระดับความรำเริงและต่อเนื่อง ทำให้กรมทางหลวงได้กำหนดมาตรฐานการก่อสร้างโดยคำนึงถึงปริมาณจราจรเฉลี่ยต่อวันตลอดปี (Average Annual Daily Traffic) เป็นข้อกำหนดการออกแบบ โดยส่วนผสมแอสฟัลต์คอนกรีตกรรมทางหลวงได้ใช้การออกแบบโดยวิธีมาร์แซลล์ (มาตรฐานกรมทางหลวงที่ ทล.-ท.604/2517) ซึ่งวัสดุสำคัญที่ใช้ในการก่อสร้างถนนแอสฟัลต์คอนกรีตนั้นจะมีอยู่ 2 ชนิดคือ ยางแอสฟัลต์ซีเมนต์ (ในประเทศไทยนิยมใช้ยางเกรด AC 60/70) และวัสดุมวลรวมตามขนาดที่กำหนด จากการออกแบบบางครั้งอาจต้องใช้วัสดุผสมเพิ่มมาเป็นส่วนผสมเพื่อปรับปรุงขนาดคละที่มีความหมายให้มีความหนาแน่นมากขึ้นและยังช่วยให้แอสฟัลต์คอนกรีตมีความแข็งแรงและทนทานมากขึ้นด้วย โดยปัจจุบันได้มีการศึกษาการนำวัสดุเหลือทิ้งต่าง ๆ มาใช้เป็นวัสดุผสมเพิ่มอย่างกว้างขวางเพื่อเป็นการลดจำนวนและนำมาใช้ได้อย่างเหมาะสม ดังนั้นจึงกำหนดมาตรฐานให้อยู่ในจำพวกวัสดุปูชูโคลาน (ASTM C618) จากวัสดุเหล่านี้ส่วนใหญ่จะเป็นวัสดุเหลือทิ้งที่ได้จากการกระบวนการเผาไหม้ที่มีความร้อนสูง ทำให้มีขนาดเล็ก จึงเหมาะสม ดังนั้นการนำวัสดุเหล่านี้มาใช้จะต้องคำนึงถึงความคุณค่าของการก่อสร้างด้วย ซึ่งการวิจัยครั้งนี้ได้เลือกใช้ (1) ฝุ่นหิน (มีอยู่ในโรงผสมสามารถนำกลับมาใช้ได้สะดวก) และ (2) เถ้าโลยกิโนต์ (ปัจจุบันมีการนำมาใช้ในงานคอนกรีตอย่างแพร่หลายทำให้สามารถหาซื้อได้ง่าย) มาเป็นวัสดุผสมเพิ่มโดยสามารถทราบถึงปัญหาและสาเหตุ ได้ดังต่อไปนี้

1) ฝุ่นหิน (Rock Dust) เป็นวัสดุที่ได้จากการเหลือทิ้งจากการกระบวนการผลิตแอสฟัลต์คอนกรีต (Asphalt Concrete) แบบร้อน (Hot Mix) โดยการผลิตนั้นจะมีวัสดุมวลรวมในขนาดคละต่าง ๆ ได้แก่ หิน 3/4" หิน 1/2" หิน 3/8" และหินฝุ่น ซึ่งหินในขนาดต่าง ๆ เหล่านี้จะได้จากการระเบิด และกัดหินให้มีขนาดตามต้องการ จากนั้นจะทำการขันเข้าหินมาตามสถานที่ผลิตต่าง ๆ ทำให้เกิดการขัดสีกันระหว่างหินส่างกันจึงเกิดหินฝุ่นเป็นจำนวนมาก ดังนั้นเมื่อนำหินขนาดต่าง ๆ มาเผาและนำไปอยู่ในถังหินร้อนโดยผ่านตะแกรงตามการออกแบบเพื่อรอผสม จะต้องทำการเป่าฝุ่นหินที่มีจำนวนมากออกทิ้งไป ดังรูปที่ 1.1 ทำให้มีปริมาณฝุ่นหินจำนวนมากและเป็นอันตรายต่อผู้อยู่บริเวณนั้น ดังนั้นจึงได้มีการนำฝุ่นหินที่เหลือทิ้งมาผสมในดินเพื่อปรับปรุงคุณภาพให้ดีขึ้น และยัง

นำมาเป็นส่วนผสมในหินคลุกของชั้นรองพิภพทางด้วย ถึงแม้ว่าได้มีการนำมาเป็นวัสดุผสมต่างๆแล้ว ก็ยังเหลือฝุ่นหินอีกจำนวนมากอยู่ จึงมีแนวคิดที่จะนำฝุ่นหินเหล่านี้มาใช้ในการผสมเพิ่มกับ แอสฟัลต์คอนกรีต เพราะด้วยปริมาณและสถานที่จะสามารถลดค่าใช้จ่ายในการขนส่งลงไปได้



รูปที่ 1.1 แสดงการเป่าออกของฝุ่นหินจากการผลิต

2) เถ้าโลยลิกไนต์ (Fly Ash) เกิดจากการเผาไหม้ของถ่านหินลิกไนต์ที่โรงไฟฟ้าแม่เมaje จังหวัดลำปาง โดยการผลิตกระแสไฟฟ้านี้จะใช้ถ่านหินลิกไนต์ไม่น้อยกว่าวันละ 40,000 ตัน จาก จำนวนถ่านหินที่ใช้ในปริมาณที่มากทำให้เหลือเถ้าโลยลิกไนต์จากการกระบวนการเผาไหม้ประมาณ วันละ 8,000 ตัน ซึ่งในจำนวนนี้จะต้องกำจัดทิ้ง แต่ด้วยปริมาณที่มากทำให้ การไฟฟ้าฝ่ายผลิตต้อง ศึกษาถึงผลกระทบที่เกิดขึ้น และความเป็นไปได้ที่จะนำเถ้าโลยลิกไนต์กลับมาใช้ให้เกิดประโยชน์ อีกครั้ง ด้วยคุณลักษณะของเถ้าโลยลิกไนต์ที่มีขนาดเล็กกว่าปูนซีเมนต์ มีรูปร่างทรงกลมขนาด ตั้งแต่ 1 ไมโครเมตร (0.001 มิลลิเมตร) จนถึง 150 ไมโครเมตร (0.15 มิลลิเมตร) ค่าความถ่วงจำเพาะอยู่ระหว่าง 2.00 - 2.60 จากคุณสมบัติดังกล่าวแล้ว ยังมีการศึกษาทางด้านเคมีเพื่อเป็น เกณฑ์การจำแนกชนิดของเถ้าโลยลิกไนต์ โดยส่วนประกอบทางเคมีที่สำคัญจะประกอบไปด้วยสาร ซิลิค้า ( $SiO_2$ ) อัลูมินา ( $Al_2O_3$ ) และ เฟอร์ริกออกไซด์ ( $Fe_2O_3$ ) โดยอัตราส่วนของออกไซด์ทั้ง 3 ชนิดนี้จะสามารถเปลี่ยนไปตามอุณหภูมิ ชนิด และสภาพแวดล้อมขณะทำการเผา ซึ่งปัจจุบัน กฟผ. ได้ทำการควบคุมส่วนผสมต่าง ๆ ให้อยู่ในเกณฑ์ที่เหมาะสมให้อยู่ตามมาตรฐาน ASTM C 618 “Specification for Fly ash and Raw or Calcined natural pozzolan for use as a mineral admixture in Portland cement concrete” ดังนั้นตั้งแต่ปี พ.ศ. 2531 เป็นต้นมา กฟผ. ได้นำเถ้าโลย

ลิกไนต์โรงไฟฟ้าน้ำมันไปใช้ในงานก่อสร้างต่าง ๆ ไม่ว่าจะเป็นวัสดุตามสำหรับงานก่อสร้าง การใช้ปรับปรุงแทนดินหรือแม้แต่งานซ่อมแซมต่าง ๆ ซึ่งในการศึกษาการพัฒนาเพิ่มด้วยถ้าโดยลิกไนต์ มีการศึกษาอย่างกว้างขวางและต่อเนื่องจากไฟฟ้าฝ่ายผลิต ด้วยคุณสมบัติที่ดีบางประการทำให้ถ้า ลิกไนต์มีการนำมาใช้ในกระบวนการก่อสร้างต่าง ๆ มากมายไม่ว่าจะเป็นในการพัฒนาคอนกรีต เพื่อลดปริมาณซีเมนต์ลงให้มีราคาที่ประหยัดและมีคุณสมบัติเหมือนเดิมหรือดีขึ้น หรือแม้แต่ใช้กับ การก่อสร้างถนนไม่ว่าจะเป็นการปรับปรุงคุณภาพของดินรวมไปถึงการพัฒนาในแอสฟัลต์ คอนกรีตด้วย

เพื่อลดปัญหาของผู้คนและถ้าโดยลิกไนต์ที่เป็นอันตรายต่อร่างกายมนุษย์โดยการศึกษา ของกระทรวงสาธารณสุขพบว่า เมื่อหายใจเอาผู้คนหรือถ้าโดยลิกไนต์ที่มีขนาดเล็กกว่า 1 ไมครอนเป็นระยะเวลานาน และมีการสะสมของผู้ในปอด จะเกิดโรคต่าง ๆ ได้แก่ (1) โรคปอด หิน (Silicosis) ถือเป็นโรคที่เกิดขึ้นนานาและมีอันตรายอย่างมากโดยโรคนี้ไม่สามารถรักษาได้ นอกจากการป้องกันโรคอื่นเข้ามาแทรกซ้อน เมื่อหายใจเข้าสู่ร่างกายจะมีอันตราย เพราะร่างกายไม่ สามารถกรองหรือขับออกจากร่างกายได้ โดยเฉพาะผู้ที่มีส่วนผสมของสารซิลิก้า เมื่อสูดเข้าไป เป็นระยะเวลานาน ผู้เหล่านี้จะเข้าไปจับที่บริเวณปอด จนทำให้ปอดแข็ง ไม่สามารถขยายตัวรับ ออกซิเจน ได้ ซึ่งระยะแรกจะไม่แสดงอาการ เมื่อสะสมมาก ๆ จึงจะแสดงอาการ และเมื่อโรคแสดง อาการแล้ว ส่วนใหญ่จะรักษาไม่ได้ โดยผู้ป่วยจะเหนื่อย หอบง่าย ผ่อน การแลกเปลี่ยนออกซิเจน ของปอดทำได้ไม่ดี ทำให้ร่างกายชีด จนถึงขั้นทำงานไม่ได้ และจะทำให้ภาวะหายใจลำบาก และ เป็นอันตรายถึงชีวิต สำหรับประเทศไทยพบว่ามีผู้ป่วยโรคปอดหินครึ่งแรกที่จังหวัดกาญจนบุรี เมื่อ พ.ศ. 2497 และพบว่ามีปริมาณเพิ่มสูงขึ้นเรื่อย ๆ โดยในปีพ.ศ. 2541 พบว่ามีผู้เสียชีวิตจากการเกิดโรค ประมาณ 221,796 คน และได้ทำการตรวจสอบสุขภาพผู้มีอาการ ใกล้เคียงโรคปอดหินจำนวน 169 คน จากผู้เข้าตรวจ 8,146 คน สำหรับจังหวัดนครราชสีมา ในปีพ.ศ. 2548 พบรู้ป่วยจำนวน 11 ราย ปีพ.ศ. 2549 พบรู้ป่วย 3 ราย และปีพ.ศ. 2550 พบรู้ป่วย 8 ราย คิดเป็นอัตรา 0.43 0.10 และ 0.30 ต่อประชากรแสนคนตามลำดับ และพบผู้เสียชีวิตแล้ว 1 รายซึ่งประกอบอาชีพทำหินรายขั้ด ในอำเภอสีคิว จังหวัดนครราชสีมา (2) โรคปอดจากผู้คนแบบอื่น ๆ (Pneumoconiosis, other) เป็น โรคปอดอักเสบที่เกิดจากการหายใจเอาผู้คนเล็ก ๆ โดยเฉพาะในบริเวณทำงานเข้าไปสะสมในส่วน ถุงลมปอด พังผืดหุ้มล้อมผู้คน มีผลให้เนื้อปอดถูกทำลายและสมรรถภาพการทำงานของปอดเสื่อมลง เรื่อย ๆ จนเกิดอาการต่าง ๆ ของระบบทางเดินหายใจขึ้น สำหรับประเทศไทยในปี พ.ศ. 2546 ได้พบ ผู้ป่วยจำนวน 130 ราย คิดเป็นอัตรา 0.22 ต่อประชากรแสนคน แต่ไม่พบผู้เสียชีวิต ซึ่งอัตราผู้ป่วยสูง ที่สุด ได้แก่ ภาคกลาง เท่ากับ 0.30 ต่อประชากรแสนคน รองลงมาได้แก่ ภาคตะวันออกเฉียงเหนือ ภาคเหนือ และภาคใต้ เท่ากับ 0.24 0.08 และ 0.06 ต่อประชากรแสนคน ตามลำดับ ซึ่งจังหวัดที่มีอัตรา ผู้ป่วยมากที่สุด ได้แก่ สมุทรสาคร อัตราป่วย 11.00 ต่อประชากรแสนคน รองลงมาได้แก่ ศรีสะเกษ

ระยะ อำนาจเจริญ และอุบัติราษฎรานี้ อัตราผู้ป่วยเท่ากับ 1.09 1.08 1.08 และ 0.78 ต่อประชากร แสนคน (3) โรคหลอดลมอุดตันแบบเรื้อรัง (Pulmonary disease, chronic obstructive) เป็นโรคที่มี การอุดกั้นของหลอดลมเกิดขึ้นอย่างถาวรเนื่องจากการอักเสบเรื้อรัง โรคนี้เมื่อเป็นแล้วสภาพที่เปลี่ยนแปลงในปอดมักจะไม่ดีขึ้นหรือดีขึ้นเล็กน้อยแต่ก็เพียงชั่วคราวต่อไปจะมีแต่แย่ลงทำให้ผู้ป่วยหายใจลำบากมากขึ้น จนถึงภาวะการหายใจลำบากและถึงตายได้เป็นต้น ดังนั้นการใช้สัดส่วนที่ถูกต้องเป็นการช่วยลดจำนวนลงและยังเป็นผลดีต่อสุขภาพ

แต่ด้วยคุณสมบัติของผู้นับนินและถ้าลองลิกไนต์ที่สามารถนำไปผสมในดินจะช่วยปรับปรุงดินที่มีส่วนผสมไม่ดีเท่าที่ควรให้กลับมาดีขึ้น ได้ทำให้ผู้วิจัยได้เลือกที่จะนำมาผสมเพิ่มในแอสฟัลต์คอนกรีต เพื่อเพิ่มคุณสมบัติให้ดี เช่น กัน ถึงแม้ว่าจะมีการนำผู้นับนินมาผสมแอสฟัลต์คอนกรีตอย่างแพร่หลาย แต่ยังไม่มีการทดลองวิจัยอย่างจริงจังว่าผู้นับนินจะช่วยปรับปรุงคุณภาพหรือไม่ และจะใช้ผสมในอัตราส่วนเท่าใดที่จะเหมาะสม ส่วนการก่อสร้างถนนแอสฟัลต์คอนกรีตนั้นจะมีราคาที่สูงเป็นพิเศษ เพราะด้วยอุปกรณ์เครื่องจักรและวิธีการก่อสร้างทำให้ต้นทุนมีราคาสูง รวมไปถึงการขนส่งมวลรวมต่าง ๆ ที่ใช้ในกระบวนการผลิต ทำให้ผู้วิจัยเลือกใช้ผู้นับนิน เพราะได้มาจากโรงผสมแอสฟัลต์คอนกรีต ส่วนถ้าลองลิกไนต์สามารถหาซื้อได้ง่ายและมีราคาที่ถูก เพราะมีการนำมาใช้เป็นส่วนผสมเพิ่มในคอนกรีตอย่างแพร่หลาย กระทั้งในอดีตจนถึงปัจจุบันกรรมทางหลวงได้นำปูนซีเมนต์ปอร์ตแลนด์ประเภทที่หนึ่งมาผสมเพิ่มในแอสฟัลต์คอนกรีตเพื่อเพิ่มความสามารถต้านทานให้ดีขึ้นเหมาะสมกับชั้นทาง ที่กำหนด ดังนั้นการวิจัยครั้งนี้จึงได้นำแอสฟัลต์คอนกรีตที่ผสมเพิ่มด้วยปูนซีเมนต์ปอร์ตแลนด์ประเภทที่หนึ่งเป็นตัวเปรียบเทียบกับการผสมเพิ่มด้วยผู้นับนินและถ้าลองลิกไนต์

## 1.2 วัตถุประสงค์การวิจัย

- 1) เพื่อศึกษาแอสฟัลต์คอนกรีตที่ผสมเพิ่มด้วยผู้นับนินและถ้าลองลิกไนต์ว่าจะสามารถปรับปรุงคุณภาพของแอสฟัลต์คอนกรีตธรรมชาติให้ดีขึ้น ได้หรือไม่
- 2) เพื่อศึกษาเปรียบเทียบแอสฟัลต์คอนกรีตที่ผสมเพิ่มด้วยผู้นับนินและถ้าลองลิกไนต์กับแอสฟัลต์คอนกรีตผสมปูนซีเมนต์ปอร์ตแลนด์ประเภทที่หนึ่ง
- 3) เพื่อศึกษาแนวทางในการออกแบบพิวทาง สำหรับงานผิวนันแอสฟัลต์คอนกรีตโดยใช้ส่วนผสมของผู้นับนินและถ้าลองลิกไนต์ ในปริมาณที่พอเหมาะสมเพื่อขอจัดปัญหานลพิมและทรัพยากรทางธรรมชาติที่นำมาใช้อย่างเหมาะสม

### 1.3 ขอบเขตของงานวิจัย

เป็นการนำถ้าโลยลิกไนต์ และฟุ่นหินมาทำการออกแบบเพื่อคุณภาพร้าส่วนผสมที่เหมาะสม สำหรับใช้ในการผสมและฟลัตคอนกรีต โดยจะแบ่งหัวข้อการวิจัยได้ดังต่อไปนี้

- 1) ใช้หินและฟุ่นหินที่เหลือจากการกระบวนการผลิตและฟลัตคอนกรีตที่นำหินมาจากโรงโม่หิน ตำบลหนองน้ำแดง อำเภอปากช่อง จังหวัดนครราชสีมา
- 2) ใช้ถ้าโลยลิกไนต์ที่นำมาจาก โรงไฟฟ้าแม่เม้า จังหวัดลำปาง
- 3) ปริมาณยางและฟลัต์ AC 60 - 70 ที่ใช้ในการทดลองนี้เท่ากับ 4.0 4.5 5.0 5.5 และ 6.0 เปอร์เซ็นต์โดยน้ำหนักของส่วนผสม โดยเลือกปริมาณและฟลัตซีเมนต์ที่เหมาะสมมาใช้
- 4) ใช้ปริมาณและฟลัตซีเมนต์ที่เหมาะสมจากและฟลัตคอนกรีตจากนี้ใช้วัสดุผสมเพิ่มได้แก่ ปูนซีเมนต์ปอร์ตแลนด์ประเภทที่หนึ่ง ฟุ่นหินและถ้าโลยลิกไนต์ สำหรับการทดลองนี้เท่ากับ 0.5 1.0 1.5 2.0 2.5 3.0 4.0 และ 5.0 เปอร์เซ็นต์โดยน้ำหนักของส่วนผสม
- 5) ทำการทดสอบโดยวิธีมาร์แซลล์ โดยเลือกใช้ปริมาณการบรรจุนิดหนาแน่นและชั้นทาง Wearing Course
- 6) เมื่อได้ปริมาณการผสมเพิ่มด้วยปูนซีเมนต์ปอร์ตแลนด์ประเภทที่หนึ่ง ฟุ่นหิน และถ้าโลยลิกไนต์ที่เหมาะสมแล้ว ทำการทดสอบเพิ่มด้วยค่าโนดูลัสต้านทานโดยวิธีแรงดึงทางอ้อม (Dynamic Indirect Tensile Stiffness Modulus)

### 1.4 ประโยชน์ที่คาดว่าจะได้รับ

ผลที่ได้จากการวิจัยครั้งนี้จะมีประโยชน์ต่อหน่วยงานของกรมทางหลวงรวมทั้งหน่วยงานของเอกชน ที่จะสามารถนำผลวิจัยที่ได้ไปออกแบบส่วนผสมและฟลัตคอนกรีตที่เหมาะสม ต่อสถานที่และสภาพของการปฏิบัติงาน ช่วยประหยัดค่าใช้จ่าย โดยยังคงความแข็งแรงทนทานตามมาตรฐานกรมทางหลวง ขณะเดียวกันสามารถช่วยลดปัญหาทางด้านผลกระทบพิษต่อสิ่งแวดล้อมลงได้โดยมีรายละเอียดดังนี้

- 1) สามารถช่วยประหยัดค่าใช้จ่ายลงเมื่อนำมาเป็นวัสดุผสมเพิ่มในและฟลัตคอนกรีต เพราะสามารถลดต้นทุนในการขนส่งและกำจัดทิ้งลงได้
- 2) เพื่อเป็นการช่วยยืดอายุการใช้งานของถนนให้มีความแข็งแรงมากขึ้น เพราะเป็นวัสดุช่วยอุดประสานซึ่งกันว่างที่เกิดขึ้นในและฟลัตคอนกรีต
- 3) สามารถช่วยลดผลกระทบทางอากาศที่เกิดจากฟุ่นหินและถ้าโลยลิกไนต์ได้อย่างมีประโยชน์และเหมาะสม

## บทที่ 2

### ปริทัศน์วรรณกรรมและงานวิจัยที่เกี่ยวข้อง

ในบทนี้จะกล่าวถึงขั้นตอนและลักษณะการผลิตแอสฟลต์คอนกรีตร่วมทั้งการนำผู้คน hin และถ้าอย่างใดในตัวมาเป็นส่วนผสมเพิ่ม พร้อมกับทบทวนการศึกษาที่เกี่ยวข้องในอดีต

#### 2.1 คุณลักษณะแอสฟลต์คอนกรีต

แอสฟลต์คอนกรีต เป็นวัสดุที่ใช้ทำพิภาระที่มีความยืดหยุ่นหรือพื้นทางที่บดอัดแน่น ที่ได้จากการผสมกันระหว่างวัสดุมวลรวม (Aggregate) กับ แอสฟลต์ซีเมนต์ (Asphalt Cement) ตามอัตราตราส่วนที่ออกแบบ ซึ่งจะต้องได้คุณภาพตรงตามข้อกำหนดของการผสมและการปูบดทับ



รูปที่ 2.1 ลักษณะก้อนแอสฟลต์คอนกรีตที่ออกแบบด้วยวิธีมาร์แซลล์

#### คุณสมบัติที่สำคัญของแอสฟลต์คอนกรีต

- 1) ความหนาแน่น (Density) เป็นปริมาณมวลของแอสฟลต์คอนกรีตต่อหนึ่งหน่วยปริมาตร เป็นค่าที่สำคัญสำหรับแอสฟลต์คอนกรีต เพราะเมื่อแอสฟลต์คอนกรีตมีความหนาแน่น

มากพอ จะทำให้แอสฟัลต์คอนกรีตมีความแข็งแรง คงทนและมีอายุการใช้งานที่นานขึ้นด้วย แต่อย่างไรก็ตามการบดอัดนั้นต้องเป็นไปตามมาตรฐานของกรมทางหลวงที่กำหนด ซึ่งการบดอัดในสถานะจะมีความหนาแน่นน้อยกว่าในห้องทดลอง ดังนั้นกรมทางหลวงจึงกำหนดให้มีการบดอัดต้องไม่น้อยกว่าร้อยละ 98 ของความหนาแน่นที่ได้จากห้องทดลอง

2) ช่องว่างอากาศ (Air Voids) สำหรับพิวิทยาแห่งฟลัต์คอนกรีตนี้จะต้องมีช่องว่างอากาศที่เพียงพอตามที่กำหนดในการออกแบบ ซึ่งระหว่างเม็ดวัสดุมวลรวมที่ถูกเคลือบด้วยแอสฟัลต์จะมีช่องว่างเล็ก ๆ เรียกว่า ช่องว่างอากาศ และช่องว่างอากาศนี้ต้องไม่คุ้มกันเกินไป เพราะเมื่อเปิดการจราจรแล้ว รถที่แล่นผ่านบนถนนพิวิทยาแห่งฟลัต์คอนกรีตจะมีการอัดแน่นอีกครั้ง จนทำให้อัตราส่วนช่องว่างอากาศลดลง เพราะถ้าปริมาตรช่องว่างอากาศมีน้อยเกินไปหลังการบดอัดเสร็จ จะมีความร้อนของถนน จนทำให้ไม่มีช่องว่างให้แอสฟัลต์ขยายตัวได้เพียงพอจะทำให้พิวิวนนแห่งฟลัต์คอนกรีตเกิดการเย็บ (Bleeding) ดังนั้นจึงมีการกำหนดให้ปริมาตรช่องว่างอากาศอยู่ระหว่าง 3 - 5 เปอร์เซ็นต์ ซึ่งขึ้นอยู่กับปริมาณและน้ำหนักของรถที่แล่นผ่านด้วย การที่แอสฟัลต์คอนกรีตมีความหนาแน่นมากพอจะทำให้พิวิวนน มีความแข็งแรงเพราะจะทำให้อากาศและน้ำไม่สามารถซึมผ่านไปในพิวิวนน จนไปทำลายแห่งฟลัต์และการยึดเกาะระหว่างมวลรวมได้ แต่อย่างไรก็ตาม การที่มีความหนาแน่นมากเกินไปจะต้องคำนึงถึงช่องว่างอากาศด้วยเพราะค่าที่ได้นั้นจะมีค่าที่กลับกัน โดยสิ่นเชิง เพราะถ้ามีความหนาแน่นมากจะทำให้ช่องว่างอากาศลดลงด้วย เช่นเดียวกัน

3) ช่องว่างระหว่างมวลรวม (Voids in Mineral Aggregate, VMA) เป็นค่าปริมาตรช่องว่างทั้งหมดที่มีอยู่ระหว่างเม็ดของวัสดุมวลรวมในแห่งฟลัต์คอนกรีตที่บดทับแล้วซึ่งรวมช่องว่างอากาศที่ถูกแทนที่ด้วยแอสฟัลต์ (Voids Filled with Bitumen, VFB) หรือเรียกว่าปริมาตรช่องว่างสำหรับปริมาตรของแห่งฟลัต์ประสีทิกิพลด (Effective Asphalt) ดังนั้นถ้าหากเปรียบเทียบระหว่างแห่งฟลัต์คอนกรีตที่มีปริมาตรช่องว่างอากาศเท่ากันแล้ว แห่งฟลัต์คอนกรีตที่มี VMA สูงกว่าจะย่อมมีความคงทนมากกว่าแห่งฟลัต์คอนกรีตที่มี VMA น้อยกว่า เพราะด้วยเหตุผลที่ว่า การที่มีช่องว่างระหว่างมวลรวมมากจะทำให้ฟิล์มแห่งฟลัต์สามารถเคลือบพิวิมวลรวมได้หนานากเช่นกัน จึงทำให้แห่งฟลัต์คอนกรีตมีความคงทนต่ออายุการใช้งานมากขึ้น แต่อย่างไรก็ตามการที่มีค่า VMA น้อยก็จะทำให้ประทัยแห่งฟลัต์ซึ่งเเม่นต์มากขึ้นแต่ก็ไม่ควรน้อยกว่าค่าที่กำหนดเพราะจะทำให้ได้แห่งฟลัต์คอนกรีตที่มีความคงทนน้อยลง

4) ปริมาณแห่งฟลัต์ (Asphalt Content) มีความสำคัญอย่างมากต่อคุณสมบัติที่ดีของแห่งฟลัต์คอนกรีต ดังนั้นการที่จะเลือกปริมาณแห่งฟลัต์ที่เหมาะสมจะต้องออกแบบตามเงื่อนไข (Design Criteria) ที่กำหนด รวมไปถึงการออกแบบในห้องทดลองหรือแม่แท่'โรงผสม (Mixing

Plant) การที่จะได้แօสฟล็อกอนกริตที่มีต้นทุนน้อย จะต้องคูณนาดคละ (Gradation) และคุณสมบัติ การคูณซึ่งแօสฟล็อกของมวลรวมด้วย เนื่องจากค่าที่ได้จะมีผลโดยตรงต่อการเลือกปริมาณแօสฟล็อก โดยถ้าหากขนาดคละมีเม็ดวัสดุเล็กและละเอียดมากจะทำให้ใช้แօสฟล็อกมาก เพราะพื้นผิวของเม็ด วัสดุเล็กและละเอียดจะคูณซึ่งแօสฟล็อกมากกว่าเม็ดวัสดุที่มีขนาดใหญ่กว่า (เมื่อปริมาตรเท่ากัน) จึง ต้องใช้แօสฟล็อกมากกว่าในการเคลือบผิววัสดุมวลรวม ส่วนวัสดุมวลรวมที่คูณซึ่งแօสฟล็อกมากก็ จะต้องใช้แօสฟล็อกซึ่งเ่นต์ในส่วนผสมมากขึ้นเช่นกัน

## 2.2 คุณสมบัติสำคัญในการออกแบบแօสฟล็อกค่อนกริต

การออกแบบแօสฟล็อกค่อนกริตนี้ยังจะต้องคำนึงถึงคุณสมบัติอีกหลายประการเพราด้วย ผิวนนแօสฟล็อกค่อนกริตที่จะต้องทนต่อการรับน้ำหนักที่เกิดจากการจราจร การเปลี่ยนแปลง อุณหภูมิรวมไปถึงปริมาณน้ำที่มีตามฤดูกาล เป็นต้น ดังนั้นผู้ออกแบบต้องมีประสบการณ์และ เข้าใจถึงสภาพทั่วไปของพื้นที่ ๆ ต้องออกแบบด้วย คุณสมบัติสำคัญในการออกแบบแօสฟล็อก ค่อนกริต ได้แก่

1) เสถียรภาพ (Stability) เป็นความสามารถในการรับน้ำหนักจากการจราจรโดยไม่เกิด ร่องล้อหรือการเปลี่ยนแปลงรูปร่าง (Deformation) ความต้านทานต่อการเปลี่ยนรูปนั้น เป็นผลมา จากคุณสมบัติของมวลรวม เช่นลักษณะรูปร่างของเม็ดวัสดุ ความเรียบ ความหยาบ หรือความ ขรุขระของผิววัสดุมวลรวม ส่วนแรงยึดเกาะเป็นผลมาจากการแօสฟล็อกที่ต้องมีความสามารถในการยึด ให้มวลรวมติดกัน เพื่อป้องกันการเคลื่อนตัวของวัสดุมวลรวมเมื่อมีน้ำหนักมากระทำ แต่อ่อนไร้ ตามการที่มีแօสฟล็อกมากเกินไปจะทำให้เกิดการเคลื่อนตัวได้ง่ายจึงต้องออกแบบให้เหมาะสมต่อ การใช้งาน ซึ่งการออกแบบส่วนผสมที่ดีนั้น ค่าเสถียรภาพต้องไม่สูงมากเกินไปเพราค่าที่สูงมาก จะทำให้ขาดความยึดหยุ่นจนทำให้ผิวจราจรเสียหายได้ง่าย โดยเฉพาะการปูทับบนถนนที่มีการเอ่น ตัว (Deflection) สูงยังรวมไปถึงการที่มีส่วนผสมแօสฟล็อกมากเกินไปจนทำให้เกิดคลื่นลูกร่องน้ำ เกิดร่องล้อ และการเข้มของผิว การที่วัสดุมวลรวมมีลักษณะกลม ผิวเรียบทำให้ขับตัวได้ง่าย จน เกิดล่องล้อได้เช่นเดียวกัน

2) ความคงทน (Durability) เป็นการต้านทานต่อการเสื่อมสภาพ ซึ่งอาจมีสาเหตุหลัก ๆ อยู่ 2 ประการ คือเกิดจากอากาศและน้ำที่ไปทำลายฟิล์มที่ยึดเกาะระหว่างมวลรวมจนทำให้เกิดการ เสื่อมสภาพและแตกตัว (Disintegration) ซึ่งความคงทนนั้นอาจจะต้องคู่ค่าต่าง ๆ เพิ่มเติมได้แก่ การ ใช้ปริมาณแօสฟล็อกที่มากที่สุดที่จะมากได้ เพราะตัวแօสฟล็อกจะมีฟิล์มเป็นตัวเคลือบวัสดุมวลรวม เมื่อแօสฟล็อกยึงหนาจะทำให้อากาศและน้ำไปทำลายวัสดุมวลรวมได้ยาก การเลือกขนาดคละที่มี ลักษณะแน่น (Dense Gradation) จะช่วยให้อากาศและน้ำซึ่งผ่านได้ยากและยังมีคุณลักษณะการยึด กเกาะที่ดีไม่ทำให้หินหลุด (Raveling) ในสภาวะการใช้งานที่มีความเปียก และการออกแบบ

ส่วนผสมรวมทั้งการบดอัดในสนา� ในลักษณะที่ทำให้แอสฟัลต์คอนกรีตที่กันน้ำและอากาศผ่านได้ยากที่สุด (Maximum Impermeability)

สาเหตุหลัก ๆ ของการขาดความคงทนอาจเกิดจาก การที่มีปริมาณแอสฟัลต์น้อยเกินไป ทำให้หินมีลักษณะแห้งและหลุดได้ง่าย การที่มีช่องว่างอากาศมากเกินไปซึ่งเกิดจากการออกแบบ ส่วนผสมและการบดอัดที่ไม่ดีจนทำให้เกิดรอยแตก และคุณสมบัติการยึดเกาะที่ไม่ดีในสภาพที่เปียกน้ำ จนทำให้พิล์มที่เคลือบวัสดุมวลรวมหลุดออกทำให้หินหลุดหรือเกิดการหินโผล

3) ความต้านทานต่อการซึมผ่านของอากาศและน้ำ (Impermeability) การที่มีค่าปริมาณ ช่องว่างอากาศมากเกินไปจะทำให้อากาศและน้ำสามารถซึมผ่านได้ง่าย แต่ที่มีความสำคัญไม่แพ้กัน ก็คือขนาดช่องว่างของแต่ละช่อง ช่องว่างจะถูกตัดออกหรือไม่ และช่องว่างจะถูกปิดกั้นโดยวัสดุที่ไม่ถูกต้องตามมาตรฐาน ทำให้สามารถซึมผ่านได้ แต่ก็ควรให้อยู่ในเกณฑ์ที่กำหนด

สาเหตุหลัก ๆ ที่ทำให้เกิดการซึมผ่านของอากาศและน้ำ อาจเกิดจากการที่มีแอสฟัลต์น้อยเกินไป รวมไปถึงการออกแบบให้มีช่องว่างอากาศมากเกินไป

4) ความง่ายในการปูและบดอัด (Workability) ความง่ายในการปูและบดอัดนี้สามารถ แก้ไขได้โดยการออกแบบหรือเปลี่ยนวัสดุใหม่ ซึ่งสาเหตุหลัก ๆ อาจเกิดจากการที่มีวัสดุมวลรวม โตและหยาบที่มากเกินไปทำให้บดอัดยาก อุณหภูมิขั้นตอนผสมต่ำทำให้แอสฟัลต์ไม่สามารถเคลือบ ผิววัสดุได้หมด การใช้รายที่มีขนาดกล่างมากเกินไปจะเกิดการอ่อนตัวได้ง่ายขณะบดอัด และการ ที่มีปริมาณวัสดุผสมแทรกมากและน้อยเกินไปจะเกิดการที่มีลักษณะอ่อน แห้ง หรือเหนียวจัน ทำงานได้ยากและไม่คงทน

5) ความสามารถในการแอลื่อนตัว (Flexibility) การที่มีผิวราบรื่นคงทนไม่แตกง่ายถือเป็น สิ่งที่ต้องการในการออกแบบผิวจราจรแอสฟัลต์คอนกรีต โดยการแอลื่อนตัวสามารถเกิดได้จากการรับ น้ำหนักของถนนและการขยายตัวตลอดเวลาของชั้นดินค้านล่าง ในกรณีที่จะได้แอสฟัลต์คอนกรีตที่ แอลื่อนตัวได้ดีขึ้นอยู่กับชนิดที่เรียงขนาดโปรดังมากกว่าขนาดแน่น แต่ต้องระวังให้มากเพราะการที่มี ขนาดโปรดังมากจะทำให้มีค่าเสถียรภาพต่ำ

6) ความต้านทานต่อการล้า (Fatigue Resistance) เป็นความสามารถของแอสฟัลต์ คอนกรีตที่มีความสามารถต้านทานต่อการดัดโค้งแบบซ้ำซาก (Repeated Bending) ซึ่งเกิดจากการกระทำ ของน้ำหนักล้อ ในปริมาตรซึ่งว่างอากาศจะมีผลต่อปริมาณแอสฟัลต์และความหนืดของแอสฟัลต์ มีผลต่อการต้านทานการล้าด้วย เนื่องมาจากการที่มีช่องว่างอากาศมากหรือบดอัดไม่เพียงพอจะทำ ให้มีผลต่อการต้านทานการล้าลดลง ในทำนองเดียวกันหากแอสฟัลต์มีการเสื่อมสภาพจะมีผลต่อ การต้านทานการล้า เช่นเดียวกัน นอกจากนั้นความหนาและความแข็งแรงของชั้นผิวทางตลอดจน

ความแข็งแรงของชั้นโครงสร้างที่รองรับผิวทางก็มีผลต่ออายุและการป้องกันการเกิดรอยแตก เพราะจะเป็นตัวช่วยในการรับน้ำหนักของล้อที่กระทำข้าม กันได้นานขึ้น

สาเหตุหลัก ๆ อาจเกิดจากการที่ส่วนผสมมีปริมาณแอลฟ์ลต์น้อยเกินไป ทำให้เกิดรอยแตกได้ง่าย การที่ออกแบบให้มีช่องว่างอากาศมากเกินไปและการบดอัดที่ไม่เพียงพอจะทำให้เสื่อมสภาพ และเกิดรอยแตก รวมไปถึงการที่ผิวทางหนาไม่เพียงพอก่อนทำให้เกิดการแอ่นตัว และมีรอยแตกได้ง่ายเช่นกัน

7) ความต้านทานต่อการลื่นไถล (Skid Resistance) การที่ผิวจราจรมีการลื่นไถลจะทำให้มีอันตรายอย่างมากต่อการใช้ถนน เพราะจะทำให้ล้อรถไม่สามารถยึดเกาะได้ดี ซึ่งสาเหตุสำคัญอาจเกิดมาจากการที่มีแอลฟ์ลต์มากเกินไปจนเกิดการเย็น หรือแม้แต่ขนาดคละและลักษณะผิวของวัสดุมวลรวมไม่เหมาะสม จนทำให้ผิวมีลักษณะเรียบจึงเกิดการลื่นไถลได้ง่ายเมื่อมีน้ำท่วมผิวจราจร

วัสดุที่ใช้ผลิตแอลฟ์ลต์คอนกรีตมีอยู่ด้วยกันหลัก ๆ คือ แอลฟ์ลต์ซีเมนต์ (Asphalt Cement) และมวลรวม (Aggregate) ซึ่งวัสดุที่ใช้ผลิตแอลฟ์ลต์คอนกรีตต้องทดสอบให้อุ่นในเกณฑ์ที่กำหนดดังนี้ จึงสามารถแยกเป็นหัวข้อได้ดังนี้

1) แอลฟ์ลต์ซีเมนต์ (Asphalt Cement) ปัจจุบันกรรมทางหลวงได้กำหนดให้ใช้ แอลฟ์ลต์ซีเมนต์เกรด 60 - 70 ซึ่งจะเหมาะสมมากที่สุดสำหรับอุณหภูมิของประเทศไทย โดยมีการทดสอบดังต่อไปนี้

- การทดสอบหาค่าการทะลวง (Penetration)
- การทดสอบหาจุดวางไฟ (Flash Point)
- การทดสอบหาค่าการยืดตัว (Ductility)
- การทดสอบหาการละลาย (Solubility in Trichloroethylene)
- การทดสอบหาค่าการสูญเสียเมื่อเกิดความร้อน (Loss on heating)
- การทดสอบหาผลความร้อนและการที่มีผลต่อแอลฟ์ลต์ (Thin-Film Oven)

2) มวลรวม (Aggregate) วัสดุหลัก ๆ ที่ใช้ทำมวลรวมได้แก่หินยื่นขนาดต่าง ๆ ได้แก่ หิน 3/4 นิ้ว 1/2 นิ้ว 3/8 นิ้ว และหินฝุ่น แต่บางครั้งการเลือกขนาดอาจใช้วัสดุอื่นเพิ่มเพื่อให้อุ่นในเกณฑ์ที่กำหนดได้แก่ ราย วัสดุผสมแทรก เป็นต้น ในการเลือกวัสดุมวลรวมนั้นต้องมีการทดสอบและประเมินให้อุ่นในเกณฑ์ที่กำหนดโดยแบ่งเป็น มวลรวมหยาบ (Coarse Aggregate) และ มวลรวมละเอียด (Fine Aggregate) ซึ่งก็ขึ้นอยู่กับแหล่งและชนิดของหินด้วยถ้าหินปูนมาเป็นวัสดุมวลรวมจะช่วยลดการหลุดลอกของแอลฟ์ลต์คอนกรีต ได้ดีกว่าหิน bazalt (Saad and Haider, 2004) มีหัวข้อการทดสอบดังต่อไปนี้

### **มวลรวมหยาบ (Coarse Aggregate)**

กรมทางหลวง ได้ให้คำนิยามของมวลรวมหยาบว่า เป็นมวลรวมที่มีขนาดค้างตะแกรง เบอร์ 4 (ขนาดโต๊กกว่า 4.75 มิลลิเมตร) โดยปกติมวลรวมหยาบจะใช้หินตั้งแต่ 2 ขนาดขึ้นไปในการ ผสมกัน เช่น ใช้หินขนาดโต๊กสุด 19.0 มิลลิเมตร ผสมกับหินขนาดโต๊กสุด 9.5 มิลลิเมตร เป็นต้น ใน การเลือกใช้หินแต่ละขนาดต้องมีลักษณะค่อนข้างเป็นขนาดเดียว (Single Size) เพื่อลดการแยกตัว (Segregation) ทางกรมทางหลวงจึงได้กำหนดให้ทดสอบดังนี้

- 1) วัสดุต้องมีความสะอาดปราศจากสิ่งสกปรก ดินเหนียว ตะกอนหรืออินทรีย์วัตถุที่จะ สามารถทำลายให้แอลฟ์ล็อกต์เสื่อมคุณภาพ
- 2) เมื่อทำการทดสอบหาค่าความสึกหรอ (Los Angeles Abrasion) ตามวิธี AASHTO T 96 จะต้องไม่เกินร้อยละ 40
- 3) เมื่อทำการทดสอบค่าความทนทาน (Soundness Test) ตามวิธี AASHTO T 104 ต้อง ไม่เกินร้อยละ 9
- 4) เมื่อทำการทดสอบ Coating and Stripping of Bitumen-Aggregate Mixtures ตามวิธี AASHTO T 182 ต้องมีแอลฟ์ล็อกต์เคลือบไม่น้อยกว่าร้อยละ 95
- 5) ทำการทดสอบค่าดัชนีความแนบและดัชนีความขยาย ตามวิธี BS 812 ไม่เกินร้อยละ 30
- 6) ผิมวลรวมต้องถูกโม่แตกอย่างน้อยหนึ่งหน้า ไม่น้อยกว่าร้อยละ 50

### **มวลรวมละเอียด (Fine Aggregate)**

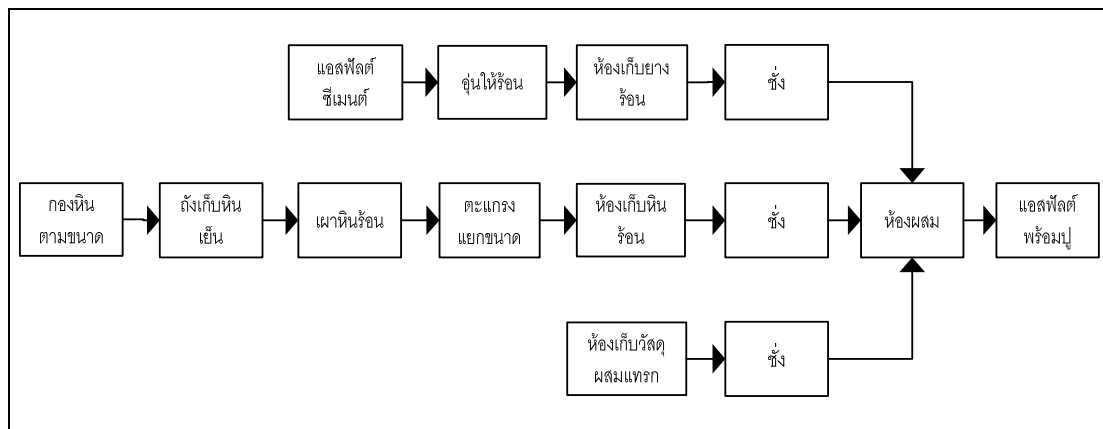
กรมทางหลวง ได้ให้คำนิยามของมวลรวมละเอียดว่า เป็นมวลรวมที่มีขนาดผ่านตะแกรง เบอร์ 4 (ขนาดเล็กกว่า 4.75 มิลลิเมตร) โดยปกติมวลรวมละเอียดจะใช้หินฝุ่นเป็นหลักในการเป็น ส่วนผสม แต่ในบางครั้งขนาดคละอาจจะต้องปรับปรุงคุณสมบัติบางอย่างให้ดีขึ้นทางกรมทาง หลวงจึงกำหนดให้สามารถใช้ ทรายแทนได้แล้วแต่กรณี โดยมีการทดสอบคุณสมบัติดังต่อไปนี้

- 1) วัสดุต้องมีความสะอาดปราศจากสิ่งสกปรก ดินเหนียว ตะกอนหรืออินทรีย์วัตถุที่จะ สามารถทำลายให้แอลฟ์ล็อกต์เสื่อมคุณภาพ
- 2) เมื่อทำการทดสอบค่าทรายสมมูลย์ (Sand Equivalent) ตามวิธี AASHTO T 176 ต้องมี ค่าไม่น้อยกว่าร้อยละ 30

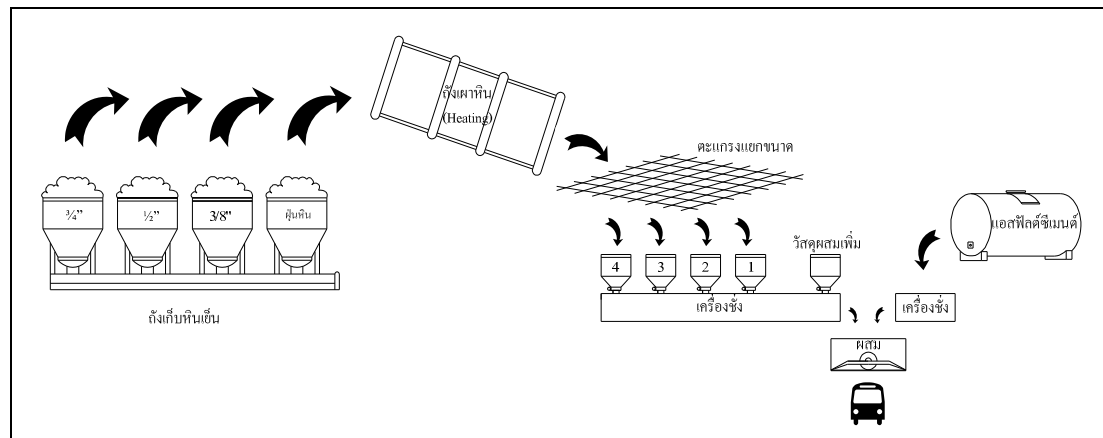
### 2.3 การผลิตแօสฟ์ล็อกต์คอนกรีต

ในการผลิตแօสฟ์ล็อกต์คอนกรีตนี้จะต้องทำการทดสอบหาค่าต่าง ๆ เพื่อกำหนดการใช้ปริมาณของแօสฟ์ล็อกต์ซีเมนต์และมวลรวมให้ถูกต้องและเหมาะสมก่อนจากห้องทดสอบ โดยกรรมทางหลวงได้เลือกใช้วิธีทดสอบและวิเคราะห์หาค่าเสถียรภาพแบบมาร์แซล์ และการเคลื่อนตัวโดยบ่อมตัวอย่างที่อุณหภูมิปกติ และอุณหภูมิทดสอบ 60 องศาเซลเซียส ตามมาตรฐานการทดสอบกรมทางหลวงที่ ทล.-ท.604/2517 จากนั้นจะนำค่าที่ได้มามาเป็นตัวกำหนดในโรงผสม (Mixing Plant) โดยมีวิธีการผลิตโดยสังเขปได้ดังนี้

- 1) แօสฟ์ล็อกต์ซีเมนต์ ต้องให้ความร้อนแօสฟ์ล็อกต์ให้อยู่ในอุณหภูมิที่กำหนดเพื่อพร้อมใช้งาน(อุณหภูมิผสม 150 องศาเซลเซียส)
- 2) วัสดุมวลรวม หินไม่น้ำดัดต่างๆหรือทราย (แล้วแต่กรณี) ทำการบรรทุกมากองเก็บที่โรงผสม จากนั้นทำการแบ่งตามขนาดของหินเป็นกอง ๆ เช่นหิน  $\frac{3}{4}$  นิ้ว กองเฉลพะหิน  $\frac{3}{4}$  นิ้ว เป็นต้น จากนั้นทำการตักมวลลงใส่ยุงหินเย็นของแท้ขนาด แล้วทำการปิดยุงหินเย็นให้ออกตามที่กำหนดทั้งปริมาตรและเวลา
- 3) หลังจากนั้นดำเนินการแล้งวัสดุมวลรวมmanyang ห้องเผา (Dryer) ทำการเผาให้แห้งและร้อนตามอุณหภูมิที่กำหนด
- 4) เมื่อวัสดุมวลรวมถูกเผาได้อุณหภูมิที่กำหนดแล้วจะถูกดำเนินการโดยผ่านตะแกรงทั้ง 4 ขนาด และส่งไปยังยุงหินร้อนเพื่อรอใช้งานต่อไป ถ้าหากมีวัสดุผสมแทรกจะถูกเก็บแยกให้อยู่เฉพาะวัสดุผสมแทรกเพื่อเตรียมผสมโดยขั้นตอนนี้จะทำการเป่าฝุ่นหินที่หลงเหลือมา กับหินขนาดต่าง ๆ ออกด้วย
- 5) หลังจากได้มวลรวมที่ยุงหินร้อนแล้วจะทำการปล่อยมวลรวมไปยังห้องผสม (Pug mill) ตามอัตราส่วนการผสมให้ได้ตามขนาดคละที่ออกแบบไว้ ในการปล่อยวัสดุมวลรวมนี้ให้ ปล่อยมวลรวมให้สุดเรียงขนาดลงไปเล็กสุด จากนั้นผสมวัสดุจนให้เข้ากันดี ใช้เวลาประมาณ 5 นาที (ถ้าหากมีวัสดุผสมแทรกให้ปล่อยลงไปยังห้องผสมตามที่ได้ออกแบบไว้)
- 6) จากนั้นให้ปล่อยแօสฟ์ล็อกต์ลงไปผสมตามอัตราส่วนที่ออกแบบไว้ ต้องผสมให้เข้ากันดี ทั้งหมดโดยเครื่องผสม ใช้เวลาประมาณ 30 - 60 วินาที
- 7) เมื่อผสมเสร็จก็จะได้แօสฟ์ล็อกต์คอนกรีตที่สามารถใช้งานได้ตามที่ออกแบบไว้ ขั้นตอน การผลิตสามารถดูได้จากรูปที่ 2.2 และ 2.3



รูปที่ 2.2 แสดงขั้นตอนการผสมแอสฟัลต์คอนกรีต



รูปที่ 2.3 ขั้นตอนการผสมในโรงผสม (Plant Mix)

#### 2.4 วัสดุผสมแทรก (Mineral Filler)

เป็นวัสดุที่ถือว่ามีความสำคัญอย่างหนึ่งต่อแอสฟัลต์คอนกรีต เพราะถ้าหากว่าแอสฟัลต์คอนกรีตมีขนาดคละที่ไม่ดีอาจจะต้องเพิ่มวัสดุผสมแทรกเข้าไปเพื่อปรับปรุงขนาดคละให้ดีขึ้น และในบางครั้งสามารถช่วยให้แอสฟัลต์คอนกรีตมีความแข็งแรงมากยิ่งขึ้น โดยวัสดุผสมเพิ่มนี้ กรรมทางหลวงได้กำหนดให้เป็นวัสดุที่ผ่านตะแกรงเบอร์ 100 (เล็กกว่า 0.075 มิลลิเมตร) ไม่น้อยกว่า ร้อยละ 70 ซึ่งได้แก่ ฝุ่นหิน เถ้าloyลิกไนต์ ปูนซีเมนต์ ปูนขาว เป็นต้น ซึ่งจากการที่กรรมทางหลวงได้กำหนดให้ใช้ฝุ่นหิน ก็เพื่อที่จะนำจำนวนฝุ่นหินที่มีจำนวนมากกลับมาใช้ให้เกิดประโยชน์ ซึ่ง

สามารถดูจำนวนฝุ่นหินที่เหลือจากการกระบวนการผลิตแอสฟัลต์คอนกรีตของโรงผสมได้จากรูปที่ 2.4 และ 2.5



รูปที่ 2.4 ลักษณะฝุ่นหินที่กระจัดกระจายไปทั่วโรงผสม



รูปที่ 2.5 ลักษณะฝุ่นหินที่เหลือและกองเก็บเป็นจำนวนมาก

หากแต่่ว่าปัจจุบันได้มีการนำหินที่ระเบิดได้มาจากการ爆破เพื่อการก่อสร้าง จึงหัวดันครรราชสีมา มาใช้เป็นจำนวนมากทำให้ต้องมีการศึกษาเปรียบเทียบคุณสมบัติของฝุ่นหินที่ได้อ่ายุ่งลดลงและเป็น

การลดจำนวนของฝุ่นหินลง เพื่อทดสอบคุณสมบัติที่ได้จากการผสมเพิ่มด้วยฝุ่นหินให้อยู่่เกณฑ์ที่กำหนด เพราะด้วยตัวฝุ่นหินที่ได้นี้จะถูกเผาไม่น้อยกว่า 150 องศาเซลเซียส จึงทำให้เปลี่ยนคุณสมบัติบางประการออกไปได้

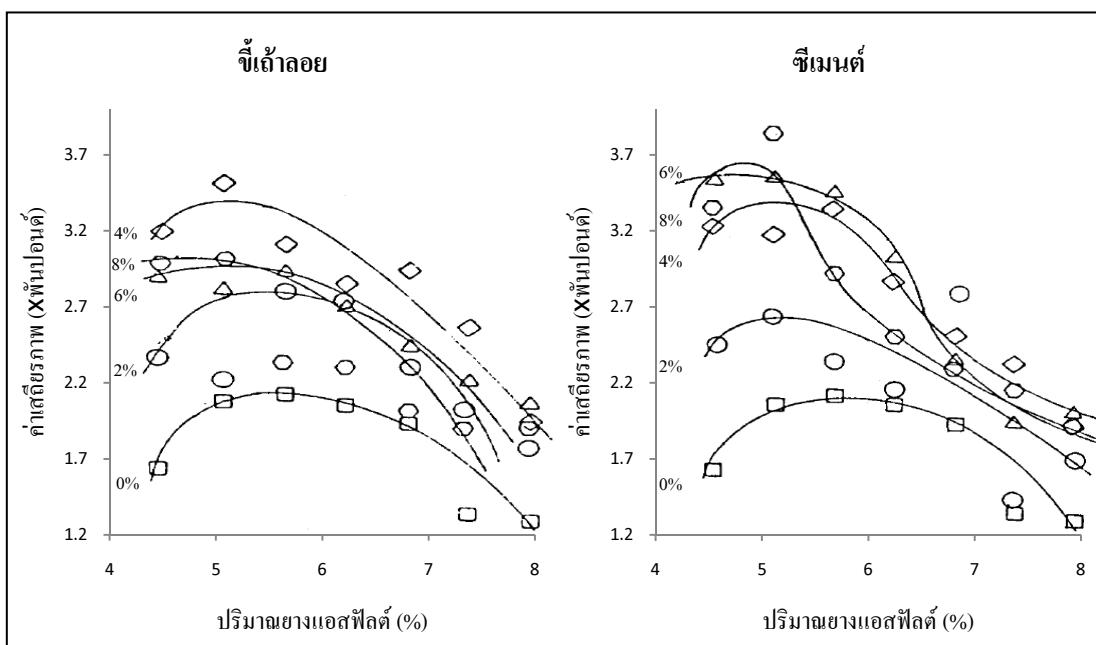
สำหรับถ้าลองลิกไนต์ในปัจจุบันมีการนำมาใช้งานอย่างกว้างขวางโดยเฉพาะอย่างยิ่งการผสมในคอนกรีต ซึ่งถ้าลองลิกไนต์สามารถใช้เป็นวัสดุร่วมกับซีเมนต์ในงานคอนกรีตได้อย่างเหมาะสมโดยการศึกษาของ ชัย ชาตรุพิทักษ์กุล และคณะ (2551) พบร่วมกับการที่ใช้ถ้าลองลิกไนต์ผสมร่วมกับซีเมนต์ในอัตราส่วนที่ออกแบบพบว่าสามารถช่วยป้องกันการเกิดสนิมของเหล็กในคอนกรีตได้เป็นอย่างดี เพราะคุณสมบัติของถ้าลองลิกไนต์ที่มีขนาดเล็กและละเอียดจึงสามารถป้องกันการแทรกซึมผ่านของสารประกอบคลอร์ได้ ซึ่งยังมีการศึกษาต่าง ๆ มากมายเกี่ยวกับถ้าลองลิกไนต์ โดยสาเหตุหลัก ๆ เกิดจากการที่ กฟผ. ประสบปัญหาอย่างมากเกี่ยวกับผลกระทบและการทำลายทึบของวัสดุถ้าลองลิกไนต์ที่เกิดจากการเผาใหม่ของถ่านหินลิกไนต์ จึงทำให้ กฟผ. ได้ให้ทุนวิจัยกับมหาวิทยาลัยต่าง ๆ ในการนำถ้าลองลิกไนต์ไปศึกษาวิจัยถึงคุณสมบัติทั้งทางที่ดีและไม่ดี และศึกษาถึงความสามารถในการนำไปใช้เป็นวัสดุก่อสร้าง ซึ่งจากการวิจัยต่าง ๆ พบร่วมกับการที่นำถ้าลองลิกไนต์มาใช้ในการก่อสร้างถือว่ามีความเหมาะสมเพราะด้วยคุณลักษณะของถ้าลองลิกไนต์ของ จนปัจจุบันถ้าลองลิกไนต์ถือเป็นวัสดุสำคัญสำหรับงานก่อสร้างอย่างมากด้วยคุณสมบัติที่ดีและมีราคาถูก จึงสามารถช่วยลดต้นทุนในการก่อสร้างได้เป็นอย่างดี

## 2.5 ปริทัศน์งานวิจัยที่เกี่ยวข้อง

บัญชา เอกกัณหา (2538) ได้ศึกษาถึงวัสดุที่ผสมเพิ่มด้วยปูนขาว พบร่วมกับการที่ปูนขาวผสมเพิ่มเข้าไปในแอสฟัลต์คอนกรีตในอัตราส่วน 2.5 เปอร์เซ็นต์ ของน้ำหนักมวลรวม ที่แอสฟัลต์ซีเมนต์ของส่วนผสมเท่ากับ 5 เปอร์เซ็นต์ จะทำให้มีค่าเสถียรภาพเพิ่มขึ้นจากแอสฟัลต์คอนกรีต ธรรมดาก 10.81 เปอร์เซ็นต์ มีค่าช่องว่างอากาศน้อยกว่าแอสฟัลต์คอนกรีตธรรมดาก 31.47 เปอร์เซ็นต์ มีความหนาแน่นเพิ่มขึ้นกว่าแอสฟัลต์คอนกรีตธรรมดาก 1.75 เปอร์เซ็นต์ มีค่าเปอร์เซ็นต์ช่องว่างระหว่างวัสดุมวลรวมน้อยกว่าแอสฟัลต์คอนกรีตธรรมดาก 7.91 เปอร์เซ็นต์ ซึ่งทำให้แอสฟัลต์คอนกรีตที่ผสมเพิ่มด้วยปูนขาวมีความแข็งแรงมากขึ้นเหมาะสมกับการนำมาผสมในแอสฟัลต์คอนกรีต นอกจากนี้ยังได้วิจัยเพิ่มเติมโดยการผสมเพิ่มกับซีเมนต์ในอัตราส่วน 1 เปอร์เซ็นต์ ของน้ำหนักมวลรวมพบว่า มีค่าเสถียรภาพเพิ่มขึ้นจากแอสฟัลต์คอนกรีตธรรมดาก 38.98 เปอร์เซ็นต์ มีค่าช่องว่างอากาศน้อยกว่าแอสฟัลต์คอนกรีตธรรมดาก 97.51 เปอร์เซ็นต์ มีความหนาแน่นเพิ่มขึ้นกว่า แอสฟัลต์คอนกรีตธรรมดาก 4.77 เปอร์เซ็นต์ มีค่าเปอร์เซ็นต์ช่องว่างระหว่างวัสดุมวลรวมน้อยกว่า

แอสฟัลต์คอนกรีตธรรมชาติ 26.72 เปอร์เซ็นต์ ทำให้แอสฟัลต์คอนกรีตที่ผสมเพิ่มด้วยซีเมนต์เหมาะสมกับการจราจรที่มีรถบรรทุกหนักกว่าเป็นประจำ

ขัยชาณ วนิทัศน์ (2530) ได้ศึกษาการผสมเพิ่มเบรย์บันคุณสมบัติของปู๊ดเลาอยกับซีเมนต์ปอร์ตแลนด์โดยใช้การทดสอบเดือกขนาดแอสฟัลต์ซีเมนต์ที่ละ 0.5 เปอร์เซ็นต์ เพื่อความเหมาะสมของแต่ละเปอร์เซ็นต์ วัสดุผสมเพิ่ม พบว่าการที่แอสฟัลต์คอนกรีตผสมเพิ่มด้วยปู๊ดเลาอยในอัตราส่วนที่ไม่เกิน 4 เปอร์เซ็นต์ ของน้ำหนักมวลรวมจะมีผลทดสอบค่าเสถียรภาพใกล้เคียงกับแอสฟัลต์คอนกรีตที่ผสมเพิ่มด้วยซีเมนต์ปอร์ตแลนด์ ดังรูปที่ 2.6



รูปที่ 2.6 เปรียบเทียบค่าเสถียรภาพที่วัสดุอัดแทรกต่าง ๆ (ขัยชาณ วนิทัศน์, 2530)

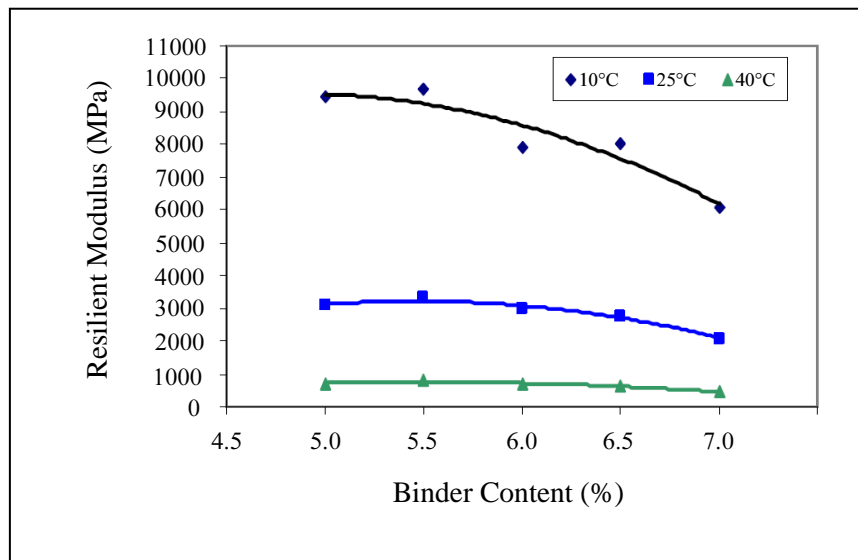
และการที่ปู๊ดเลาอยมีค่าเพิ่มขึ้นมากกว่านี้จะทำให้ส่วนผสมร่วนขึ้น มีค่าเสถียรภาพลดลง นอกจากนี้ยังทำให้ค่าน้ำหนักและค่าขูบตัวเพิ่มขึ้น ส่วนค่าเปอร์เซ็นต์โครงอากาศและค่าเปอร์เซ็นต์ช่องว่างระหว่างมวลรวมลดลง ซึ่งส่งผลให้เปอร์เซ็นต์ช่องว่างมีแอสฟัลต์ซีเมนต์เพิ่มขึ้น ทำให้แอสฟัลต์คอนกรีตที่ผสมเพิ่มด้วยปู๊ดเลาอยในอัตราส่วนที่ไม่เกิน 4 เปอร์เซ็นต์ เหมาะสมกับการใช้กับถนนที่มีการจราจรชนิดหนาแน่น

สมพงษ์ ชีไชสง (2542) ได้ศึกษาการนำเลาอยลิกไนต์มาผสมเพิ่มในแอสฟัลต์คอนกรีต รวมไปถึงการปรับปรุงคุณภาพของยางแอสฟัลต์ซีเมนต์พบว่าการที่เลาอยลิกไนต์มีขนาดเม็ดละเอี้ยด (ขนาดเม็ด 0.001 - 0.075 มิลลิเมตร) มาผสมไม่เกินร้อยละ 30 ของน้ำหนักแอสฟัลต์ซีเมนต์

จะทำให้มีค่าเสถียรภาพดีขึ้น ค่าprocrogacaclodลง มีค่าความหนาแน่นมากขึ้นสามารถดำเนินมาออกแบบเป็นชั้นผิวทาง ได้ แต่ถ้ามีการเพิ่มปริมาณถ้าโลยลิกในตัวเพิ่มขึ้น และมีขนาดโตขึ้นจะทำให้แอกฟล็อต์คอนกรีตร่วนขึ้น และมีค่าเสถียรภาพลดลง นอกจากนี้ได้ทำการทดลองโดยการใช้ถ้าโลยลิกในตัวเป็นส่วนผสมแทนหินฝุ่น เปรียบเทียบกับแอกฟล็อต์คอนกรีตที่ใช้หินฝุ่นพบว่าการที่แอกฟล็อต์คอนกรีตที่ใช้ถ้าโลยลิกในตัวเป็นส่วนผสมจะมีลักษณะค่อนข้างร่วน ความหนาแน่นน้อยลง ค่าprocrogacaclomaakขึ้น ค่าเสถียรภาพต่อการโหลดต่ำกว่าข้อกำหนด และค่าเสถียรภาพน้อยลงแต่อยู่ในข้อกำหนดซึ่งหมายความกับงานชั้นรองผิวทาง

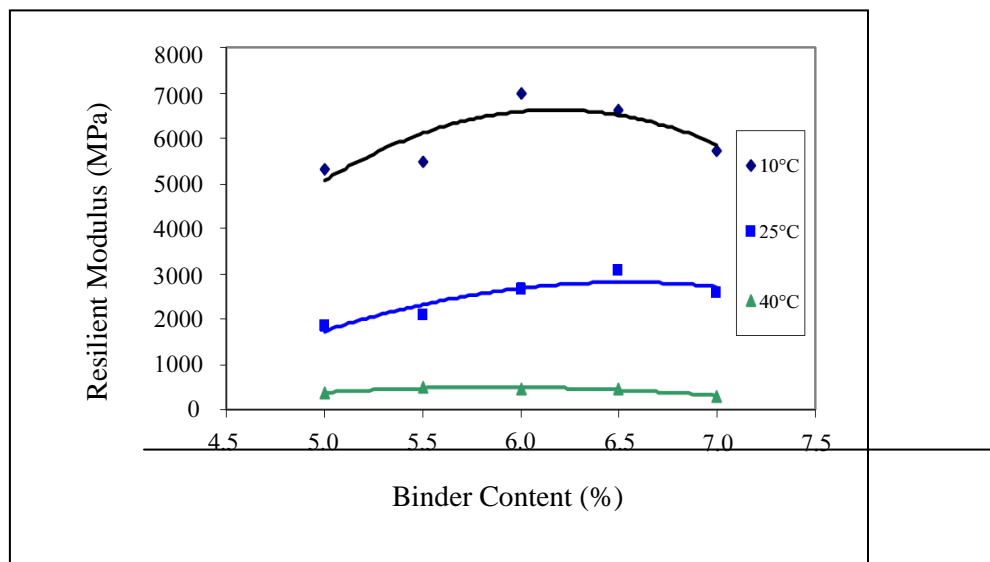
วัชรินทร์ วิทยกุล และ นิรชร พึงแดง (2539) ได้ทำการศึกษาการใช้ถ้าโลยลิกในตัวพบว่า เมื่อนำถ้าโลยลิกในตัวผสมในสัดส่วนของ ถังร้อน 1 โดยใช้หิน 2 ชนิดคือหินปูนและหิน bazol ที่โดยหินปูนจะได้อัตราส่วนที่เหมาะสมอยู่ระหว่างถ้าโลยลิกในตัวและหินฝุ่นมีค่าเท่ากับ 0.043 ที่เหมาะสมของถ้าโลยลิกในตัวอยู่ที่ 2 เบอร์เซ็นต์ และ 6 เบอร์เซ็นต์ โดยนำหันกมวลรวม ตามลำดับ ส่วนหิน bazol ที่ จะได้อัตราส่วนที่เหมาะสมระหว่างถ้าโลยลิกในตัวและหินฝุ่นมีค่าเท่ากับ 0.042 ที่เหมาะสมของถ้าโลยลิกในตัว และแอกฟล็อต์อยู่ที่ 2 เบอร์เซ็นต์ และ 7.2 เบอร์เซ็นต์ โดยนำหันกมวลรวม ตามลำดับ และจากการศึกษายังพบว่าการที่นำถ้าโลยลิกในตัวมาผสมเพิ่มนี้จะทำให้ใช้แอกฟล็อต์ซีเมนต์เพิ่มขึ้นด้วยเนื่องจากลักษณะของถ้าโลยลิกในตัวที่มีรูปร่างเป็นรูปธูน

Meor Hamzah and Teoh Yi (2008) ได้ทำการศึกษาถึงการใช้ตะกรันเหล็กที่นำมาจากโรงกลุ่มมาเป็นส่วนผสมแทรกในแอกฟล็อต์คอนกรีต โดยทดสอบในหินฝุ่นบางส่วน (ตะกรันเหล็ก 50 เบอร์เซ็นต์ หินแกรนิต 50 เบอร์เซ็นต์) และทดสอบห้องหมุด (ตะกรันเหล็ก 100 เบอร์เซ็นต์) จากการศึกษารังนี้เพื่อต้องการนำตะกรันเหล็กจำนวนมากที่เหลือทิ้งจากโรงงาน ให้นำกลับมาใช้ให้เกิดประโยชน์เพื่อลดปัญหาทางสิ่งแวดล้อม และเพื่อต้องการแก้ปัญหาของถนนที่เกิดการพังได้ง่าย รวมไปถึงการเกิดร่องล้อด้วย โดยการทดลองนี้ใช้การทดสอบออกแบบด้วยวิธีค่าโมดูลัสคืนตัว (RESILIENT MODULUS) ซึ่งผลการทดสอบเป็นดังรูปที่ 2.7 และ 2.8



รูปที่ 2.7 ผลทดสอบค่าโมดูลัสคืนตัวแทนตะกรันเหล็กทั้งหมด

(Meor Hamzah and Teoh Yi, 2008)



รูปที่ 2.8 ผลทดสอบค่าโมดูลัสคืนตัวแทนตะกรันเหล็กและหินเกรนิตครึ่งหนึ่ง

(Meor Hamzah and Teoh Yi, 2008)

จากผลการทดสอบพบว่าตะกรันเหล็กสามารถแทนที่หินแกรนิตได้ดีและมีผลการทดสอบค่าไมโครลัสคีนตัวเดียวกับการทดสอบกันระหว่างตะกรันเหล็กและหินแกรนิตด้วยแต่การทดสอบยังพบว่าอุณหภูมิมีส่วนสำคัญอย่างมากต่อค่าไมโครลัสคีนตัวโดยรูปที่ 2.7 และรูปที่ 2.8 จะพบว่าอุณหภูมิที่ 10 องศาเซลเซียส มีค่าไมโครลัสคีนตัวเดียวกับอุณหภูมิที่ 25 องศาเซลเซียส และ 40 องศาเซลเซียส ตามลำดับ

Tienfuan Kerh et al. (2005) ได้ทำการศึกษาถึงปัญหาการหลุดลอกของผิวจราจรแอสฟัลต์คอนกรีตร่วมไปถึงสาเหตุของการเกิดล่องล้อ ซึ่งอาจเกิดมาจากการส่วนผสมที่ไม่ดีของมวลรวมดังนั้นการศึกษารั้งนี้ได้ปรับปรุงมวลรวมของวัสดุผสม โดยการเปรียบเทียบระหว่างแอสฟัลต์คอนกรีตที่ไม่ผสมวัสดุผสมเพิ่มกับแอสฟัลต์คอนกรีตผสมเพิ่มด้วยปูนขาว และแอสฟัลต์คอนกรีตผสมเพิ่มด้วยซีเมนต์ในอัตราส่วน 1 เบอร์เช็นต์ ของน้ำหนักหินฝุ่น ซึ่งมีผลการทดสอบด้วยวิธีมาร์แซลล์ ดังตารางที่ 2.1

#### ตารางที่ 2.1 ผลการทดสอบแบบมาร์แซลล์ระหว่างหินฝุ่น ปูนขาวและซีเมนต์

(Tienfuan Kerh et al., 2005)

Items	Rock flour	R.f + 1% Lime	R.f + 1% Cement	Codes
Unit weight (kg/m <sup>3</sup> )	2.370	2.368	2.372	-
Stability value (kg)	1222	1327	1236	> 600
Flow value (0.01")	14.25	13.10	14.23	8 - 16
Void rate(%)	3.45	3.35	3.43	3 - 5
V.M.A. (%)	13.70	13.90	13.80	> 13
Best oil content (%)	5.3	5.5	5.4	-

จากตารางที่ 2.5 จะพบว่าค่าที่ผสมเพิ่มด้วยปูนขาวจะมีค่า เสถียรภาพดีที่สุดอยู่ที่ 1,327 กิโลกรัม รองลงมาเป็นผสมเพิ่มด้วยซีเมนต์อยู่ที่ 1,236 กิโลกรัม และหินฝุ่นมีค่าเสถียรภาพอยู่ที่ 1,222 กิโลกรัม และจากการทดสอบหากค่าไมโครลัสคีนตัวสามารถสรุปได้ว่าการที่ผสมเพิ่มด้วยปูนขาวและซีเมนต์นั้นสามารถช่วยลดการหลุดลอกออกໄไปได้ เพราะมีความหนาแน่นมากขึ้นทำให้ลดช่องว่างในแอสฟัลต์คอนกรีตธรรมชาติได้และจากค่าเสถียรภาพที่เพิ่มขึ้นทำให้สามารถป้องกันการเกิดล่องล้อได้ดีขึ้นด้วย

Shaopeng Wu et al. (2006) ได้พบปัญหาทางสิ่งแวดล้อมที่เกิดจากโรงผลิตเหล็ก โดยการผลิตเหล็กแต่ละครั้งจะได้ ตะกรันเหล็กออกมาระมาณ 15-20 เบอร์เช็นต์ ของจำนวนเหล็กทั้งหมด

ซึ่งจะมีปริมาณที่มากและเป็นอันตรายต่อสิ่งแวดล้อมด้วย ดังนั้นจึงมีแนวคิดที่จะนำมาตรฐานเป็นส่วนผสมเพิ่มในแอสฟัลต์คอนกรีต โดยเลือกเปรียบเทียบกับหิน bazalt ซึ่งได้ผลการทดสอบโครงการสร้างทางพิสิกส์ ดังตารางที่ 2.2 และผลการทดสอบแบบมาร์แซลล์ ดังตารางที่ 2.3

ตารางที่ 2.2 ผลการทดสอบทางโครงการสร้างพิสิกส์ (Shaopeng Wu et al., 2006)

Items	Bulk density (g/cm <sup>3</sup> )	Cumulus density (g/cm <sup>3</sup> )	Water Absorption (%)	Crushing value (%)	Polishing stone value (%)	Binder adhesion (%)	LA abrasion (%)
Steel slag	3.30	1.90	1.29	12.1	58	> 95	13.2
Basalt	2.85	1.70	0.68	12.7	48	> 85	15.8

ตารางที่ 2.3 ผลการทดสอบแบบมาร์แซลล์ (Shaopeng Wu et al., 2006)

Items	Optimal asphalt content (%)	Density (g/cm <sup>3</sup> )	Air voids (%)	VMA (%)	Marshall stability (kN)
Steel slag	6.4	2.610	3.9	18.5	10.8
Basalt	6.2	2.520	4.0	18.7	11.5
Specifications	-	-	3-4	> 17.0	> 6.0

ผลการทดสอบพบว่าด้วยตะกรันเหล็กที่มีลักษณะเม็ดที่ละเอียดและขรุระนาภกว่านั้น จะทำให้ ตะกรันเหล็กมีความหนาแน่นมาก เพราะด้วยขนาดเล็กจะสามารถถูกดูดซึ่งว่างได้ดีกว่า และ การที่นำตะกรันเหล็กมาผสมเพิ่มในแอสฟัลต์คอนกรีตจะสามารถต้านทานต่อการบดทับของรถจราจร ต่ออุณหภูมิที่สูงและต่ำได้ดีกว่าหินชนิด bazalt

Ratnasamy Muniandy et al. (2008) ได้พบว่าในปัจจุบันมีการนำวัสดุธรรมชาติมาใช้ในการก่อสร้างงานต่าง ๆ อย่างมากมายทำให้วัสดุต่าง ๆ เหลื่อนน้อยลง และยังพบว่าในกระบวนการผลิต ต่าง ๆ จะมีวัสดุที่เหลือทิ้งจากการกระบวนการผลิตอยู่มาก เพื่อลดปัญหาทางด้านลักษณะของวัสดุ จึงได้ศึกษาถึงความเหมาะสมทางด้านพิสิกส์และเคมีขององค์ประกอบวัสดุของ เถ้าโลยลิกาในต์ ผุนหินปูน ผงเซรามิก และตะกรันเหล็ก ว่าอยู่ในมาตรฐาน ASTM C618, Class N, (Natural Pozzolan) หรือไม่ เพื่อคุณภาพเหมาะสมการนำมาใช้เป็นส่วนผสมในแอสฟัลต์คอนกรีต โดยมีผล การทดสอบดังตารางที่ 2.4 - 2.7

ตารางที่ 2.4 ผลทดสอบทางเคมีถ้าโลหะกีโนต์ (Ratnasamy Muniandy et al., 2008)

Chemical (elemental) analysis using EDX	Weight %	ASTM C618, Class N, (Natural Pozzolan)
Calcium Carbonate, CaCO <sub>3</sub>	10.33	-
Silicon Dioxide, SiO <sub>2</sub>	54.57	-
Magnesium Oxide, MgO	4.22	5.0% Maximum
Aluminum Oxide, Al <sub>2</sub> O <sub>3</sub>	8.24	-
Calcium, Ca	6.85	-
Titanium, Ti	0.33	-
Iron, Fe	14.28	-
Sum of SiO <sub>2</sub> , Al <sub>2</sub> O <sub>3</sub> , Fe	77.09	70% Minimum
Feldspar, K Potassium	0.76	-
Available Alkalies as Na <sub>2</sub> O	-	1.5% Maximum
Sulfur Trioxide, SO <sub>2</sub>	-	4% Minimum (ASTMC114)

ตารางที่ 2.5 ผลทดสอบทางเคมีผุนหินปูน (Ratnasamy Muniandy et al., 2008)

Chemical (elemental) analysis using EDX	Weight %	ASTM C618, Class N, (Natural Pozzolan)
Calcium Carbonate, CaCO <sub>3</sub>	7.27	-
Silicon Dioxide, SiO <sub>2</sub>	45.70	-
Magnesium Oxide, MgO	0.45	5.0% Maximum
Aluminum Oxide, Al <sub>2</sub> O <sub>3</sub>	-	-
Calcium, Ca	40.77	-
Titanium, Ti	-	-
Iron, Fe	-	-
Sum of SiO <sub>2</sub> , Al <sub>2</sub> O <sub>3</sub> , Fe	45.70	70% Minimum
Feldspar, K Potassium	-	-
Available Alkalies as Na <sub>2</sub> O	-	1.5% Maximum
Sulfur Trioxide, SO <sub>2</sub>	-	4% Minimum (ASTMC114)

ตารางที่ 2.6 ผลทดสอบทางเคมีผงเซรามิก (Ratnasamy Muniandy et al., 2008)

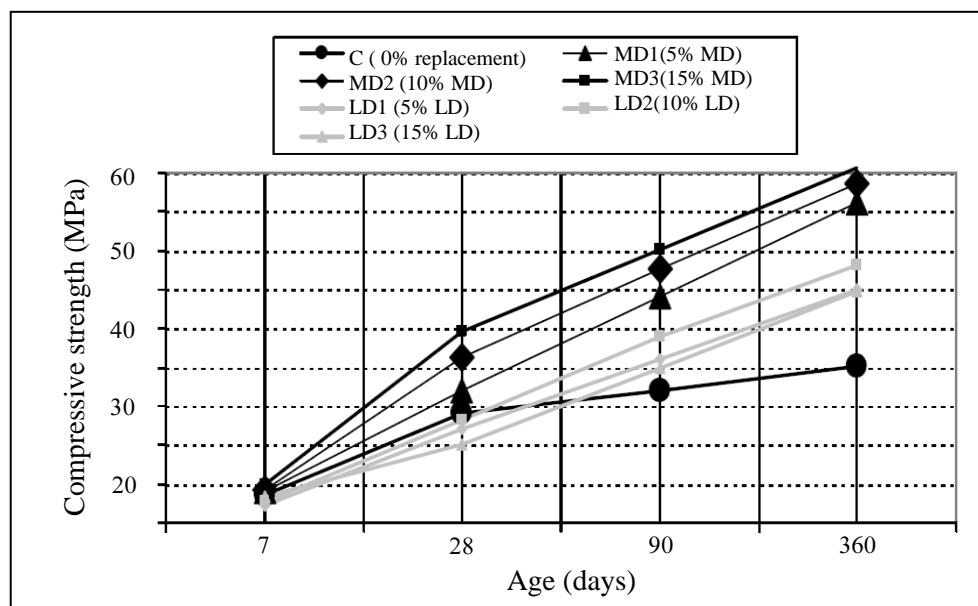
Chemical (elemental) analysis using EDX	Weight %	ASTM C618, Class N, (Natural Pozzolan)
Calcium Carbonate, Ca Co <sub>3</sub>	8.00	-
Silicon Dioxide, Si O <sub>2</sub>	79.94	-
Magnesium Oxide, Mg O	0.45	5.0% Maximum
Aluminum Oxide, Al <sub>2</sub> O <sub>3</sub>	8.54	-
Calcium, Ca	40.77	-
Titanium, Ti	0.31	-
Iron, Fe	1.11	-
Sum of Si O <sub>2</sub> , Al <sub>2</sub> O <sub>3</sub> , Fe	84.59	70% Minimum
Feldspar, K Potassium	1.55	-
Available Alkalies as Na <sub>2</sub> O	-	1.5% Maximum
Sulfur Trioxide, SO <sub>2</sub>	2.02	4% Minimum (ASTMC114)

ตารางที่ 2.7 ผลทดสอบทางเคมีตะกรั่นเหล็ก (Ratnasamy Muniandy et al., 2008)

Chemical (elemental) analysis using EDX	Weight %	ASTM C618, Class N, (Natural Pozzolan)
Calcium Carbonate, Ca Co <sub>3</sub>	4.25	-
Silicon Dioxide, Si O <sub>2</sub>	41.41	-
Magnesium Oxide, Mg O	0.36	5.0% Maximum
Aluminum Oxide, Al <sub>2</sub> O <sub>3</sub>	16.71	-
Calcium, Ca	1.07	-
Titanium, Ti	0.82	-
Iron, Fe	17.45	-
Sum of Si O <sub>2</sub> , Al <sub>2</sub> O <sub>3</sub> , Fe	95.93	70% Minimum
Feldspar, K Potassium	0.33	-
Available Alkalies as Na <sub>2</sub> O	0.64	1.5% Maximum
Sulfur Trioxide, SO <sub>2</sub>	-	4% Minimum (ASTMC114)

จากผลการทดสอบทางด้านฟิสิกส์และเคมีพบว่าการจะนำวัสดุทั้ง 4 ชนิดนี้ไปเป็นวัสดุผสมเพิ่มถือว่ามีความเหมาะสมสมอยู่ในมาตรฐาน ASTM C618, Class N, (Natural Pozzolan) และสามารถนำไปศึกษาถึงความเป็นไปได้ในการผสมเพิ่มอีกในอนาคต

Hanifi Binici et al. (2007) ได้ศึกษาการนำฝุ่นหินอ่อน (marble dusts) และฝุ่นหินปูน (limestone dusts) มาเป็นส่วนผสมโดยแทนที่ทรายผสมในคอนกรีต โดยการศึกษารังนี้ได้ใช้ส่วนผสมฝุ่นหินอ่อนและฝุ่นหินปูนแทนที่ทรายในอัตราส่วน 5 เปอร์เซ็นต์ 10 เปอร์เซ็นต์ และ 15 เปอร์เซ็นต์ ตามลำดับ ซึ่งผลทดสอบมีดังรูปที่ 2.9

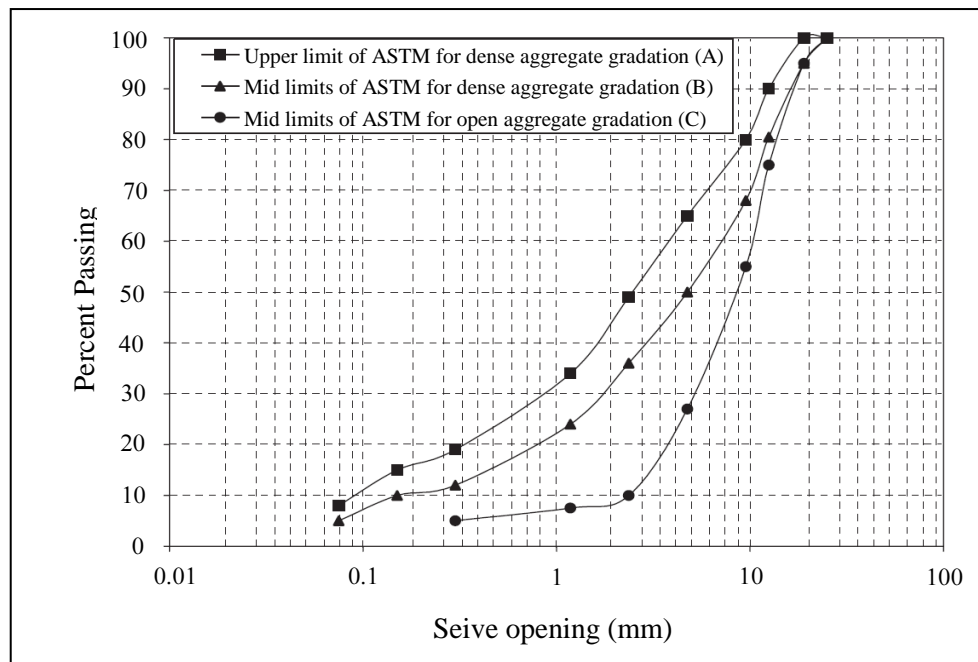


รูปที่ 2.9 ผลการทดสอบกำลังอัดที่อายุต่างๆ (Hanifi Binici et al., 2007)

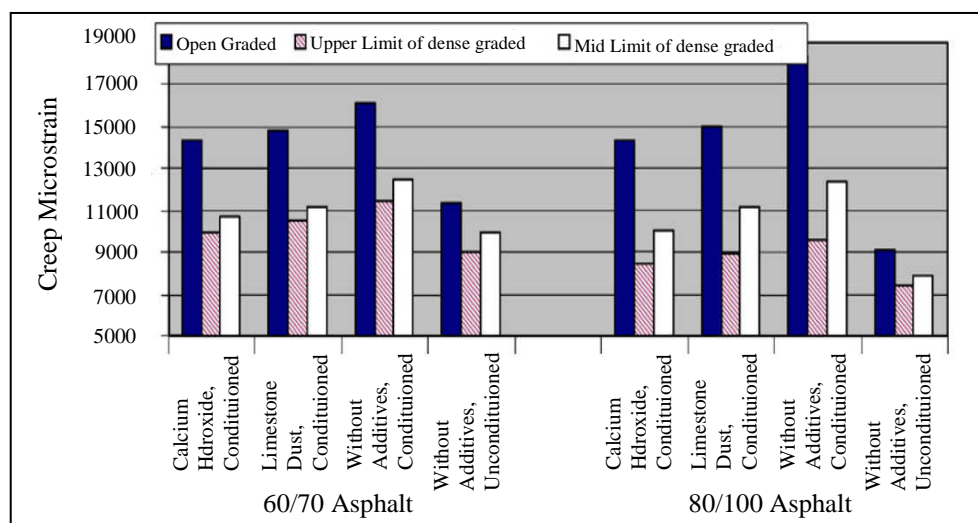
ผลการทดสอบพบว่าการที่นำส่วนผสมฝุ่นหินอ่อนและฝุ่นหินปูนแทนที่ทรายในคอนกรีตนั้นจะเห็นว่ากำลังอัดจะเพิ่มขึ้นตามอายุการบ่มโดยในอัตราส่วน 15 เปอร์เซ็นต์ จะให้กำลังอัดที่ดีที่สุด โดยฝุ่นหินอ่อนอยู่ที่ 60 เมกะปานาล ฝุ่นหินปูนอยู่ที่ 48 เมกะปานาล และ คอนกรีตธรรมชาติอยู่ที่ 35 เมกะปานาล ซึ่งส่วนผสมทั้ง 2 ชนิดถือว่ามีความเหมาะสมกับการนำมาเป็นส่วนผสมแทนที่ทรายในคอนกรีตได้เป็นอย่างดี

Saad and Haider (2005) ได้ศึกษาถึงความต้องการการป้องกันการหลุดลอกของแอสฟัลต์คอนกรีต โดยใช้วัสดุธรรมชาติ ซึ่งวัสดุที่ใช้มี 2 ชนิดคือ ฝุ่นหินปูน (limestone dust) ที่เหลือจากโรง

ผลิตในจอร์เคน และสารพสมเพิ่ม แคลเซียมไฮดรอกไซด์ (calcium stearate hydroxide) ซึ่งจะแบ่งการทดลอง ใช้แอสฟัลต์ซีเมนต์ 60 - 70 และ 80 - 100 แบ่งส่วนพสมเป็น 3 ขนาดคละดังรูปที่ 2.10



รูปที่ 2.10 ขนาดคละที่ใช้ทดสอบ (Saad and Haider, 2005)



รูปที่ 2.11 ผลทดสอบการหลุดลอกของส่วนพสมต่าง ๆ

(Saad and Haider, 2005)

ผลการทดสอบดังรูปที่ 2.11 พบว่าการที่ผสมเพิ่มด้วยแคลเซียมไอกซ์โซรอกไซด์ จะสามารถป้องกันการหลุดลอกของแอสฟัลต์คอนกรีต ได้ดีที่สุด รองลงมาเป็นผุนหินปูนและแอสฟัลต์คอนกรีตที่ไม่ได้ผสมเพิ่ม ดังนั้นการที่นำวัสดุผสมเพิ่มทั้ง 2 ชนิดมาผสมเพิ่มในแอสฟัลต์คอนกรีต จะสามารถช่วยป้องกันการหลุดลอก ได้เป็นอย่างดีและยังสามารถนำวัสดุธรรมชาติที่เหลือจากกระบวนการผลิตมาใช้ได้อีกด้วยหมายเหตุ

Md. Jahir et al. (2006) ได้ศึกษาการใช้ถ้าโลยกิโนต์เป็นส่วนผสมทดสอบชีเมนต์ในคอนกรีต ซึ่งในปัจจุบันได้มีการนำถ้าโลยกิโนต์มาใช้อย่างกว้างขวางในหลายด้านเกี่ยวกับงานก่อสร้าง เพื่อตรวจสอบความเป็นไปได้ในการนำมาผสมทดสอบชีเมนต์โดยการศึกษาได้ทำการทดสอบในอัตราส่วน 5 เปอร์เซ็นต์ 10 เปอร์เซ็นต์ 15 เปอร์เซ็นต์ และ 20 เปอร์เซ็นต์ ตามลำดับ โดยศึกษาถึงคุณสมบัติทางเคมีและทดสอบกำลังอัดที่อายุต่าง ๆ ได้ผลการทดลองดังตารางที่ 2.8 และ 2.9

ตารางที่ 2.8 ผลทดสอบทางเคมีถ้าโลยกิโนต์ (Md. Jahir et al., 2006)

Constituents	%Weight
$\text{SiO}_2$	23.72
$\text{Al}_2\text{O}_3$	5.30
$\text{Fe}_2\text{O}_3$	2.8
CaO	65.80
MgO	1.26
K <sub>2</sub> O	1.60
Surface area	755 m <sup>2</sup> /g

ตารางที่ 2.9 ผลทดสอบกำลังอัดอายุ 3 7 และ 28 วัน (Md. Jahir et al., 2006)

Types of cement Age (Days)	Stress (psi)of Shah special cement	Stress (psi)of Shah special cement with 5% Fly ash	Stress (psi)of Shah special cement with 10% Fly ash	Stress (psi)of Shah special cement with 15% Fly ash	Stress (psi)of Shah special cement with 20% Fly ash
3	2332.08	2187.08	2189.01	2165.33	2078.45
7	3169.06	2929.84	3196.28	3081.25	2976.42
28	4046.46	3547.18	3991.4	3651.1	3579.55

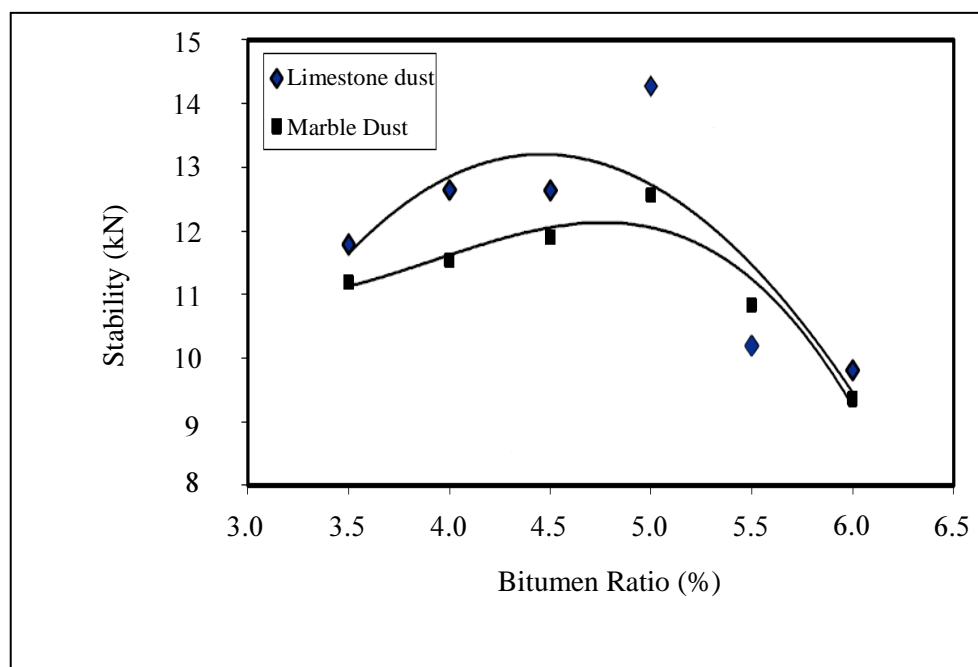
จากการทดสอบทางเคมีของถ้วยอลอยลิกไนต์ทดสอบอยู่ในมาตรฐานของ ASTM สามารถนำมาเป็นวัสดุผสมในคอนกรีตได้ และจากการทดสอบกำลังอัดในอายุต่าง ๆ พบร่วงกำลังอัดที่ผสมทรายในอัตราส่วน 10 เบอร์เซ็นต์ มีความเหมาะสมที่สุด โดยการที่ผสมทรายมากขึ้นมากกว่านี้จะทำให้กำลังอัดลดลงซึ่งไม่เหมาะสมต่อการนำมาทดแทน ดังนั้นการที่นำถ้วยอลอยลิกไนต์มาเป็นส่วนผสมทรายซึ่งมีความเหมาะสมและยังช่วยลดปัญหาทางผลกระทบของจำนวนถ้วยอลอยลิกไนต์ที่มีจำนวนมากอย่างเหมาะสม

Mustafa and Serdal (2005) ได้พิบัติปัญหาของการนำหินธรรมชาติมาใช้ในงานอุตสาหกรรมจำนวนมาก โดยการผลิตชิ้นงานหินอ่อน (marble) นั้นการผลิตจะต้องตัดเป็นชิ้นเล็ก ๆ ตามการลั่งของลูกค้าซึ่งในการตัดนั้นจะมีฝุ่นหินอ่อน (marble dust) จำนวนมากที่หลงเหลือจากการตัดและมีปัญหาทางด้านสิ่งแวดล้อมทางอากาศในบริเวณนั้น จึงได้คิดที่จะนำมาเป็นส่วนผสมทรายฝุ่นหินปูน (limestone dust) ที่ใช้กันอย่างแพร่หลายในครุภัณฑ์ ดังนั้นเพื่อจะลดปริมาณฝุ่นหินอ่อนลงจึงเลือกการทดลองเปรียบเทียบกับการใช้ฝุ่นหินปูนในอัตราส่วนต่าง ๆ ดังตารางที่ 2.10

ตารางที่ 2.10 ขนาดคละตามอัตราส่วนระหว่างผุนหินต่อบางแอสฟัลต์

(Mustafa and Serdal, 2005)

Sieve	Filler/bitumen ratio in volume				
	0.4	0.5	0.6	0.7	0.8
1"	100.00	100.00	100.00	100.00	100.00
3/4"	100.00	100.00	100.00	100.00	100.00
1/2"	81.95	85.37	88.90	92.40	95.63
3/8"	71.85	74.68	77.67	80.60	83.32
NO.4	52.90	56.14	59.50	62.80	65.86
NO.10	36.85	39.91	43.10	46.20	49.09
NO.40	17.65	19.99	22.42	24.80	27.01
NO.80	9.50	11.30	13.17	15.00	16.70
NO.200	4.30	5.40	6.50	7.60	8.60



รูปที่ 2.12 ผลทดสอบค่าเสถียรภาพแบบมาร์แซลต์

(Mustafa and Serdal, 2005)

ผลการทดสอบดังรูปที่ 2.12 แบบมาร์แซลล์พบว่าการใช้ผุนหินอ่อนมีค่าเสถียรภาพน้อยกว่าการใช้ผุนหินปูนและผุนหินปูนจะใช้ปริมาณของยางแอสฟัลต์น้อยกว่าผุนหินอ่อน และยังได้ทดสอบแบบ Dynamic Plastic Deformation ที่ 1,000 2,000 3,000 4,000 และ 5,000 รอบ พบว่า การที่ใช้ผุนหินอ่อนมาผสมน้ำหนึ่งกับผิวทางที่มีปริมาณการจราจรน้อย

## 2.6 สรุปผลงานวิจัยที่เกี่ยวข้อง

จากการศึกษางานวิจัยที่เกี่ยวข้องพบว่าปัจจุบันได้มีการนำวัสดุชนิดผุนหินต่าง ๆ รวมทั้ง เถ้าโลยลิกไนต์และตะกรันเหล็ก มาใช้ในงานก่อสร้างมากขึ้นอาจเป็นเพราะวัสดุดังกล่าวจะมี จำนวนมากขึ้นในแต่ละปี และส่งผลต่อมลภาวะทางอากาศอย่างมาก ทำให้มีการนำวัสดุเหล่านี้มา ศึกษาถึงความเป็นไปได้การนำมาผสมเพิ่มในวัสดุก่อสร้างไม่ว่าจะเป็นการนำมาเป็นชั้นรองผิวทาง ผสมในคอนกรีตหรือแม้แต่การผสมเพิ่มในแอสฟัลต์คอนกรีต ฯลฯ พร้อมทั้งวิเคราะห์ถึงโครงสร้าง ลักษณะรูปร่างและคุณสมบัติทางเคมีต่าง ๆ ที่อาจส่งผลกระทบต่อความคงทนและแข็งแรงของวัสดุ เหล่านี้ได้

ดังนั้นจากการศึกษางานวิจัยต่าง ๆ ผู้วิจัยได้เลือกใช้แอสฟัลต์ซีเมนต์ เกรด 60 - 70 ที่ เหมาะสมกับแอสฟัลต์คอนกรีตธรรมชาติแล้วทำการผสมเพิ่มด้วยผุนหินที่เหลือจากการกระบวนการ ผลิตแอสฟัลต์คอนกรีตจากโรงงาน และถ้าโลยลิกไนต์ที่เหลือจากการกระบวนการเผาไหม้จาก ถ่านหิน มาผสมเพิ่มในแอสฟัลต์คอนกรีต โดยเปรียบเทียบกับการผสมเพิ่มด้วยซีเมนต์ตาม อัตราส่วนที่ออกแนบในบทที่ 1 เพื่อศึกษาถึงความเป็นไปได้ในการนำมาผสมเพิ่มที่ใช้ปริมาณ แอสฟัลต์ซีเมนต์เท่าเดิมรวมทั้งศึกษาโครงสร้าง คุณสมบัติทางฟิสิกส์และเคมีของวัสดุผสมแทรก โดยอ้างอิงตามมาตรฐานกรมทางหลวง

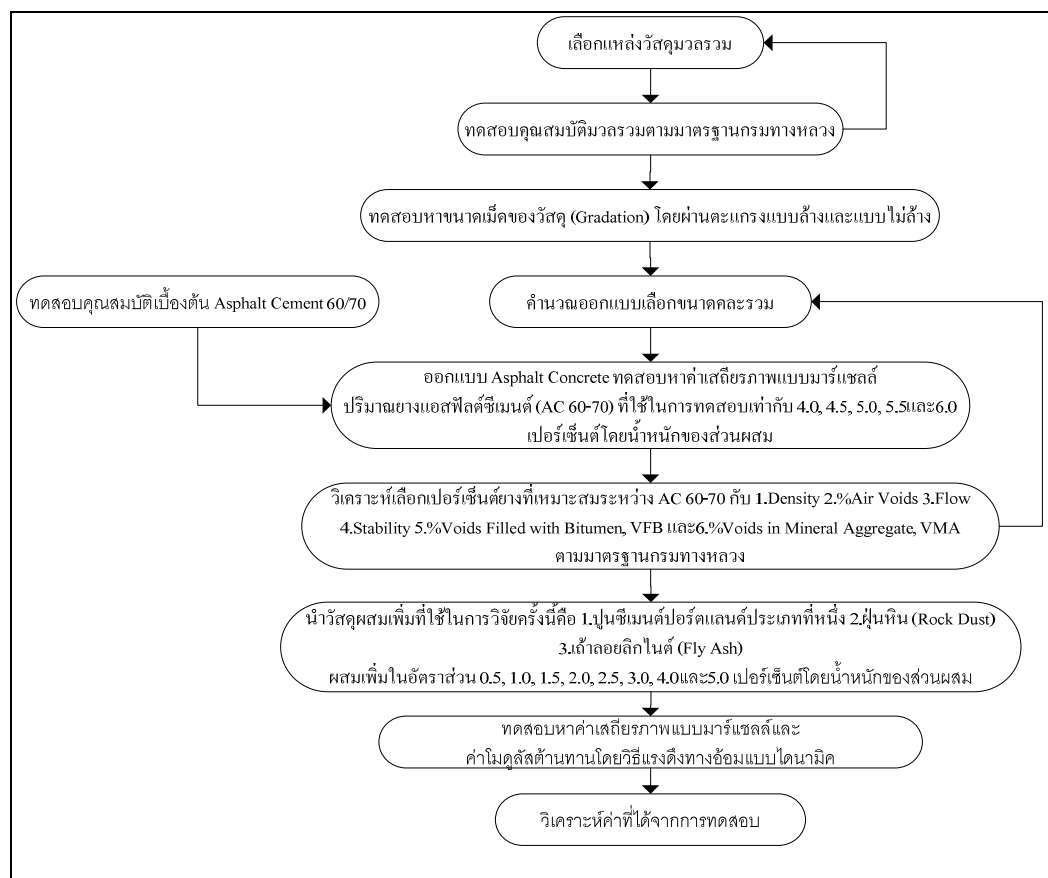
## บทที่ 3

### วิธีดำเนินงานวิจัย

บทที่ 3 กล่าวถึงขั้นตอนการทดสอบคุณสมบัติของแอสฟัลต์ซีเมนต์ การจำแนกและกำหนดขนาดคละของมวลรวม การทดสอบคุณสมบัติทางเคมีและลักษณะรูปร่างของวัสดุผสมเพิ่ม การทดสอบด้วยวิธีมาร์แซลล์ และการทดสอบค่าโมดูลัสต้านทานโดยวิธีแรงดึงทางอ้อม

#### 3.1 แผนการดำเนินงานวิจัย

ขั้นตอนการทำวิจัยสามารถสรุปได้ดังรูปที่ 3.1



รูปที่ 3.1 สรุปขั้นตอนการทำวิจัย

จากรูปที่ 3.1 เป็นการอธิบายสรุปถึงขั้นตอนการทำวิจัย โดยอันดับแรกจะต้องทำการเลือกแหล่งหินที่นำมาใช้เป็นวัสดุมวลรวมให้ตรงตามมาตรฐานกรมทางหลวงที่กำหนด ซึ่งถ้าหากไม่ตรงตามมาตรฐานให้ทำการเลือกแหล่งวัสดุใหม่ จากนั้นทดสอบหาขนาดค่าความกว้างเพื่อใช้ในการออกแบบแอสฟัลต์คอนกรีตแล้วทำการทดสอบเพิ่มตามอัตราส่วนที่กำหนดเพื่อทดสอบหาปริมาณแอสฟัลต์ซีเมนต์ที่เหมาะสม โดยวิธีมาร์แซลล์ตามมาตรฐานกรมทางหลวงที่ ทล.-ท.604/2517

เมื่อได้วัสดุมวลรวมและแอสฟัลต์ซีเมนต์ที่เหมาะสมแล้ว จากนั้นทำการทดสอบเพิ่มด้วยซีเมนต์ผุนหิน และถ้าลองลิกไนต์ตามที่ได้ออกแบบไว้เพื่อหาปริมาณของวัสดุผสมเพิ่มทั้ง 3 ชนิดที่เหมาะสมด้วยวิธีมาร์แซลล์และค่าโมดูลัสต้านทาน โดยวิธีแรงดึงทางอ้อม พร้อมทั้งอธิบายถึงสาเหตุของผลทดสอบที่ได้ โดยมีรายละเอียดขั้นตอนการทดสอบตามหัวข้อ 3.2 ถึง 3.6

### 3.2 ทดสอบคุณสมบัติแอสฟัลต์ซีเมนต์

แอสฟัลต์ซีเมนต์เกรด AC 60 - 70 ที่ใช้ในการศึกษานี้มาจากการบริษัททิปโก้แอสฟัลต์ จำกัด (มหาชน) ซึ่งมีคุณสมบัติตรงตามข้อกำหนดของกรมทางหลวงที่ ทล.-ก.401/2531 ในงานวิจัยครั้งนี้ ต้องทำการทดสอบแอสฟัลต์ซีเมนต์เกรด AC 60 - 70 เพิ่มเติม เพื่อใช้เป็นค่าในการคำนวณหาปริมาณยางในแอสฟัลต์คอนกรีตที่เหมาะสม ดังต่อไปนี้

1) ทดสอบหาค่าความถ่วงจำเพาะ (Specific Gravity) ตามมาตรฐานการทดสอบของกรมทางหลวงที่ AASHTO T228 - 85

2) ทดสอบหาค่าการดูดซึมแอสฟัลต์ของมวลรวม (Asphalt Absorption) ตามมาตรฐานการทดสอบของกรมทางหลวงที่ ทล.-ท.414/2547

### 3.3 ทดสอบวัสดุมวลรวม

การทดสอบวัสดุมวลรวมถือเป็นการทดสอบที่มีความสำคัญอย่างมาก เพราะเป็นตัวกำหนดความแข็งแรงของแอสฟัลต์คอนกรีต วัสดุมวลรวมที่ใช้นำมาจากโรงโน้มหิน ดำเนลอนองน้ำแดง อะเกอปากช่อง จังหวัดนครราชสีมา และทำการทดสอบที่ห้องปฏิบัติการวัสดุการทาง (F5) มหาวิทยาลัยเทคโนโลยีสุรนารี และหน่วยวิเคราะห์และตรวจสอบทางวิศวกรรม กรมทางหลวงที่ 8 แบ่งการทดสอบออกเป็น 2 ชนิดดังนี้

#### 1) วัสดุมวลหมาย

เป็นวัสดุที่ค้างตะแกรงเบอร์ 4 (4.75 มิลลิเมตร) ซึ่งมีความสำคัญอย่างมากในการผสมในแอสฟัลต์คอนกรีต เพราะเป็นวัสดุที่มีความแข็งแรงและใช้แอสฟัลต์ซีเมนต์ในปริมาณน้อยกว่าวัสดุมวลรวมละเอียด อย่างไรก็ตามการใช้วัสดุมวลหมายต้องคำนึงถึงขนาดค่าความกว้างเพื่อจะ

ทำให้มีช่องว่างมากเกินไปและทำให้แอลฟล์มีเสถียรภาพไม่ดีพอ ดังนั้นจึงต้องทำการทดสอบให้ตรงตามมาตรฐานของกรมทางหลวงดังต่อไปนี้

- การทดสอบหาขนาดเม็ดของวัสดุ (Gradation) โดยผ่านตะแกรงแบบไม่ถัง (Dry Sieve) ตามมาตรฐานการทดสอบของกรมทางหลวงที่ ทล.-ท.204/2516
- การทดสอบหาค่าความถ่วงจำเพาะ (Specific Gravity) ตามมาตรฐานการทดสอบของกรมทางหลวงที่ ทล.-ท.207/2517
- การหาค่าความสึกหรอ (Los Angeles Abrasion) ตามมาตรฐานการทดสอบของกรมทางหลวงที่ ทล.-ท.202/2515 จะต้องมีความสึกหรอไม่เกินร้อยละ 40
- การทดสอบค่าความทนทาน (Soundness) ตามมาตรฐานการทดสอบของกรมทางหลวงที่ ทล.-ท.213/2531 โดยใช้โซเดียมซัลเฟตจำนวน 5 รอบ ส่วนที่ไม่คงทน (Loss) ต้องไม่เกินร้อยละ 9
- การทดสอบค่าดัชนีความแบน (Flakiness Index) ตามมาตรฐานการทดสอบของกรมทางหลวงที่ ทล.-ท.210/2518 ค่าดัชนีความแบน ต้องไม่เกินร้อยละ 30
- การทดสอบดัชนีความยาว (Elongation Index) ตามมาตรฐานการทดสอบของกรมทางหลวงที่ ทล.-ท.211/2518 ต้องมีค่าดัชนีความยาวไม่เกินร้อยละ 30

## 2) วัสดุมวลละเอียด

เป็นหินฝุ่นหรือที่ผ่านตะแกรงเบอร์ 4 (4.75 มิลิเมตร) คุณสมบัติของวัสดุมวลละเอียด เป็นตัวกำหนดขนาดคละรวมที่ได้จากการรวมหยาบ โดยเป็นไปตามมาตรฐานของกรมทางหลวง ซึ่งมีการแบ่งขั้นตอนการทดสอบดังนี้

- การทดสอบหาขนาดเม็ดวัสดุ (Gradation) โดยการร่อนผ่านตะแกรงแบบถัง (Wet Sieve) ตามมาตรฐานการทดสอบของกรมทางหลวงที่ ทล.-ท.205/2517
- การทดสอบค่าความถ่วงจำเพาะ (Specific Gravity) ตามมาตรฐานการทดสอบของกรมทางหลวงที่ ทล.-ท.209/2518
- การทดสอบความทนทาน (Soundness) โดยใช้โซเดียมซัลเฟตจำนวน 5 รอบ ส่วนที่ไม่คงทน (Loss) ต้องไม่เกินร้อยละ 9
- การทดสอบหาค่าทรัพย์สมมูลย์ (Sand Equivalent) ตามมาตรฐานการทดสอบของกรมทางหลวงที่ ทล.-ท.203/2515 จะต้องมีค่า Sand Equivalent ไม่น้อยกว่าร้อยละ 30

### 3.4 แอสฟัลต์คอนกรีต (Asphaltic Concrete)

เป็นวัสดุที่มีความสำคัญอย่างมากสำหรับผิวจราจรแบบยืดหยุ่น (Flexible Pavement) เพราะด้วยวัสดุที่นำมาใช้ในการผลิตแอสฟัลต์คอนกรีต (Asphaltic Concrete) จะมียางแอสฟัลต์ซีเมนต์ (AC 60 - 70) เป็นตัวยึดประสานให้มวลรวมยึดเกาะกันให้มีความแน่นและแข็งแรง สามารถรับน้ำหนักบรรทุกจากผิวจราจรได้และมีความยืดหยุ่นกับสภาพอากาศของประเทศไทย จึงต้องมีการคำนวณ และออกแบบส่วนผสมแอสฟัลต์คอนกรีต (Asphaltic Concrete) ให้มีความถูกต้องและเหมาะสมกับชนิดของมวลรวม

การออกแบบแอสฟัลต์คอนกรีต ได้จากวัสดุ 2 ชนิด คือวัสดุมวลรวมและแอสฟัลต์ซีเมนต์ (AC 60 - 70) โดยวัสดุมวลรวมที่นำมาใช้นี้ ได้จากการทดสอบและคำนวณทางนาดเม็ดของวัสดุ (Gradation) โดยผ่านตะแกรงแบบล่างและแบบไม่ล่างตามหัวข้อ 3.3 (การวิจัยครั้งนี้ใช้น้ำหนักวัสดุมวลรวมเท่ากับ 1,200 กรัม) เมื่อได้วัสดุมวลรวมแล้วนำวัสดุมวลรวมไปอบให้มีความร้อนไม่น้อยกว่า 160 องศาเซลเซียส ( $\pm 5$  องศาเซลเซียส) เพราะเพื่ออุณหภูมิบดอัดที่ 150 องศาเซลเซียส จากนั้นผสมมวลรวมให้เข้ากันแล้วทำการใส่แอสฟัลต์ซีเมนต์ตามที่ออกแบบโดยแอสฟัลต์ซีเมนต์ ต้องมีความหนาดที่ 170 เซนติเมตร แล้วทำการผสมโดยเร็วให้เข้ากันในเวลา 50 - 60 วินาที จากนั้นทำการบดอัดหันที่ในแบบโนลมารฐาน (แบบโนลต้องมีความร้อนอยู่ที่ 150 องศาเซลเซียส) โดยการวิจัยครั้งนี้เลือกใช้ปริมาณการจราจรชนิดหนาแน่นและชั้นทาง Wearing Course จะได้จำนวนการบดอัดที่ 75 ครั้ง จำนวน 2 หน้า โดยใช้ค้อนหนัก 10 ปอนด์ระยะตกระยะ 18 นิว เมื่อบดอัดเสร็จนำตัวอย่างทั้งให้เย็นเท่าอุณหภูมิท่องแล้วคันตัวอย่างออก เมื่อได้ตัวอย่างแอสฟัลต์คอนกรีต แล้วนำตัวอย่างไปชั่งในอากาศ ในน้ำ และชั่งในอากาศแบบอิ่มตัวผิวแห้ง จากนั้นนำตัวอย่างไปแช่ในอ่างควบคุมอุณหภูมิที่ 60 องศาเซลเซียส ประมาณ 30 - 40 นาที แล้วนำตัวอย่างไปทดสอบหาค่าการไหลและค่าเสถียรภาพด้วยเครื่องทดสอบแบบมาร์แซลล์ โดยสามารถแยกเป็นหัวข้อการทดสอบได้ดังนี้

- 1) ปริมาณยางแอสฟัลต์ซีเมนต์ (AC 60 - 70) ที่ใช้ในการทดสอบเท่ากับ 4.0 4.5 5.0 5.5 และ 6.0 เปอร์เซ็นต์โดยน้ำหนักของส่วนผสม
- 2) ทดสอบหาค่าเสถียรภาพแบบมาร์แซลล์ และการเคลื่อนตัวโดยบ่มตัวอย่างที่อุณหภูมิปกติ และ อุณหภูมิทดสอบ 60 องศาเซลเซียส ตามมาตรฐานการทดสอบของกรมทางหลวงที่ ทล.-ท.604/2517
- 3) ทดสอบหาค่าดัชนีความแข็งแรง (Strength Index) ของส่วนผสมแอสฟัลต์คอนกรีต ตามมาตรฐานการทดสอบกรมทางหลวงที่ ทล.-ท.413/2544

### 3.5 วัสดุผสมเพิ่ม

เมื่อได้ค่าแอสฟัลต์คอนกรีตที่เหมาะสมแล้ว จากนั้นจะทำการผสมเพิ่มด้วยวัสดุผสมเพิ่มที่ใช้ในการวิจัยครั้งนี้มีอยู่ 3 ชนิด ได้แก่

- 1) ปูนซีเมนต์ (Cement) ปอร์ตแลนด์ประเภทที่หนึ่ง
- 2) ฝุ่นหิน (Rock Dust) โดยนำฝุ่นหินที่เหลือจากการกระบวนการผลิตแอสฟัลต์คอนกรีต ดำเนลต์โโคกกรวด จำกัดเมือง จังหวัดนครราชสีมา
- 3) เถ้าโลยลิกไนต์ (Fly Ash) ที่นำมาจากโรงไฟฟ้าน้ำแม่เมือง จังหวัดลำปาง โดยวัสดุผสมเพิ่มทั้ง 3 ชนิดจะทำการทดสอบดังต่อไปนี้
  - 1) ทดสอบค่าความถ่วงจำเพาะปูนซีเมนต์ปอร์ตแลนด์ประเภทที่หนึ่ง (Specific Gravity Hydraulic Cement)
  - 2) ทดสอบค่าความถ่วงจำเพาะ (Specific Gravity) ของฝุ่นหิน (Rock Dust) และถ้าโลยลิกไนต์ (Fly Ash) ตามมาตรฐานการทดสอบของกรมทางหลวง ที่ ทล.-ท. 209/2518
  - 3) ปริมาณวัสดุผสมเพิ่ม ได้แก่ ปูนซีเมนต์ปอร์ตแลนด์ประเภทที่หนึ่ง ฝุ่นหิน และถ้าโลยลิกไนต์ ที่ใช้ในการทดสอบเท่ากับ 0.5 1.0 1.5 2.0 2.5 3.0 4.0 และ 5.0 เปอร์เซ็นต์โดยนำหนักของส่วนผสม
  - 4) ทดสอบหาค่าเสถียรภาพแบบมาร์แซลล์ และการเคลื่อนตัวโดยบ่อมตัวอย่างที่อุณหภูมิปกติ และ อุณหภูมิทดสอบ 60 องศาเซลเซียส ตามมาตรฐานการทดสอบกรมทางหลวงที่ ทล.-ท. 604/2517
  - 5) เมื่อได้ปริมาณการผสมเพิ่มด้วยปูนซีเมนต์ปอร์ตแลนด์ประเภทที่หนึ่ง ฝุ่นหิน และถ้าโลยลิกไนต์ที่เหมาะสมแล้ว ทำการทดสอบค่าโมดูลัสต้านทาน โดยวิธีแรงดึงทางอ้อม (Dynamic Indirect Tensile Stiffness Modulus)

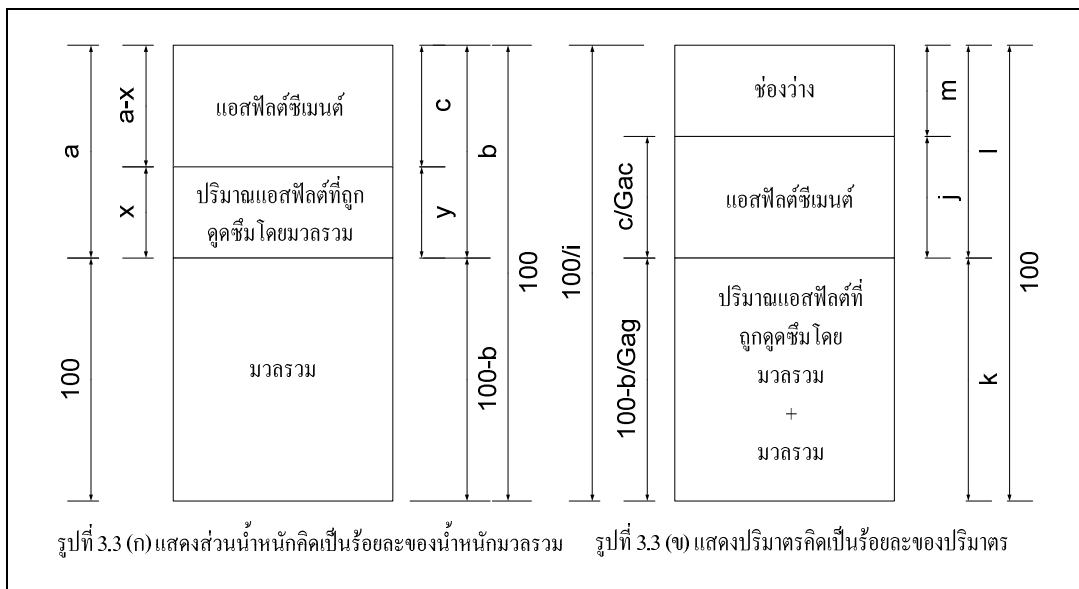


รูปที่ 3.2 เครื่องมือทดสอบค่าโนดูลัสต้านทาน โดยวิธีแรงดึงทางอ้อม

### 3.6 การวิเคราะห์ข้อมูล

เมื่อได้ค่าเบอร์เซ็นต์คงค้างของขนาดเม็ดวัสดุมวลรวมแล้ว ทำการหาอัตราส่วนคละรวมในการใช้ออกแบบแอสฟัลต์คอนกรีตโดยคู่ค่าที่ได้ให้อยู่ในเกณฑ์ข้อกำหนด จากนั้นให้นำอัตราส่วนคละรวมที่ได้มาทดสอบหาจำนวนแอสฟัลต์ซีเมนต์ที่เหมาะสมเพื่อเป็นเกณฑ์ในการออกแบบ โดยคูข้อมูลที่ได้จากการเขียนลงกราฟ

เมื่อได้ขนาดคละรวมจะใช้แอสฟัลต์ซีเมนต์ผสมเพิ่มตามที่ออกแบบไว้ซึ่งสามารถอธิบายถึงลักษณะของแอสฟัลต์คอนกรีตที่ได้ดังรูปที่ 3.1



รูปที่ 3.3 แสดงส่วนน้ำหนักคิดเป็นร้อยละของมวลรวมและปริมาตรคิดเป็นร้อยละของปริมาตร

รูปที่ 3.3(ก) เป็นการแสดงส่วนน้ำหนักก้อนแอสฟล็อกต่อก้อนกรีตคิดเป็นร้อยละของน้ำหนักมวลรวม กำหนดให้ด้านซ้ายแสดงถึงน้ำหนักมวลรวมเท่ากับ 100 โดย  $a$  เป็นน้ำหนักแอสฟล็อกซีเมนต์รวมกับปริมาณแอสฟล็อกที่ถูกคุกคามโดยมวลรวม และ  $x$  เป็นน้ำหนักแอสฟล็อกที่ถูกคุกคามโดยมวลรวม ส่วนด้านขวาแสดงถึงร้อยละของน้ำหนักทั้งหมด กำหนดให้  $b$  เป็นร้อยละของน้ำหนักแอสฟล็อกซีเมนต์รวมกับร้อยละปริมาณแอสฟล็อกที่ถูกคุกคามโดยมวลรวม ให้  $c$  เป็นร้อยละน้ำหนักแอสฟล็อกซีเมนต์ และ  $y$  เป็นร้อยละน้ำหนักแอสฟล็อกที่ถูกคุกคามโดยมวลรวม

รูปที่ 3.3(ข) เป็นการแสดงปริมาตรก้อนแอสฟล็อกต่อก้อนกรีต กำหนดให้ด้านซ้ายแสดงถึงปริมาตรทั้งหมดกำหนดให้เป็น  $100/i$  โดย  $100-b/Gag$  เป็นปริมาตรของปริมาณแอสฟล็อกที่ถูกคุกคามโดยมวลรวมกับมวลรวมกับมวลรวม และ  $c/Gac$  เป็นปริมาตรแอสฟล็อกซีเมนต์ ส่วนด้านขวาแสดงถึงร้อยละของปริมาตรทั้งหมด กำหนดให้  $k$  เป็นร้อยละปริมาตรของปริมาณแอสฟล็อกที่ถูกคุกคามโดยมวลรวมกับมวลรวม ให้  $l$  เป็นร้อยละปริมาตรช่องว่างกับแอสฟล็อกซีเมนต์ ให้  $j$  เป็นร้อยละปริมาตรของแอสฟล็อกซีเมนต์ และ  $m$  เป็นร้อยละปริมาตรช่องว่าง

เมื่อ  $a$  = ปริมาณแอสฟล็อกที่ใช้ผสม (ปรอร์เซ็นต์โดยมวลของวัสดุมวลรวม)

$x$  = ปริมาณแอสฟล็อกที่ถูกคุกคามโดยมวลรวม (ปรอร์เซ็นต์โดยมวลของวัสดุมวลรวม)

$y$  = ร้อยละของปริมาณแอสฟล็อกที่ถูกคุกคามโดยมวลรวม

$i$  = ความหนาแน่นของแอสฟล็อกต่อก้อนกรีต (กรัมต่อมิลลิลิตร)

จากรูปที่ 3.3 สามารถคำนวณได้สูตรสำคัญสำหรับหาค่าการวิเคราะห์ข้อมูล โดยสมการที่ (3.1) บอกถึงสูตรการหาค่าเฉลี่ยความถ่วงจำเพาะของมวลรวม สมการที่ (3.2) เป็นสมการหาเบอร์เช่นต์แอสฟัลต์โดยมวลของวัสดุมวลรวม สมการที่ (3.3) เป็นสมการหาค่าความถ่วงจำเพาะโดยรวม สมการที่ (3.4) เป็นสมการหาปริมาณแอสฟัลต์ที่ถูกดูดซึมโดยวัสดุมวลรวม สมการที่ (3.5) เป็นสมการหาปริมาณแอสฟัลต์ประสิทธิผลเป็นเบอร์เช่นต์โดยมวลของแอสฟัลต์คอนกรีต สมการที่ (3.6) เป็นสมการหาปริมาณแอสฟัลต์ประสิทธิผลโดยคิดเป็นเบอร์เช่นต์ปริมาตรของแอสฟัลต์คอนกรีต สมการที่ (3.7) เป็นสมการหาปริมาตรของวัสดุมวลรวมโดยคิดเป็นเบอร์เช่นต์ปริมาตรของแอสฟัลต์คอนกรีต สมการที่ (3.8) เป็นการหาปริมาตรช่องว่างระหว่างวัสดุมวลรวมโดยคิดเป็นเบอร์เช่นต์ปริมาตรของแอสฟัลต์คอนกรีต และสมการที่ (3.9) เป็นการหาปริมาตรช่องว่างอากาศคิดเป็นเบอร์เช่นต์โดยปริมาตรของแอสฟัลต์คอนกรีต จากสมการที่กล่าวมาสามารถแสดงสูตรการคำนวณได้ดังต่อไปนี้

#### ค่าเฉลี่ยความถ่วงจำเพาะมวลรวม (Average Specific Gravity Blend)

$$G_{ag} = \frac{100}{\left[ \frac{P_F}{G_F} + \frac{P_1}{G_1} + \frac{P_2}{G_2} + \frac{P_3}{G_3} + \frac{P_4}{G_4} \right]} \quad (3.1)$$

เมื่อ  $G_{ag}$  = ค่าเฉลี่ยความถ่วงจำเพาะมวลรวม

$P_F$  = ปริมาณวัสดุผสมแทรก (เบอร์เช่นต์โดยมวลวัสดุมวลรวม)

$P_1$  = ปริมาณวัสดุมวลรวมทินผุน (เบอร์เช่นต์โดยมวลวัสดุมวลรวม)

$P_2$  = ปริมาณวัสดุมวลรวมทิน 3/8 นิ้ว (เบอร์เช่นต์โดยมวลวัสดุมวลรวม)

$P_3$  = ปริมาณวัสดุมวลรวม 1/2 นิ้ว (เบอร์เช่นต์โดยมวลวัสดุมวลรวม)

$P_4$  = ปริมาณวัสดุมวลรวม 3/4 นิ้ว (เบอร์เช่นต์โดยมวลวัสดุมวลรวม)

$G_F$  = ความถ่วงจำเพาะวัสดุผสมแทรก

$G_1$  = ความถ่วงจำเพาะวัสดุมวลรวมทินผุน

$G_2$  = ความถ่วงจำเพาะวัสดุมวลรวม 3/8 นิ้ว

$G_3$  = ความถ่วงจำเพาะวัสดุมวลรวม 1/2 นิ้ว

$G_4$  = ความถ่วงจำเพาะวัสดุมวลรวม 3/4 นิ้ว

ปริมาณแอสฟลต์เป็นเปอร์เซ็นต์แอสฟลต์โดยมวลของวัสดุมวลรวม (% Asphalt by Mass of Mix)

$$b = \frac{100a}{(100 + a)} \quad (3.2)$$

เมื่อ  $b$  = ปริมาณแอสฟลต์ (เปอร์เซ็นต์แอสฟลต์โดยมวลของวัสดุมวลรวม)

ค่าความถ่วงจำเพาะโดยรวม (Virtual Specific Gravity)

$$G_v = \frac{(100 - b)}{\left[ \frac{100}{G_m} - \frac{b}{G_{ac}} \right]} \quad (3.3)$$

เมื่อ  $G_v$  = ค่าความถ่วงจำเพาะโดยรวม

$G_m$  = Theoretical Maximum Specific Gravity

$G_{ac}$  = ค่าความถ่วงจำเพาะแอสฟลต์ซีเมนต์

ปริมาณแอสฟลต์ที่ถูกดูดซึม โดยวัสดุมวลรวมเป็นเปอร์เซ็นต์โดยมวลของวัสดุมวลรวม

(Asphalt Lost by Absorption,  $A_{ac}$ )

$$x = 100 \frac{(G_v - G_{ag})}{(G \times G_{ag})} G_{ac} \quad (3.4)$$

เมื่อ  $x$  = ปริมาณแอสฟลต์ที่ถูกดูดซึม โดยวัสดุมวลรวม (คิดเป็นเปอร์เซ็นต์โดยมวลของวัสดุมวลรวม)

ปริมาณแอลฟ์ลต์ประสิทธิผลเป็นเปอร์เซ็นต์โดยมวลของแอลฟ์ลต์คอนกรีต

(% Effective Asphalt Cement by Mass of Mix)

$$c = b - \frac{x(100-b)}{100} \quad (3.5)$$

เมื่อ  $c$  = ปริมาณแอลฟ์ลต์ประสิทธิผล (คิดเป็นเปอร์เซ็นต์โดยมวลของแอลฟ์ลต์คอนกรีต)

ปริมาณแอลฟ์ลต์ประสิทธิผลเป็นเปอร์เซ็นต์โดยปริมาตรของแอลฟ์ลต์คอนกรีต

(% Volume of Effective Asphalt Cement by Volume of Mix)

$$j = \frac{c \times i}{G_{ag}} \quad (3.6)$$

เมื่อ  $j$  = ปริมาณแอลฟ์ลต์ประสิทธิผล (คิดเป็นเปอร์เซ็นต์โดยปริมาตรของแอลฟ์ลต์คอนกรีต)

ปริมาตรของวัสดุมวลรวมเป็นเปอร์เซ็นต์โดยปริมาตรของแอลฟ์ลต์คอนกรีต

(% Volume of Aggregate by Volume of Mix)

$$k = \frac{(100-b)i}{G_{ag}} \quad (3.7)$$

เมื่อ  $k$  = ปริมาตรของวัสดุมวลรวม (คิดเป็นเปอร์เซ็นต์โดยปริมาตรของแอลฟ์ลต์คอนกรีต)

ปริมาตรช่องว่างระหว่างวัสดุมวลรวมเป็นเปอร์เซ็นต์โดยปริมาตรของแอลฟ์ลต์คอนกรีต

(% Voids in the Mineral Aggregate by Volume of Mix)

$$l = 100 - k \quad (3.8)$$

เมื่อ  $l$  = ปริมาตรช่องว่างระหว่างวัสดุมวลรวม (คิดเป็นเปอร์เซ็นต์โดยปริมาตรของแอสฟัลต์คอนกรีต)

ปริมาตรช่องว่างอากาศเป็นเปอร์เซ็นต์โดยปริมาตรของแอสฟัลต์คอนกรีต  
(% Air Voids by Volume of Mix)

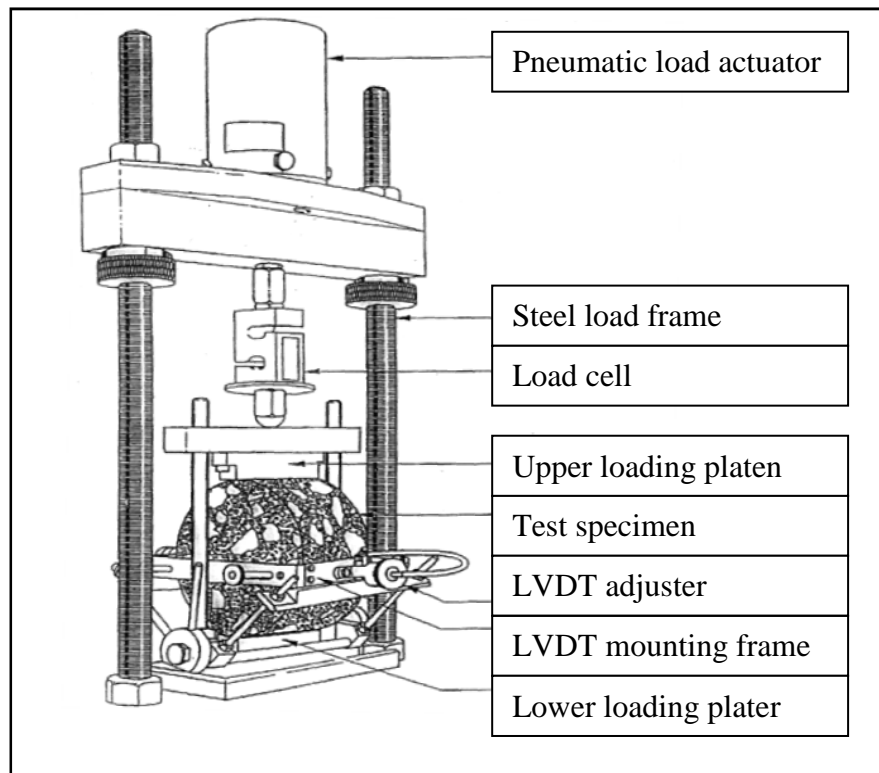
$$m = l - j \quad (3.9)$$

เมื่อ  $m$  = ปริมาตรช่องว่างอากาศ (คิดเป็นเปอร์เซ็นต์โดยปริมาตรของแอสฟัลต์คอนกรีต)

จากสมการที่ได้สามารถวิเคราะห์หาความสัมพันธ์โดยเขียนลงกราฟระหว่าง แอสฟัลต์ซีเมนต์ (AC 60 - 70) กับ ค่าความหนาแน่น (Density) ค่าเปอร์เซ็นต์ช่องว่างอากาศ (%Air Voids) ค่าการไหล (Flow) ค่าเสถียรภาพ (Stability) ค่าเปอร์เซ็นต์ช่องว่างอากาศส่วนที่ถูกแทนที่ด้วยแอสฟัลต์ (%Voids Filled with Bitumen, VFB.) และค่าเปอร์เซ็นต์ช่องว่างระหว่างวัสดุมวลรวม (%Voids in Mineral Aggregate, VMA.) จากนั้นวิเคราะห์ข้อมูลที่ได้จากการโดยใช้มาตรฐานกรมทางหลวงชนิดการจราจรหนาแน่นและชั้นทาง Wearing Course ตามมาตรฐานกรมทางหลวงที่ ท.ล.-ม408/2532

เมื่อได้ปริมาณวัสดุผสมเพิ่มจากการวิเคราะห์ข้อมูลด้วยวิธีมาร์แซลล์ที่เหมาะสมแล้ว จะนำแอสฟัลต์คอนกรีตธรรมชาติและที่ผสมเพิ่มทั้ง 3 ชนิดมาทดสอบหาค่าโมดูลัสต้านทานโดยวิธีแรงดึงทางอ้อม (Dynamic Indirect Tensile Stiffness Modulus) เพื่อทดสอบหาค่าในการต้านทานกำลังแรงดึงทางอ้อม โดยมีลักษณะการทดสอบดังรูปที่ 3.4

การทดสอบจะนำก้อนตัวอย่างที่ออกแบบแบบมาร์แซลล์ มาอบที่ตู้อบอุณหภูมิ 40 องศาเซลเซียส ประมาณ 60 - 90 นาที จากนั้นนำตัวอย่างไปประกอบในเครื่องทดสอบแล้วตรวจสอบ LVDT ว่าอยู่ในตำแหน่งทดสอบหรือไม่ ถ้าไม่ให้ทำการปรับแก้ เพราะ LVDT เป็นตัววัดค่าโมดูลัสต้านทานโดยวิธีแรงดึงทางอ้อม จากนั้นปล่อยโหลดทดสอบโดยเครื่องคอมพิวเตอร์จะทำการคำนวณหาแรงที่เหมาะสมต่อ ก้อนตัวอย่างแล้วแสดงผลทางรูปกราฟ เมื่อได้แรงที่เหมาะสมแล้ว คอมพิวเตอร์จะทำการปล่อยโหลดมาอย่างน้อย 5 ครั้ง ซึ่งการทดสอบแต่ละครั้งจะใช้ 2 ด้าน เพื่อนำค่าที่ได้มาเฉลี่ย โดยผลทดสอบได้จากสูตรการคำนวณที่ 3.10



รูปที่ 3.4 แสดงลักษณะการทดสอบแบบค่าโมดูลัสต้านทานโดยวิธีแรงดึงทางอ้อม  
(ห้องทดสอบวัสดุการทำงานมหาวิทยาลัยนเรศวร)

ค่าโมดูลัสต้านทานโดยวิธีแรงดึงทางอ้อม (Indirect Tensile Stiffness Modulus ( $S_m$ ) in MPa)

$$S_m = \frac{L}{(D \times t)} \times (v + 0.27) \quad (3.10)$$

- เมื่อ  $S_m$  = ค่าโมดูลัสต้านทานโดยวิธีแรงดึงทางอ้อม  
 $L$  = แรงกระทำในแนวตั้ง (นิวตัน)  
 $D$  = เส้นผ่านศูนย์กลางก้อนตัวอย่างแอสฟัลต์คอนกรีต (มม.)  
 $t$  = ความหนาของก้อนตัวอย่าง (มม.)  
 $v$  = ค่าอัตราส่วน (Poisson's ration) ของอุณหภูมิทดสอบ

## บทที่ 4

### ผลการวิเคราะห์ข้อมูลและการอภิปรายผล

ในบทนี้จะกล่าวถึงผลการทดสอบที่ได้จากห้องปฏิบัติการ โดยการนำปูนซีเมนต์ปอร์ตแลนด์ประเภทที่หนึ่ง ฝุ่นหิน (Rock Dust) และถ้าโลอลิกไนต์ (Fly Ash) มาเป็นวัสดุผสมเพิ่ม ว่าอยู่ในเกณฑ์ข้อกำหนดตามวัตถุประสงค์ที่ได้กำหนดมาแล้วในบทที่ 1 พร้อมทั้งค่าใช้จ่ายของวัสดุผสมเพิ่มทั้ง 3 ชนิด

#### 4.1 ผลการทดสอบแอสฟัลต์ซีเมนต์ (AC 60 - 70)

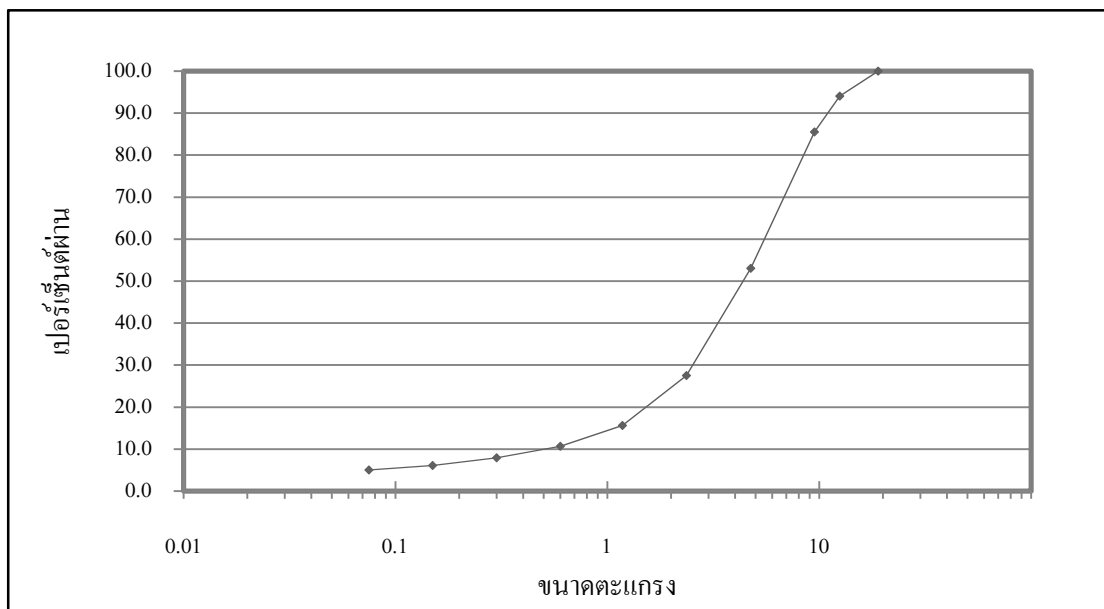
การทดสอบหาค่าความถ่วงจำเพาะของแอสฟัลต์ซีเมนต์ (AC 60 - 70) ซึ่งจะใช้เป็นข้อมูลในการคำนวณหาปริมาตรของแอสฟัลต์ซีเมนต์แสดงในตารางที่ 4.1

ตารางที่ 4.1 ค่าความถ่วงจำเพาะแอสฟัลต์ซีเมนต์ (AC 60 - 70) ที่อุณหภูมิ 25 องศาเซลเซียส และ เปอร์เซ็นต์การดูดซึมยาง

รายการทดสอบ	ค่าที่วัดได้	หน่วย
ค่าความถ่วงจำเพาะแอสฟัลต์ซีเมนต์ (AC 60 - 70)	1.03	-
เปอร์เซ็นต์การดูดซึมยาง	0.25	เปอร์เซ็นต์

#### 4.2 ผลการทดสอบมวลรวม

มวลรวมที่ได้นำมาจากการทดสอบตามมาตรฐาน ISO 13673-2 คือ มวลรวมของน้ำและสารก่อปักช่อง จังหวัดนครราชสีมา โดยผ่านการเพาร์อันจาก โรงผสมแอสฟัลต์คอนกรีต ตำบลโภคราช จังหวัดนครราชสีมา ซึ่งแบ่งออกเป็น 2 ชนิดคือ มวลรวมหายนะและมวลรวมละเอียด รูปที่ 4.1 แสดงผลการทดสอบขนาดคงที่ที่ได้จากการร่อนผ่านตะแกรงของวัสดุมวลรวมแต่ละขนาด ข้อมูลนี้นำมาคำนวณเพื่อเป็นแนวทางในการเลือกให้ได้แอสฟัลต์คอนกรีตที่เหมาะสมตามข้อกำหนด งานนี้จะนำวัสดุมวลรวมมาทดสอบตามมาตรฐานที่กำหนด ซึ่งทำการทดสอบที่ห้องปฏิบัติการวัสดุการทาง (F5) มหาวิทยาลัยเทคโนโลยีสุรนารี และส่วนตรวจสอบวิเคราะห์ทางวิศวกรรม กรมทางหลวงที่ 8 ตารางที่ 4.2 แสดงผลการทดสอบมวลรวมที่ใช้ในการวิจัยนี้



รูปที่ 4.1 กราฟแสดงขนาดคละรวม

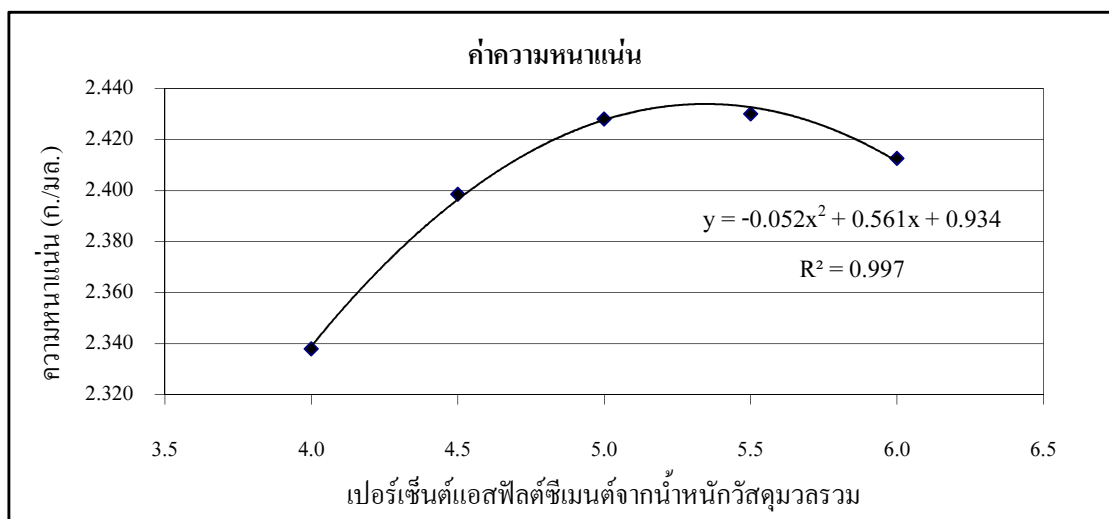
ตารางที่ 4.2 ผลการทดสอบมวลรวม

รายการทดสอบ	มวลรวม 1			มวลรวม			รวม
	ผ่าน # 200	ค้าง # 200	รวม	ถัง 2	ถัง 3	ถัง 4	
อัตราส่วนผสม (%)	-	-	54	19	12	15	100
ค่าความถ่วงจำเพาะ GB	-	2.698	2.703	2.725	2.758	2.722	2.717
ค่าความถ่วงจำเพาะ GA	2.753	2.760	2.756	2.770	2.788	2.761	2.763
Effective Specific Gravity	-	-	-	-	-	-	2.734
การดูดซึมนำ (%)	-	0.82	-	0.59	0.39	0.52	-
ดัชนีความแบบ (%)				26	28	30	28
ดัชนีความยาว (%)				7	28	23	18
การดูดซึมยางของวัสดุมวลรวม (%)							0.25
ค่าความสึกหรอ (%)	มวลรวม 3/4 = 31.23 %						
ค่าความทนทาน (%)	มวลรวม 3/4 = 0.95 % , มวลรวมละเอียด = 4.1 %						
ค่ารายสมมูล (%)	71%						

#### 4.3 ผลการทดสอบการเลือกปริมาณยางในแอสฟัลต์คอนกรีต

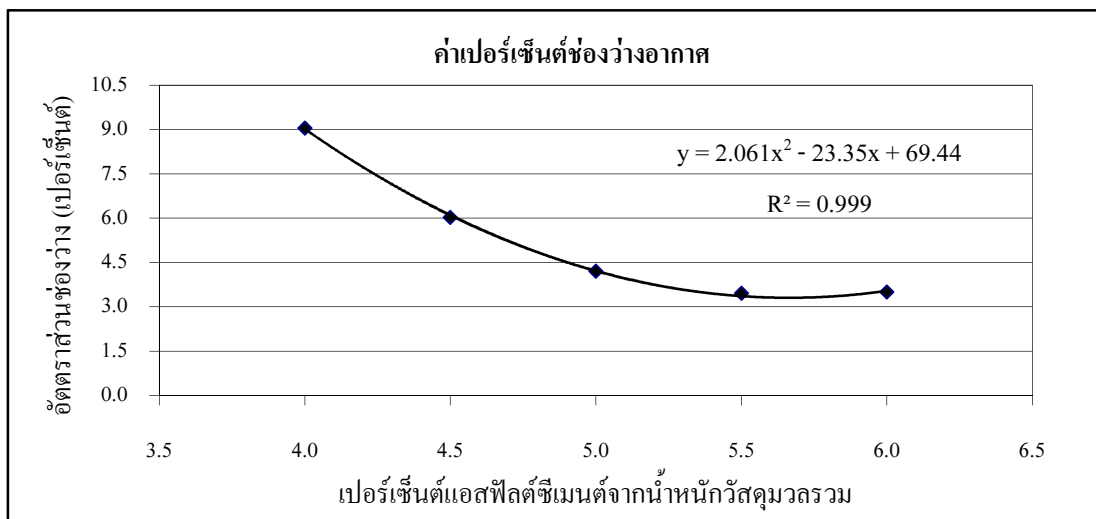
เมื่อนำยางแอสฟัลต์ซีเมนต์มาทดสอบในมวลรวมที่มีคุณสมบัติตามตารางที่ 4.2 (ตรงตามมาตรฐานกรมทางหลวง) ทำการทดสอบแอสฟัลต์ซีเมนต์ในอัตราส่วน 4.0 4.5 5.0 5.5 6.0 เปอร์เซ็นต์ตามลำดับ โดยใช้ตัวอย่างละ 5 ก้อน เลือกก้อนที่เหมาะสมมา 3 ก้อนเพื่อเฉลี่ยผลทดสอบ และทดสอบด้วยเครื่องทดสอบมาร์แซลล์ ตามขั้นตอนในบทที่ 3 จากนั้นนำผลทดสอบมาแสดง ความสัมพันธ์ในรูปกราฟ

โดยการวิเคราะห์ข้อมูลจะใช้เส้นแนวโน้มแบบโพลีโนเมียลลำดับที่ 2 สำหรับการออกแบบ ส่วนทดสอบแอสฟัลต์คอนกรีต ได้ผลของการทดสอบดังแสดงในรูปที่ 4.2 ถึงรูปที่ 4.7



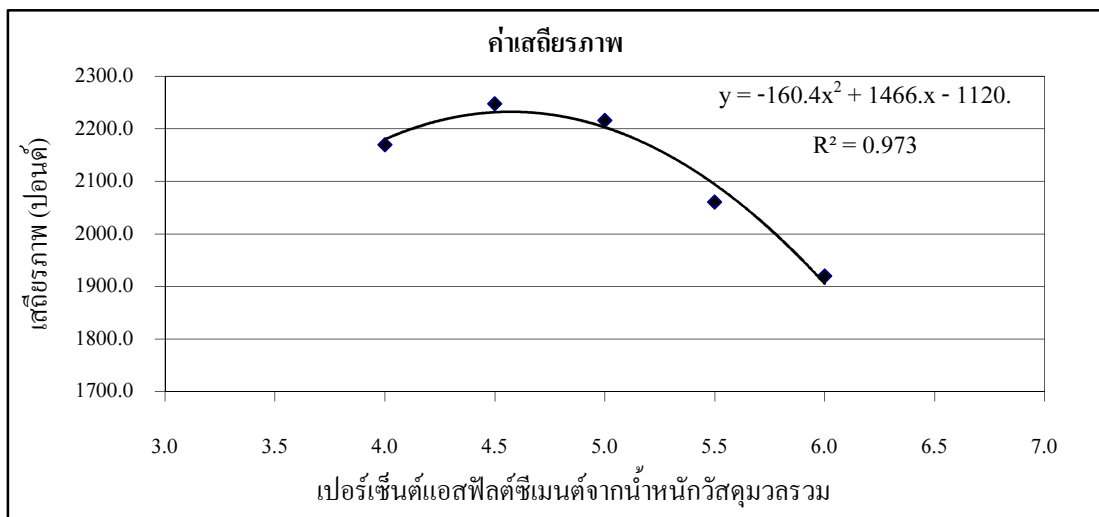
รูปที่ 4.2 ความสัมพันธ์ระหว่างความหนาแน่นกับเปอร์เซ็นต์แอสฟัลต์ซีเมนต์

จากรูปที่ 4.2 เป็นการแสดงความสัมพันธ์ระหว่างความหนาแน่นกับเปอร์เซ็นต์แอสฟัลต์ซีเมนต์ ซึ่งผลการทดสอบจะพบว่าการเพิ่มปริมาณแอสฟัลต์ซีเมนต์ในช่วง 4.0 ถึง 5.0 เปอร์เซ็นต์ นั้นความหนาแน่นจะเพิ่มขึ้น เนื่องจากแอสฟัลต์ซีเมนต์สามารถเคลือบวัสดุมวลรวมได้ดีแต่เมื่อมีปริมาณแอสฟัลต์ซีเมนต์เพิ่มขึ้นถึงระดับหนึ่ง แอสฟัลต์ซีเมนต์ไม่สามารถเคลือบวัสดุมวลรวมได้เพิ่มอีก ทำให้ความหนาแน่นลดลง จึงได้สมการ  $y = -0.0525x^2 + 0.561x + 0.9346$  เลือกใช้แอสฟัลต์ซีเมนต์ 4.8 เปอร์เซ็นต์ จะได้ค่าความหนาแน่นอยู่ที่ 2.418 กรัมต่omm<sup>3</sup>



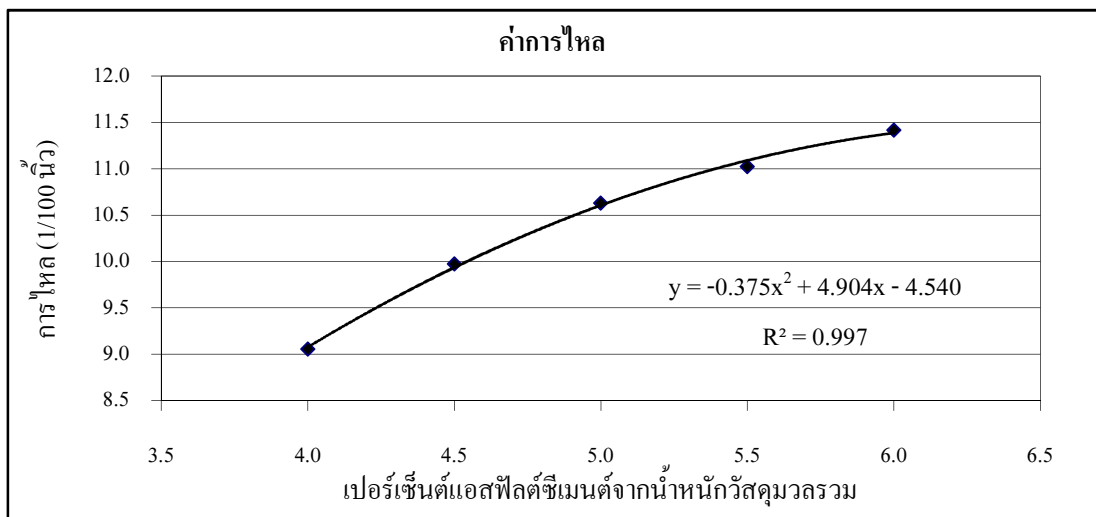
รูปที่ 4.3 ความสัมพันธ์ระหว่างค่าเบอร์เร็นต์ช่องว่างอากาศกับเบอร์เร็นต์แอสฟัลต์ซีเมนต์

จากรูปที่ 4.3 เป็นการแสดงความสัมพันธ์ระหว่างค่าเบอร์เร็นต์ช่องว่างอากาศกับเบอร์เร็นต์แอสฟัลต์ซีเมนต์ซึ่งผลการทดสอบพบว่า การที่เพิ่มปริมาณแอสฟัลต์ซีเมนต์ที่ 4.0 ถึง 5.5 เบอร์เร็นต์ค่าอัตราส่วนช่องว่างจะลดลงตามลำดับ และอัตราส่วนช่องว่างจะเริ่มคงที่ เพราะแอสฟัลต์ซีเมนต์ไม่สามารถเคลือบวัสดุมวลรวมได้เพิ่มอีกโดยมีความสัมพันธ์กับค่าความหนาแน่น จึงได้สมการ  $y = 2.0618x^2 - 23.356x + 69.449$  เลือกใช้แอสฟัลต์ซีเมนต์ 4.8 เบอร์เร็นต์ จะได้ค่าเบอร์เร็นต์ช่องว่างอากาศอยู่ที่ 4.8 เบอร์เร็นต์ (ข้อกำหนดอยู่ระหว่าง 3 - 5เบอร์เร็นต์)



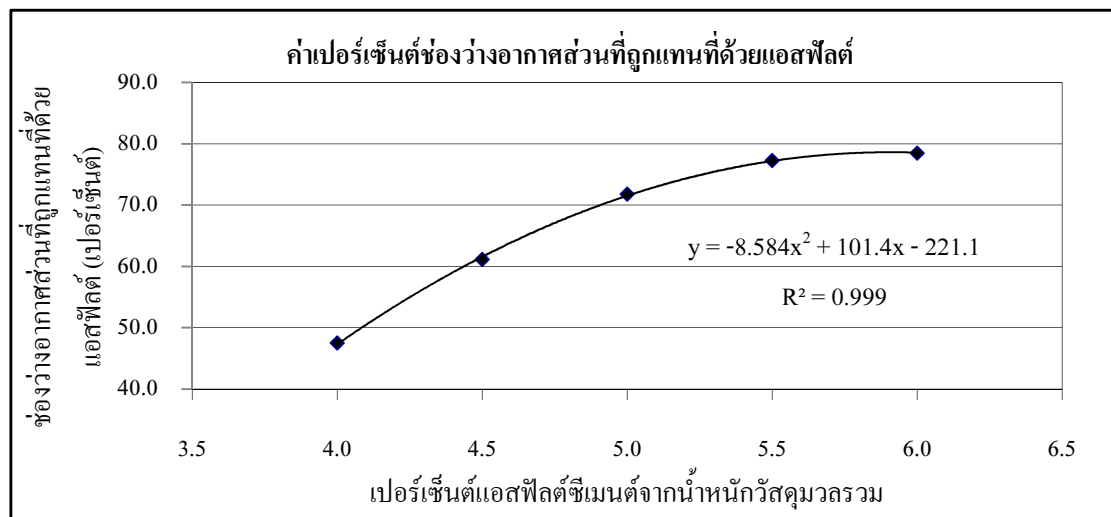
รูปที่ 4.4 ความสัมพันธ์ระหว่างค่าเสถียรภาพกับเบอร์เซ็นต์แอสฟล็อกซีเมนต์

จากรูปที่ 4.4 เป็นการแสดงความสัมพันธ์ระหว่างค่าเสถียรภาพกับเบอร์เซ็นต์แอสฟล็อกซีเมนต์ซึ่งผลการทดสอบพบว่า การเพิ่มปริมาณแอสฟล็อกซีเมนต์ในช่วง 4.0 ถึง 5.0 เบอร์เซ็นต์ แอสฟล็อกซ์องกริตจะมีเสถียรภาพที่ดีเพราะปริมาณแอสฟล็อกซีเมนต์เคลือบวัสดุมวลรวมได้เหมาะสม แต่เมื่อเพิ่มปริมาณแอสฟล็อกซีเมนต์เพิ่มขึ้นจะทำให้แอสฟล็อกซีเมนต์เคลือบวัสดุมวลรวมมากเกินไปทำให้ค่าเสถียรภาพลดลง จึงได้สมการ  $y = -160.42x^2 + 1466.8x - 1120.5$  เลือกใช้ แอสฟล็อกซีเมนต์ 4.8 เบอร์เซ็นต์ จะได้ค่าเสถียรภาพอยู่ที่ 2,224 ปอนด์ (ข้อกำหนดไม่น้อยกว่า 1,800 ปอนด์)



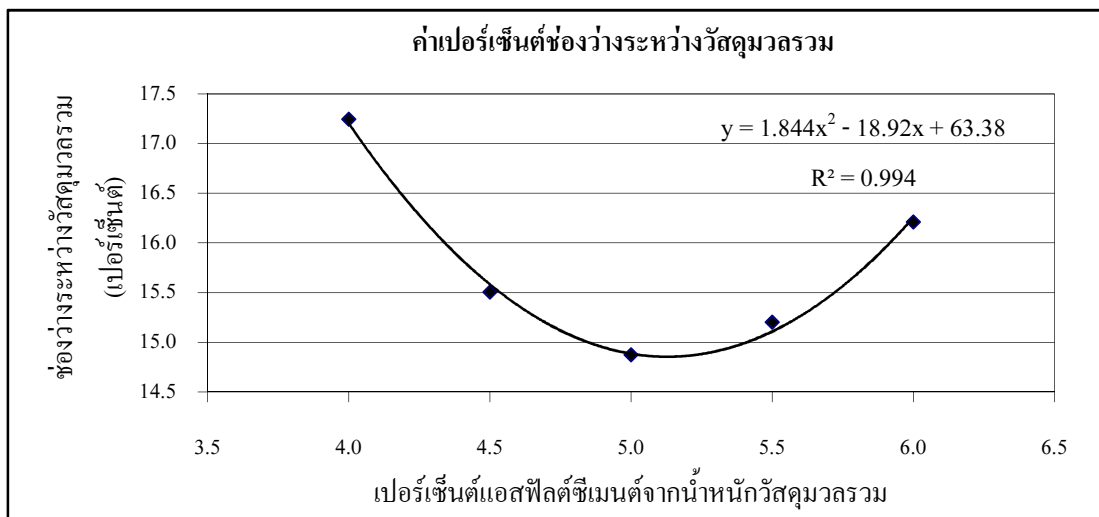
รูปที่ 4.5 ความสัมพันธ์ระหว่างค่าการไหลดกับเปอร์เซ็นต์แอลฟ์ล็อกซ์เมนต์

จากรูปที่ 4.5 เป็นการแสดงความสัมพันธ์ระหว่างค่าการไหลดกับเปอร์เซ็นต์แอลฟ์ล็อกซ์เมนต์ซึ่งผลการทดสอบพบว่า การเพิ่มปริมาณแอลฟ์ล็อกซ์เมนต์ในวัสดุมวลรวมช่วง 4.0 ถึง 6.0 เปอร์เซ็นต์นั้นจะมีค่าการไหลดเพิ่มขึ้นอย่างต่อเนื่อง เพราะแอลฟ์ล็อกซ์เมนต์จะช่วยเพิ่มการไหลดของแอลฟ์ล็อกซ์คอนกรีต จึงได้สมการ  $y = -0.375x^2 + 4.9044x - 4.5407$  เลือกใช้แอลฟ์ล็อกซ์เมนต์ 4.8 เปอร์เซ็นต์ จะได้ค่าการไหลดอยู่ที่ 10 (0.01นิ้ว) (ข้อกำหนดอยู่ระหว่าง 8-16 (0.01นิ้ว))



รูปที่ 4.6 ความสัมพันธ์ระหว่างค่าเบอร์เซ็นต์ช่องว่างอากาศส่วนที่ถูกแทนที่ด้วยแอสฟล็อกต่อกับเบอร์เซ็นต์แอสฟล็อกซีเมนต์

จากรูปที่ 4.6 เป็นการแสดงความสัมพันธ์ระหว่างค่าเบอร์เซ็นต์ช่องว่างอากาศส่วนที่ถูกแทนที่ด้วยแอสฟล็อกต่อกับเบอร์เซ็นต์แอสฟล็อกซีเมนต์ซึ่งผลการทดสอบพบว่า การที่เพิ่มปริมาณแอสฟล็อกซีเมนต์ที่ 4.0 ถึง 5.5 เบอร์เซ็นต์ค่าเบอร์เซ็นต์ช่องว่างอากาศส่วนที่ถูกแทนที่ด้วยแอสฟล็อกจะเพิ่มขึ้นตามลำดับ และจะเริ่มคงที่เมื่อปริมาณแอสฟล็อกซีเมนต์อยู่ที่ 6.0 เบอร์เซ็นต์ เพราะแอสฟล็อกซีเมนต์ไม่สามารถเคลือบวัสดุมวลรวมได้เพิ่มอีกโดยมีความสัมพันธ์กับค่าอัตราส่วนช่องว่าง จึงได้สมการ  $y = -8.584x^2 + 101.45x - 221.11$  เลือกใช้แอสฟล็อกซีเมนต์ 4.8 เบอร์เซ็นต์ จะได้ค่าเบอร์เซ็นต์ช่องว่างอากาศส่วนที่ถูกแทนที่ด้วยแอสฟล็อกอยู่ที่ 68.1 เบอร์เซ็นต์



รูปที่ 4.7 ความสัมพันธ์ระหว่างค่าเบอร์เซ็นต์ช่องว่างระหว่างวัสดุมวลรวมกับเบอร์เซ็นต์แอสฟล็อกซีเมนต์

จากรูปที่ 4.7 แสดงความสัมพันธ์ระหว่างค่าเบอร์เซ็นต์ช่องว่างระหว่างวัสดุมวลรวมกับเบอร์เซ็นต์แอสฟล็อกซีเมนต์จากการทดสอบพบว่า ช่วงการเพิ่มปริมาณแอสฟล็อกซีเมนต์ที่ 4.0 ถึง 5.0 เบอร์เซ็นต์ ช่องว่างระหว่างวัสดุมวลรวมจะลดลง เพราะแอสฟล็อกซีเมนต์จะช่วยการยึดเกาะระหว่างวัสดุมวลรวมได้ดีขึ้น แต่ถ้าเพิ่มมากขึ้นจะทำให้แอสฟล็อกซีเมนต์เคลือบวัสดุมวลรวมมากเกินไปทำให้ช่องว่างระหว่างวัสดุมวลรวมเพิ่มขึ้นเนื่องจากแอสฟล็อกซีเมนต์จะดันให้วัสดุมวลรวมห่างกัน จึงได้สมการ  $y = 1.8449x^2 - 18.924x + 63.384$  เลือกใช้แอสฟล็อกซีเมนต์ 4.8 เบอร์เซ็นต์ จะได้ค่าเบอร์เซ็นต์ช่องว่างระหว่างวัสดุมวลรวมอยู่ที่ 15 เบอร์เซ็นต์ (ข้อกำหนดไม่น้อยกว่า 14 เบอร์เซ็นต์)

การพิจารณาเลือกสัดส่วนแอสฟล็อกซีเมนต์ที่เหมาะสม จะต้องพิจารณาคุณสมบัติของแอสฟล็อกซีเมนต์ที่ 6 ประการ ให้ตรงตามมาตรฐานกรมทางหลวงที่ ทล.-ม408/2532 ชั้นทาง Wearing Course การศึกษาเลือกใช้แอสฟล็อกซีเมนต์ที่ 4.8 เบอร์เซ็นต์ จะมีความเหมาะสมและอยู่ในเกณฑ์ข้อกำหนดเนื่องจาก ค่าเบอร์เซ็นต์ช่องว่างอาจมีผลทดสอบเท่ากับ 4.8 เบอร์เซ็นต์ อยู่ในช้อกำหนด (อยู่ระหว่าง 3 - 5 เบอร์เซ็นต์) ค่าเสถียรภาพเท่ากับ 2,224 ปอนด์ (ไม่น้อยกว่า 1,800 ปอนด์) ค่าการไหลดเท่ากับ  $10 \frac{1}{100}$  นิวตัน อยู่ในช้อกำหนด (อยู่ระหว่าง  $8-16 \frac{1}{100}$  นิวตัน) ค่าเบอร์เซ็นต์ช่องว่างระหว่างวัสดุมวลรวมเท่ากับ 15 เบอร์เซ็นต์ (ไม่น้อยกว่า 14 เบอร์เซ็นต์) ดังแสดงในตารางที่ 4.3

ตารางที่ 4.3 ผลทดสอบแอสฟัลต์คอนกรีตที่แอสฟัลต์ซีเมนต์ 4.8 เปอร์เซ็นต์

การทดสอบ	หน่วย	ผลทดสอบ	มาตรฐาน
ค่าความหนาแน่น	กรัมต่อมิลลิลิตร	2.418	-
ค่าเปอร์เซ็นต์ช่องว่างอากาศ	เปอร์เซ็นต์	4.8	3 - 5
ค่าเสถียรภาพ	ปอนด์	2,224	ไม่น้อยกว่า 1,800
ค่าการไหล	1/100นิว	10	8 - 16
ค่าเปอร์เซ็นต์ช่องว่างอากาศส่วนที่ถูกแทนที่ด้วยแอสฟัลต์	เปอร์เซ็นต์	68.1	-
ค่าเปอร์เซ็นต์ช่องว่างระหว่างวัสดุมวลรวม	เปอร์เซ็นต์	15	ไม่น้อยกว่า 14

#### 4.4 ผลการทดสอบวัสดุผสมเพิ่ม

ผลการทดสอบวัสดุผสมเพิ่มซึ่งประกอบด้วย ซีเมนต์ ผุนหิน และถ้าโลยลิกไนต์ แสดงดังตารางที่ 4.4 (ค่าความถ่วงจำเพาะ) และตารางที่ 4.5 (ค่าการร่อนผ่านตะแกรง) จากนั้นทำการทดสอบหาคุณสมบัติทางเคมีและคุลักษณะของรูปร่างวัสดุผสมแทรกทั้ง 3 ชนิดทำการทดสอบที่ห้องทดสอบวัสดุการทาง (F5) และฝ่ายวิเคราะห์ด้วยเครื่องมือ (F1) มหาวิทยาลัยเทคโนโลยีสุรนารี

ตารางที่ 4.4 ผลทดสอบค่าความถ่วงจำเพาะ

ชนิด	ค่าความถ่วงจำเพาะ
ซีเมนต์ ที่อุณหภูมิ 27 องศาเซลเซียส	3.150
ผุนหิน ที่อุณหภูมิ 30 องศาเซลเซียส	2.719
ถ้าโลยลิกไนต์ ที่อุณหภูมิ 30 องศาเซลเซียส	2.441

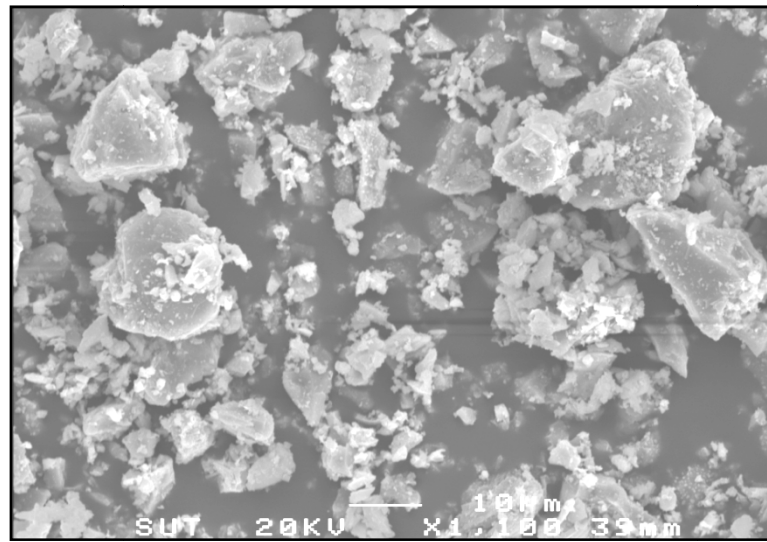
ตารางที่ 4.5 ผลทดสอบการร่อนผ่านตะแกรง

ตะแกรง	เปอร์เซ็นต์ผ่าน		
	ซีเมนต์	ฝุ่นหิน	ถ้าโลยลิกไนต์
#30	100.0	100.0	100.0
#50	99.3	100.0	99.5
#100	90.0	97.9	93.7
#200	71.5	85.7	76.7

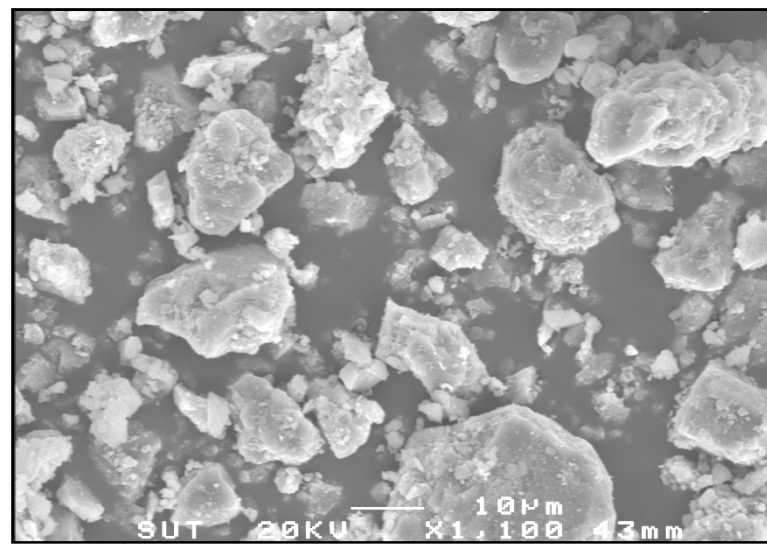
ตารางที่ 4.6 คุณสมบัติทางเคมีของซีเมนต์ ฝุ่นหิน และถ้าโลยลิกไนต์

องค์ประกอบทางเคมี (%)	ซีเมนต์	ฝุ่นหิน	ถ้าโลยลิกไนต์
แคลเซียมออกไซด์ (CaO)	76.16	92.35	10.03
ซิลิคอนไดออกไซด์ ( $\text{SiO}_2$ )	7.81	1.05	20.08
แมกนีเซียมออกไซด์ (MgO)	1.37	0.00	1.27
อะลูมิเนียมไดออกไซด์ ( $\text{Al}_2\text{O}_3$ )	1.09	0.34	44.13
ไอรอนออกไซด์ ( $\text{Fe}_2\text{O}_3$ )	2.15	0.36	2.01
ซัลเฟอร์ไตรอกไซด์ ( $\text{SO}_3$ )	0.85	0.49	0.21
โซเดียมออกไซด์ ( $\text{Na}_2\text{O}$ )	0.28	0.11	0.22
โพแทสเซียมออกไซด์ ( $\text{K}_2\text{O}$ )	2.06	0.22	2.17
การสูญเสียเนื้องจากการเผาไหม้ (LOI)	8.03	41.25	19.17

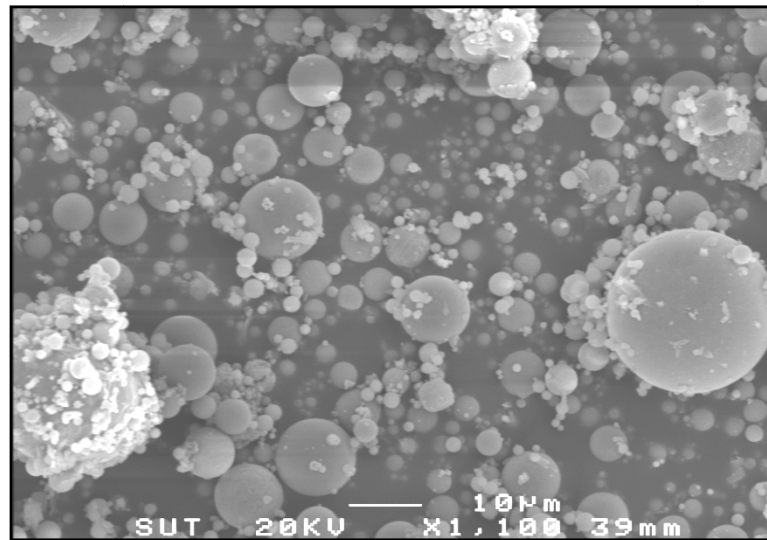
ปัจจัยที่มีผลต่อการรับกำลังอัดที่สำคัญได้แก่ แคลเซียมออกไซด์ (CaO) และซิลิคอนไดออกไซด์ ( $\text{SiO}_2$ ) จะเห็นได้ว่า ซีเมนต์และฝุ่นหินมีปริมาณแคลเซียมออกไซด์ (CaO) มีอยู่ในปริมาณที่สูง สำหรับถ้าโลยลิกไนต์จะมีซิลิคอนไดออกไซด์ ( $\text{SiO}_2$ ) สูง เช่นกัน ดังนั้นซีเมนต์ ฝุ่นหิน และถ้าโลยลิกไนต์ เมื่อนำมาเป็นวัสดุผสมเพิ่มจะช่วยให้แอสฟัลต์คงกรีดมีค่าเสถียรภาพเพิ่มขึ้นได้



รูปที่ 4.8 ลักษณะรูปร่างของซีเมนต์กำลังขยาย 1,100 เท่า



รูปที่ 4.9 ลักษณะรูปร่างของผุนหินกำลังขยาย 1,100 เท่า



รูปที่ 4.10 ลักษณะรูปร่างของถ้าloyลิกไนต์กำลังขยาย 1,100 เท่า

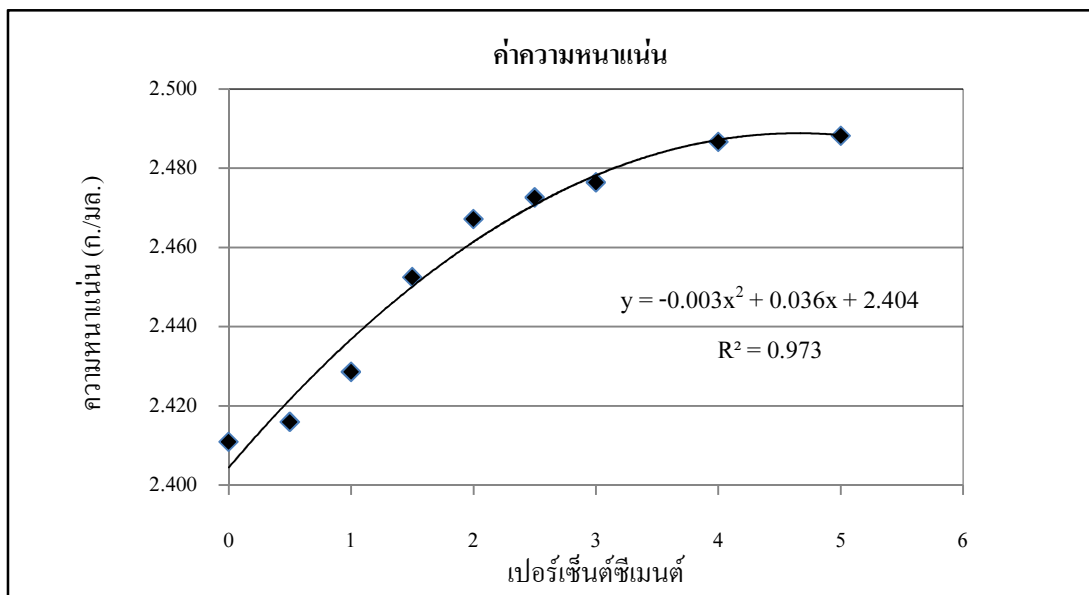
จากการทดสอบร่อนผ่านตะแกรงขนาดของฝุ่นหินจะมีความละเอียดมากกว่า ซีเมนต์และถ้าloyลิกไนต์ ทำให้พบว่าฝุ่นหินจะดูดซึมแอสฟัลต์ได้ดีเมื่อมีน้ำหนักที่เท่ากันพื้นผิวของฝุ่นหินจะมีมากกว่า ซีเมนต์และถ้าloyลิกไนต์

จากรูปการทดสอบ Scanning Electron Microscope จะเห็นว่าภาพการขยาย 1,100 เท่าของซีเมนต์จะมีลักษณะเป็นเหลี่ยมและชั้น ส่วนฝุ่นหินจะมีลักษณะคล้ายซีเมนต์คือมีลักษณะเป็นเหลี่ยมและชั้นหลายชั้นเหมือนชั้นหิน และถ้าloyลิกไนต์จะมีลักษณะกลม ทำให้พบว่าลักษณะของซีเมนต์และฝุ่นหินเมื่อนำไปผสมในแอสฟัลต์คอนกรีตจะถูกแอสฟัลต์ซีเมนต์เคลือบได้มากกว่าถ้าloyลิกไนต์และด้วยลักษณะเหลี่ยมจะช่วยในการรับน้ำหนักได้ดีกว่าลักษณะกลม เพราะจะเกลี้ยงตัวได้ยาก

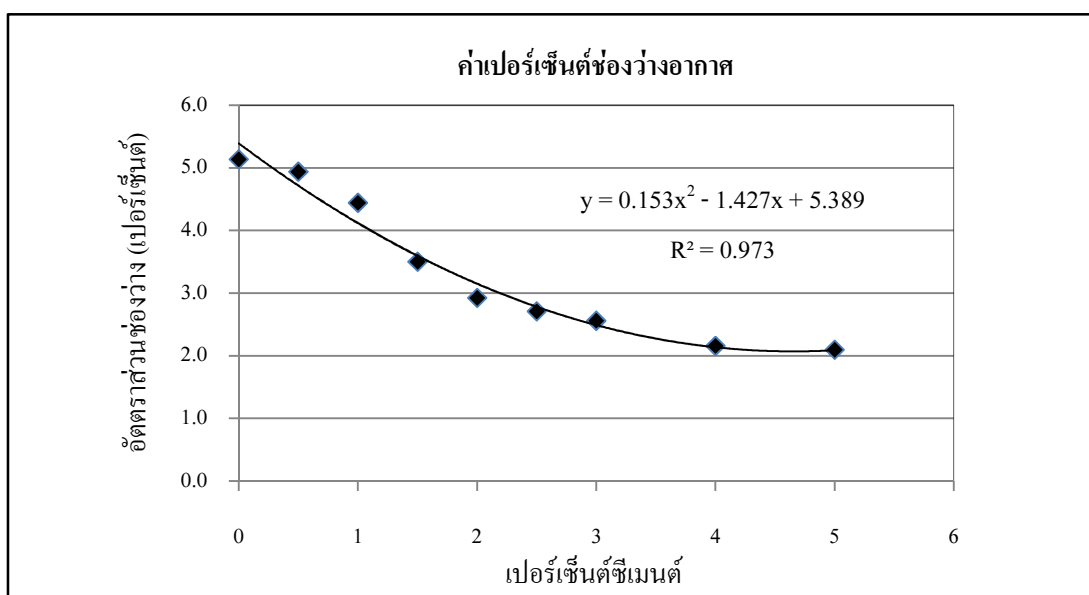
#### 4.4.1 ผลการทดสอบแอสฟัลต์คอนกรีตผสมพิมพ์ด้วยซีเมนต์

จากนั้นทดสอบโดยการใช้ซีเมนต์ ฝุ่นหิน และถ้าloyลิกไนต์ เป็นวัสดุผสมพิมพ์ในอัตราส่วน 0.5 1.0 1.5 2.0 2.5 3.0 4.0 และ 5.0 เปอร์เซ็นต์ ในแอสฟัลต์คอนกรีตที่ได้ค่าเบอร์เซ็นต์แอสฟัลต์ซีเมนต์ 4.8 เปอร์เซ็นต์ ของน้ำหนักส่วนผสม

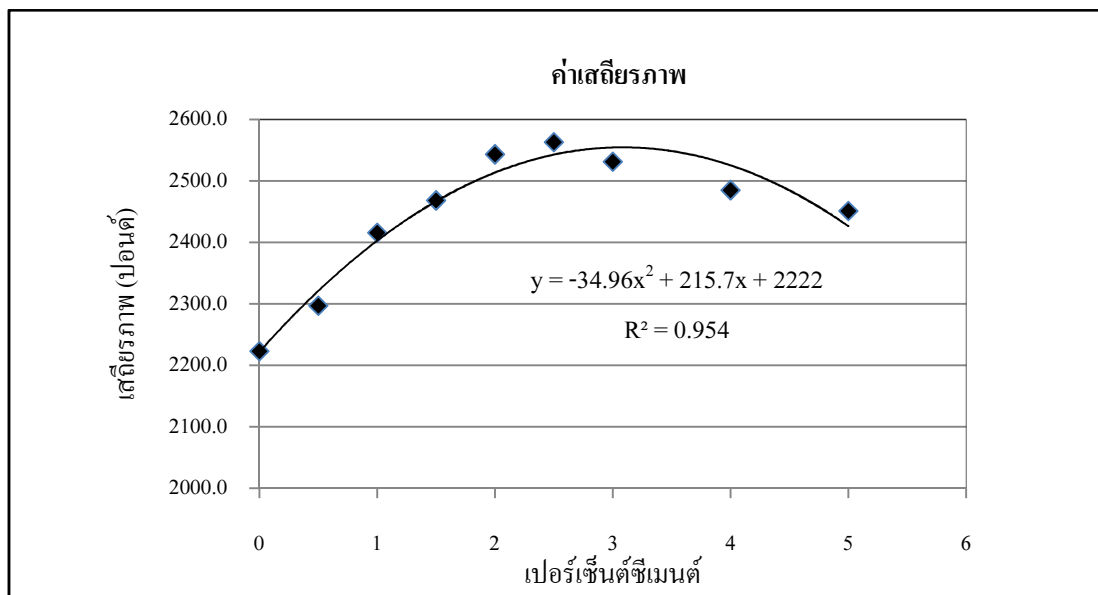
โดยผลการทดสอบแอสฟัลต์คอนกรีตที่ผสมพิมพ์ด้วยซีเมนต์ได้ผลการทดสอบดังรูปที่ 4.11 ถึง 4.16



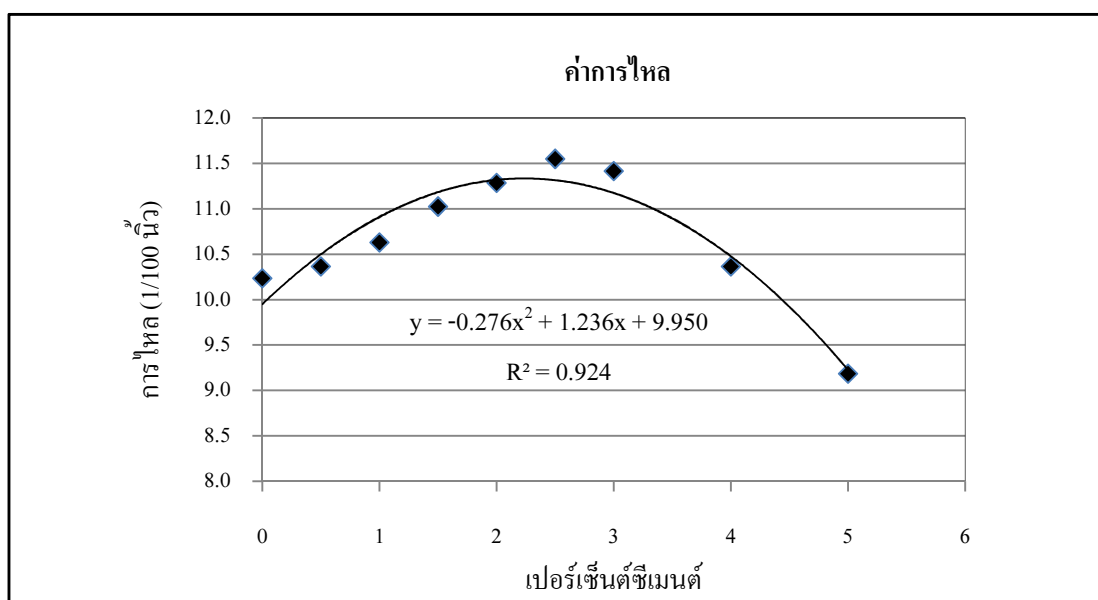
รูปที่ 4.11 ความสัมพันธ์ระหว่างค่าความหนาแน่นกับเปลอร์เซ็นต์ซีเมนต์



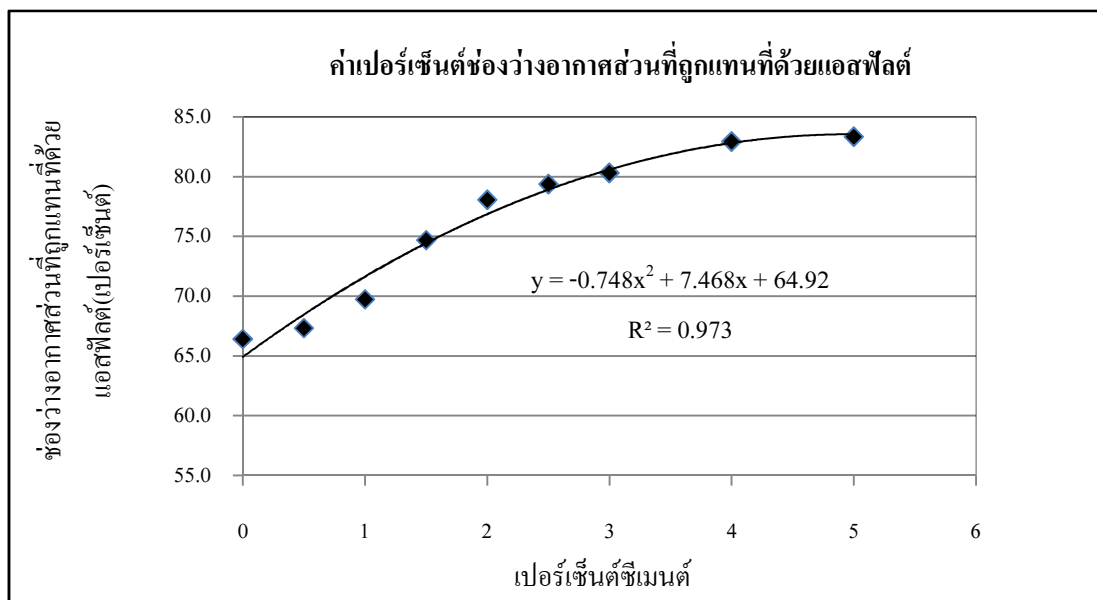
รูปที่ 4.12 ความสัมพันธ์ระหว่างค่าเปลอร์เซ็นต์ช่องว่างอากาศกับเปลอร์เซ็นต์ซีเมนต์



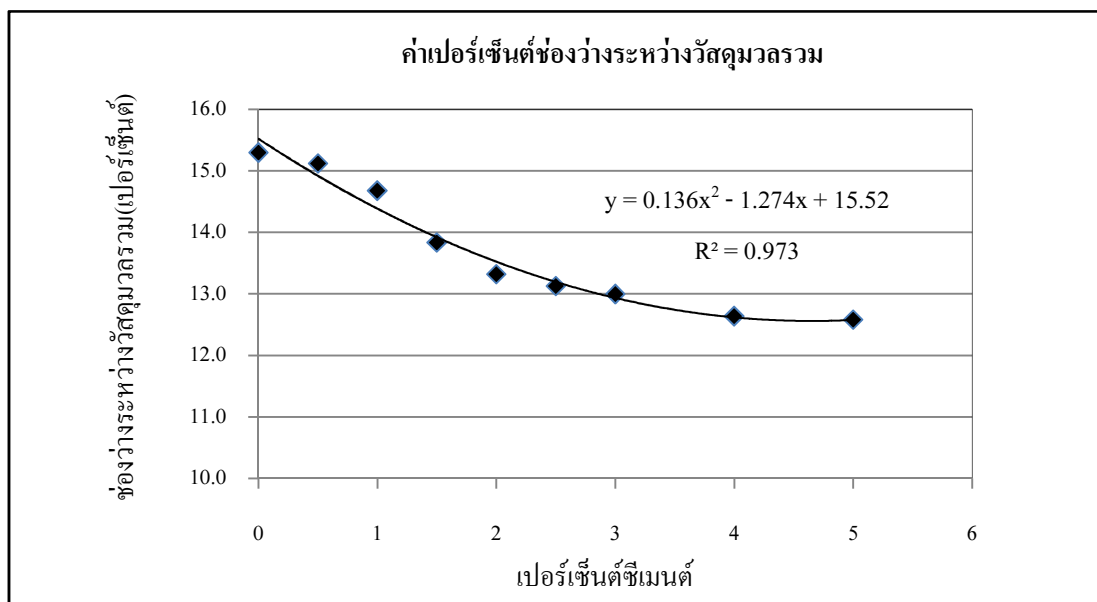
รูปที่ 4.13 ความสัมพันธ์ระหว่างค่าเสถียรภาพกับเปลี่ยนตัวชี้มั่นต์



รูปที่ 4.14 ความสัมพันธ์ระหว่างค่าการปลดปล่อยกับเปลี่ยนตัวชี้มั่นต์



รูปที่ 4.15 ความสัมพันธ์ระหว่างค่าเบอร์เซ็นต์ของว่างอากาศส่วนที่ถูกแทนที่ด้วยแอสฟอลต์กับเปลอร์เซ็นต์ซีเมนต์



รูปที่ 4.16 ความสัมพันธ์ระหว่างค่าเบอร์เซ็นต์ของว่างระหว่างวัสดุมวลรวมกับเปลอร์เซ็นต์ซีเมนต์

ผลการทดสอบแออัฟฟลต์ค่อนกรีตผสมเพิ่มด้วยซีเมนต์จะพบว่าเมื่อเพิ่มซีเมนต์ในช่วง 0.5 ถึง 4.0 เปอร์เซ็นต์ ค่าความหนาแน่นเพิ่มขึ้นและเริ่มคงที่ในช่วง 5.0 เปอร์เซ็นต์ เพราะซีเมนต์เริ่มที่จะดูดซึมแออัฟฟลต์ซีเมนต์มากเกินไปทำให้แออัฟฟลต์ซีเมนต์ไม่สามารถช่วยในการขัดเกะวัสดุมวลรวมได้ ส่วนค่าเปอร์เซ็นต์ช่องว่างอากาศจะลดลง เพราะซีเมนต์เข้าไปอุดแทรกช่องว่างอากาศของแออัฟฟลต์ค่อนกรีต ส่วนค่าเสถียรภาพมีค่าเพิ่มขึ้นในช่วง 0.5 ถึง 2.5 เปอร์เซ็นต์ และจะเริ่มลดลง เพราะซีเมนต์มีปริมาณที่มากเกินไปทำให้แออัฟฟลต์ซีเมนต์ไม่สามารถช่วยในการขัดเกะวัสดุมวลรวมได้ ส่วนค่าการไหลมีค่าเพิ่มขึ้นในช่วง 0.5 ถึง 3.0 เปอร์เซ็นต์ และจะเริ่มลดลง เพราะซีเมนต์มีปริมาณที่มากเกินไป ส่วนค่าเปอร์เซ็นต์ช่องว่างอากาศส่วนที่ถูกแทนที่ด้วยแออัฟฟลต์ จะมีค่าเพิ่มขึ้นอย่างต่อเนื่องและเริ่มคงที่ในช่วงผสม 5.0 เปอร์เซ็นต์ เพราะซีเมนต์ที่ถูกเคลือบด้วยแออัฟฟลต์มีขนาดเล็กทำให้ไปแทนที่ช่องว่างอากาศ และค่าเปอร์เซ็นต์ช่องว่างระหว่างวัสดุมวลรวม จะมีค่าลดลงอย่างต่อเนื่องและเริ่มคงที่ในช่วงผสม 5.0 เปอร์เซ็นต์ เพราะซีเมนต์ที่ถูกเคลือบด้วยแออัฟฟลต์เข้าไปอุดช่องว่างทำให้ช่องว่างระหว่างวัสดุมวลรวมลดน้อยลง

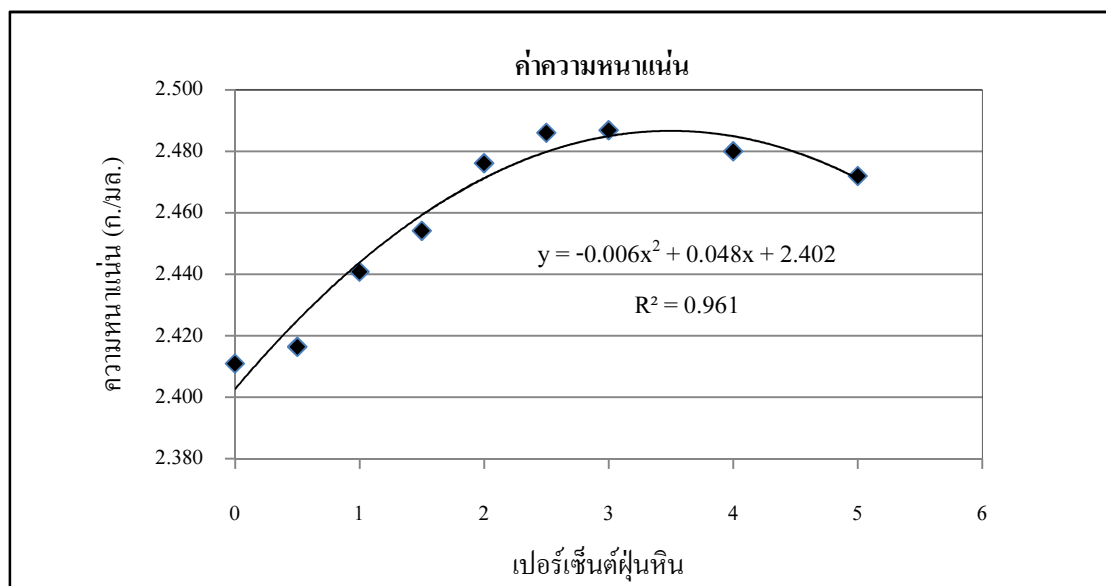
การทดสอบเลือกปริมาณส่วนผสมเพิ่มซีเมนต์ที่เหมาะสมนั้น จะดูความสามารถของค่าเสถียรภาพที่ดีขึ้น เพราะจะช่วยการรับน้ำหนักและการเกิดร่องล้อได้ดี แต่ค่าต่าง ๆ ต้องอยู่ในมาตรฐานด้วย พบว่าการใช้ซีเมนต์ผสมเพิ่มที่ 2 เปอร์เซ็นต์ จะมีความเหมาะสม มีค่าเสถียรภาพเพิ่มขึ้น ได้ผลทดสอบเท่ากับ 2,514 ปอนด์ (ไม่น้อยกว่า 1,800 ปอนด์) ค่าเปอร์เซ็นต์ช่องว่างอากาศลดน้อยลงมีผลทดสอบเท่ากับ 3.2 เปอร์เซ็นต์ อยู่ในข้อกำหนด (อยู่ระหว่าง 3 - 5 เปอร์เซ็นต์) มีค่าการไหลเพิ่มขึ้น ได้ผลทดสอบเท่ากับ 11.32 1/100 นิวตัน อยู่ในข้อกำหนด (อยู่ระหว่าง 8 - 16 1/100 นิวตัน) ค่าเปอร์เซ็นต์ช่องว่างระหว่างวัสดุมวลรวมลดลง ได้ผลทดสอบเท่ากับ 13.5 เปอร์เซ็นต์ (ไม่น้อยกว่า 14 เปอร์เซ็นต์) ซึ่งน้อยกว่ามาตรฐานอยู่ 0.5 เปอร์เซ็นต์ ดังแสดงในตารางที่ 4.7

ตารางที่ 4.7 ผลทดสอบแอสฟล็อกอนกรีตที่ผสมเพิ่มด้วยซีเมนต์ในอัตราส่วน 2 เปอร์เซ็นต์

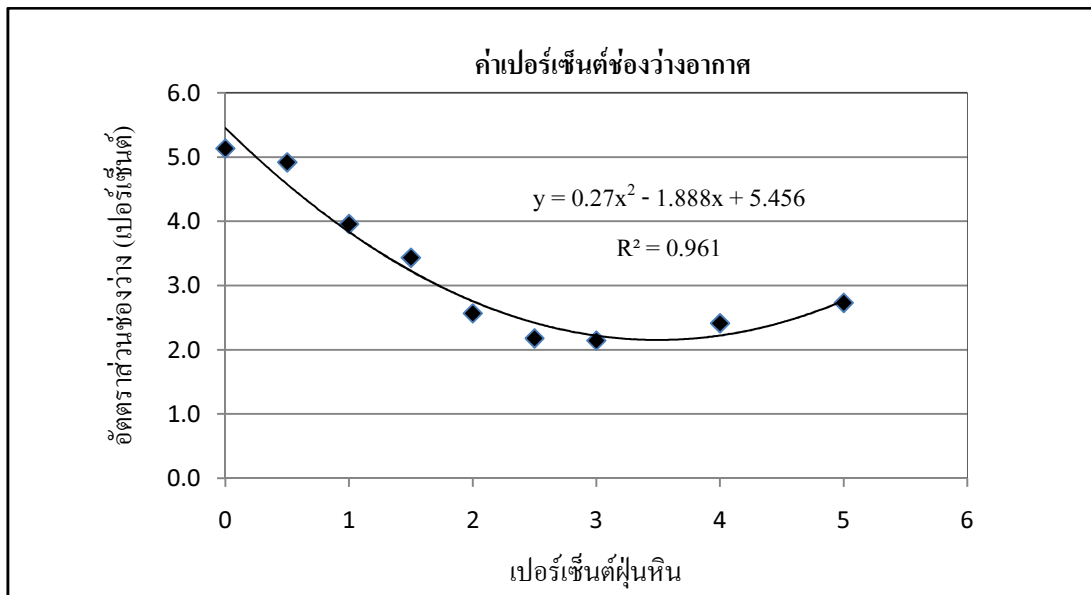
การทดสอบ	หน่วย	ผลทดสอบ	มาตรฐาน
ค่าความหนาแน่น	กรัมต่omm³	2.462	-
ค่าเบอร์เซ็นต์ช่องว่างอากาศ	เปอร์เซ็นต์	3.2	3 - 5
ค่าเสถียรภาพ	ปอนด์	2,514	ไม่น้อยกว่า 1,800
ค่าการไอลด์	1/100 นิว	11.32	8 - 16
ค่าเบอร์เซ็นต์ช่องว่างอากาศส่วนที่ถูกแทนที่ด้วยแอสฟล็อก	เปอร์เซ็นต์	76.9	-
ค่าเบอร์เซ็นต์ช่องว่างระหว่างวัสดุมวลรวม	เปอร์เซ็นต์	13.5	ไม่น้อยกว่า 14

#### 4.4.2 ผลการทดสอบแอสฟล็อกอนกรีตผสมเพิ่มด้วยฝุ่นหิน

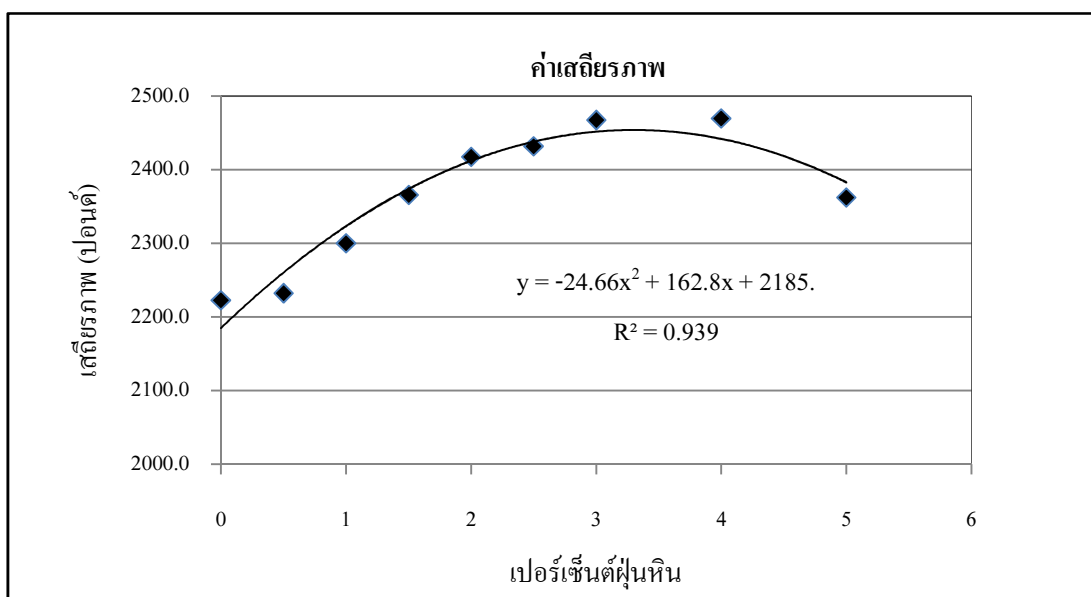
ผลการทดสอบโดยการผสมเพิ่มด้วยฝุ่นหินได้ผลการทดสอบดังรูปที่ 4.17 ถึง 4.22



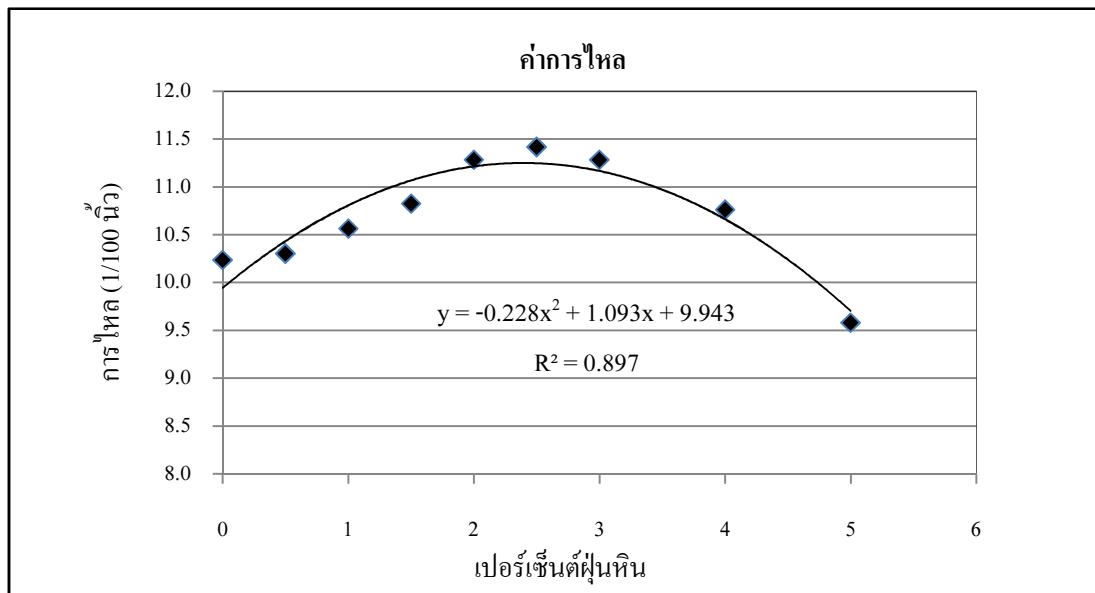
รูปที่ 4.17 ความสัมพันธ์ระหว่างค่าความหนาแน่นกับเบอร์เซ็นต์ฝุ่นหิน



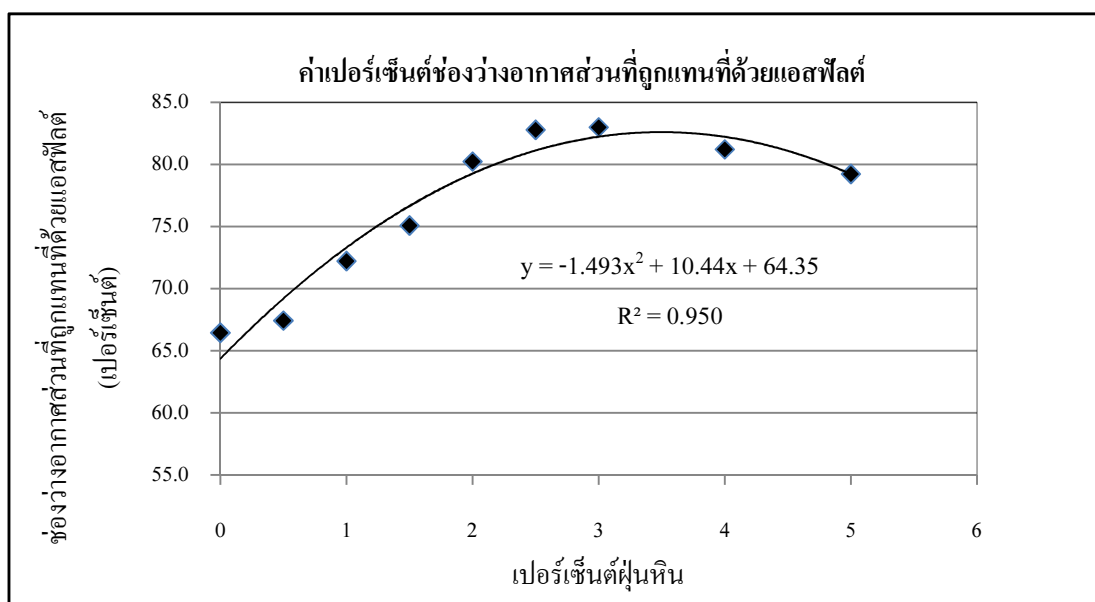
รูปที่ 4.18 ความสัมพันธ์ระหว่างค่าเบอร์เซ็นต์ช่องว่างอากาศกับเบอร์เซ็นต์ฝุ่นหิน



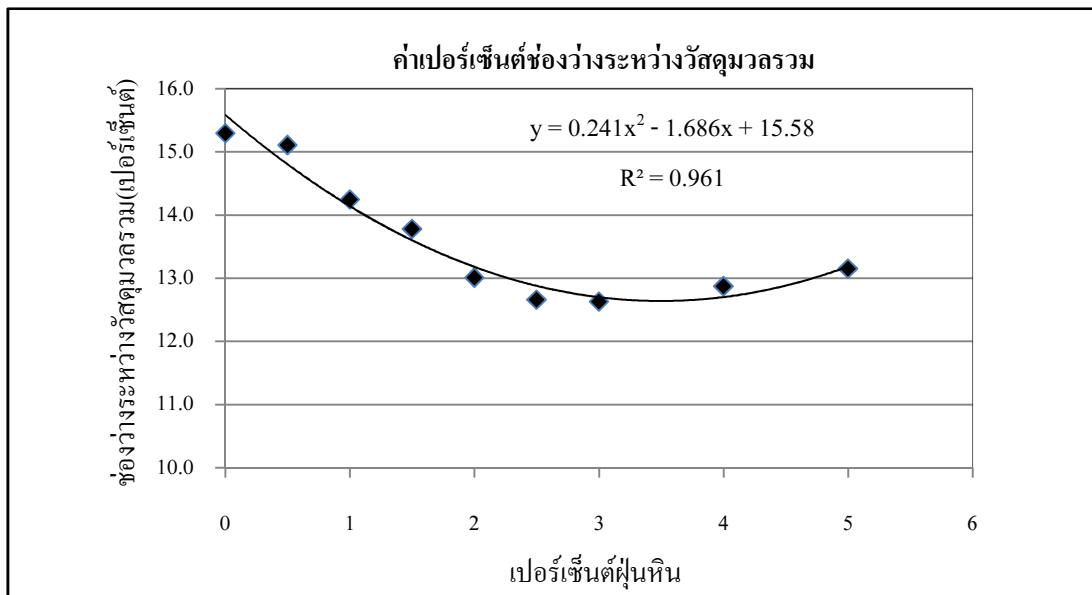
รูปที่ 4.19 ความสัมพันธ์ระหว่างค่าเสถียรภาพกับเบอร์เซ็นต์ฝุ่นหิน



รูปที่ 4.20 ความสัมพันธ์ระหว่างค่าการไฟฟ้ากับเปอร์เซ็นต์ผุนพิน



รูปที่ 4.21 ความสัมพันธ์ระหว่างค่าเบอร์เรนต์ช่องว่างอากาศส่วนที่ถูกแทนที่ด้วยแอสฟอลต์กับเปอร์เซ็นต์ผุนพิน



รูปที่ 4.22 ความสัมพันธ์ระหว่างค่าเบอร์เซ็นต์ช่องว่างระหว่างวัสดุมวลรวมกับเบอร์เซ็นต์ผู้ผลิต

ผลการทดสอบแอกسفิลต์คอนกรีตผสมเพิ่มด้วยผู้ผลิตว่าเมื่อเพิ่มผู้ผลิตในช่วง 0.5 ถึง 2.5 เบอร์เซ็นต์ ค่าความหนาแน่นเพิ่มขึ้นและเริ่มลดลงในช่วง 3.0 ถึง 5.0 เบอร์เซ็นต์ เพราะผู้ผลิตจะคุณซึ่งแอกسفิลต์ซีเมนต์มากเกินไปทำให้แอกسفิลต์ซีเมนต์ไม่สามารถช่วยในการยึดเกาะวัสดุมวลรวมได้ทำให้แอกسفิลต์คอนกรีตมีความร่วน ส่วนค่าเบอร์เซ็นต์ช่องว่างอากาศจะลดลงในช่วง 0.5 ถึง 2.5 เบอร์เซ็นต์ เพราะผู้ผลิตเข้าไปอุดแทรกช่องว่างอากาศของแอกسفิลต์คอนกรีต และเริ่มมีช่องว่างอากาศเพิ่มขึ้นในช่วง 3.0 ถึง 5.0 เบอร์เซ็นต์ เพราะแอกسفิลต์คอนกรีตไม่สามารถยึดเกาะกันได้ ส่วนค่าเสถียรภาพมีค่าเพิ่มขึ้นในช่วง 0.5 ถึง 3.0 เบอร์เซ็นต์ และจะเริ่มลดลง เพราะปริมาณผู้ผลิตมากเกินไปทำให้แอกسفิลต์ซีเมนต์ไม่สามารถช่วยในการยึดเกาะวัสดุมวลรวมได้ ส่วนค่าการไหลมีค่าเพิ่มขึ้นในช่วง 0.5 ถึง 2.5 เบอร์เซ็นต์ และจะเริ่มลดลง เพราะผู้ผลิตมีปริมาณที่มากเกินไป ส่วนค่าเบอร์เซ็นต์ช่องว่างอากาศส่วนที่ถูกแทนที่ด้วยแอกسفิลต์จะมีค่าเพิ่มขึ้นในช่วง 0.5 ถึง 2.5 เบอร์เซ็นต์ เพราะผู้ผลิตที่ถูกเคลือบด้วยแอกسفิลต์มีขนาดเล็กทำให้เข้าไปแทนที่ช่องว่างอากาศ และเริ่มลดลงในช่วง 3.0 ถึง 5.0 เบอร์เซ็นต์ เพราะผู้ผลิตที่ถูกเคลือบด้วยแอกسفิลต์มากเกินไปทำให้แอกسفิลต์ซีเมนต์มีปริมาณน้อยจึงไม่สามารถยึดเกาะวัสดุมวลรวมได้เท่าที่ควร และค่าเบอร์เซ็นต์ช่องว่างระหว่างวัสดุมวลรวมจะมีค่าลดลงในช่วง 0.5 ถึง 2.5 เบอร์เซ็นต์ และเริ่มเพิ่มขึ้นในช่วง 3.0 ถึง 5.0 เบอร์เซ็นต์ เพราะผู้ผลิตมีมากเกินไป

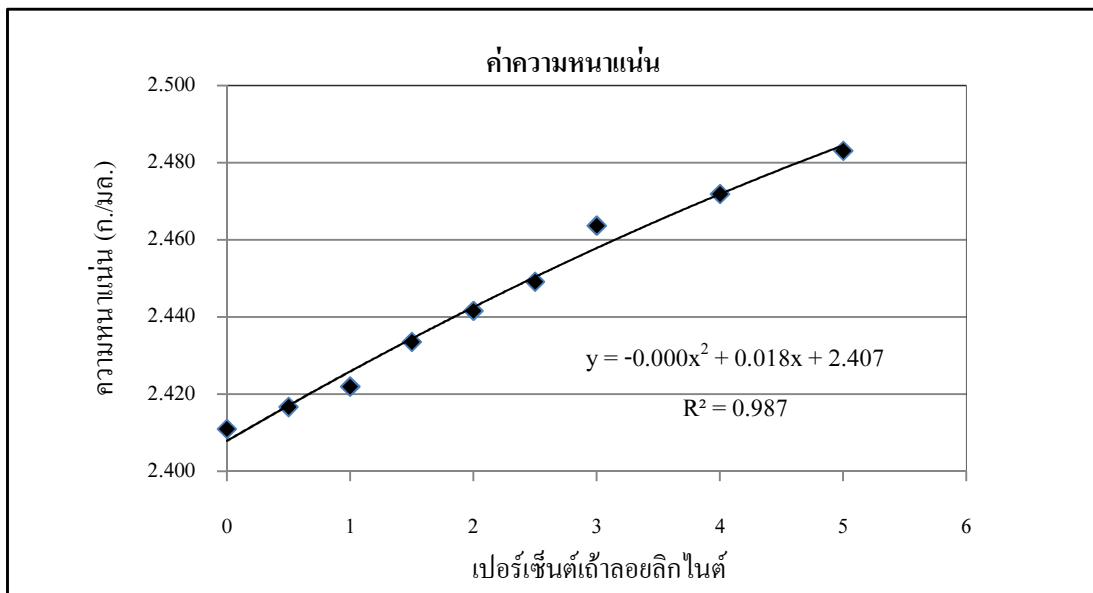
การทดสอบเลือกปริมาณส่วนผสมเพิ่มผุนหินที่เหมาะสมนั้น จะดูความสามารถของค่าเสถียรภาพที่ดีขึ้น เพราะจะช่วยการรับน้ำหนักและลดการเกิดร่องล้อได้ดี แต่ค่าต่าง ๆ ต้องอยู่ในมาตรฐานด้วย พนว่าการใช้ผุนหินผสมเพิ่มที่ 2.5 เปอร์เซ็นต์ จะมีความเหมาะสม โดยค่าเสถียรภาพ มีค่าเพิ่มขึ้นเมื่อทดสอบเท่ากับ 2,438 ปอนด์ (ไม่น้อยกว่า 1,800 ปอนด์) ค่าเปอร์เซ็นต์ซึ่งว่างอากาศลดน้อยลงเมื่อทดสอบเท่ากับ 2.4 เปอร์เซ็นต์ อยู่ต่ำกว่าข้อกำหนด 0.6 เปอร์เซ็นต์ (อยู่ระหว่าง 3 - 5 เปอร์เซ็นต์) ค่าการไอลเพิ่มขึ้นได้ทดสอบเท่ากับ 11.2 1/100 นิว อยู่ในข้อกำหนด (อยู่ระหว่าง 8 - 16 1/100 นิว) แต่ค่าเปอร์เซ็นต์ซึ่งว่างระหว่างวัสดุมวลรวมลดลงได้ทดสอบเท่ากับ 12.9 เปอร์เซ็นต์ (ไม่น้อยกว่า 14 เปอร์เซ็นต์) ซึ่งมีค่าน้อยกว่ามาตรฐานอยู่ 1.1 เปอร์เซ็นต์ ดังแสดงในตารางที่ 4.8

ตารางที่ 4.8 ผลทดสอบแอสฟัลต์คอนกรีตที่ผสมเพิ่มด้วยผุนหินในอัตราส่วน 2.5 เปอร์เซ็นต์

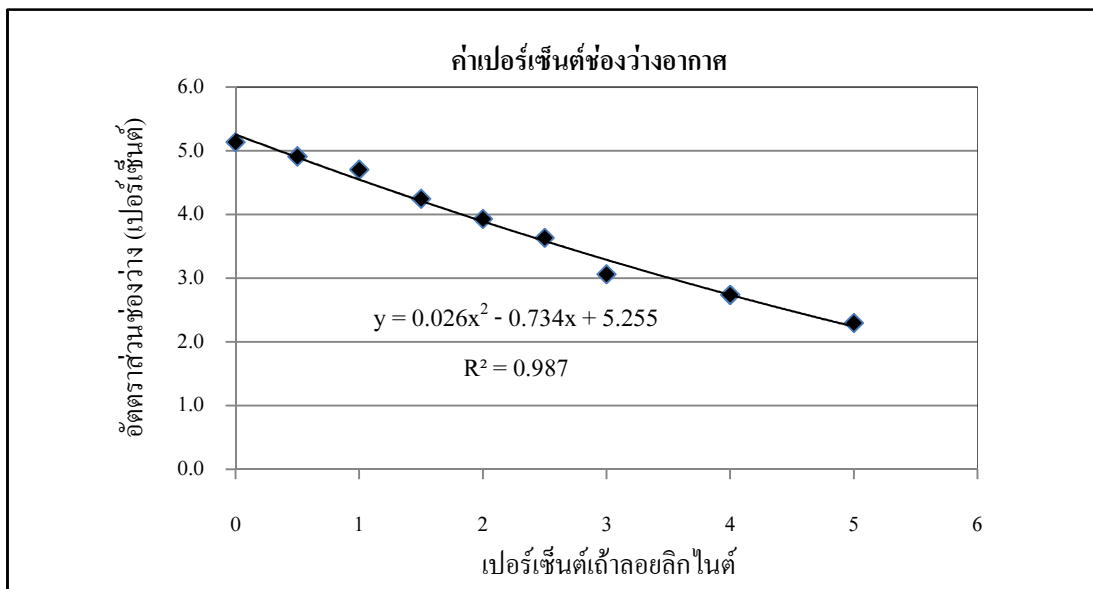
การทดสอบ	หน่วย	ผลทดสอบ	มาตรฐาน
ค่าความหนาแน่น	กรัมต่อมิลลิลิตร	2.479	-
ค่าเปอร์เซ็นต์ซึ่งว่างอากาศ	เปอร์เซ็นต์	2.4	3 - 5
ค่าเสถียรภาพ	ปอนด์	2,438	ไม่น้อยกว่า 1,800
ค่าการไอล	1/100 นิว	11.2	8 - 16
ค่าเปอร์เซ็นต์ซึ่งว่างอากาศส่วนที่ถูกแทนที่ด้วยแอสฟัลต์	เปอร์เซ็นต์	81.1	-
ค่าเปอร์เซ็นต์ซึ่งว่างระหว่างวัสดุมวลรวม	เปอร์เซ็นต์	12.9	ไม่น้อยกว่า 14

#### 4.4.3 ผลการทดสอบแอกسف์ลต์ก่อนกรีดผสมพิมพ์ด้วยถ้าโลยลิกไนต์

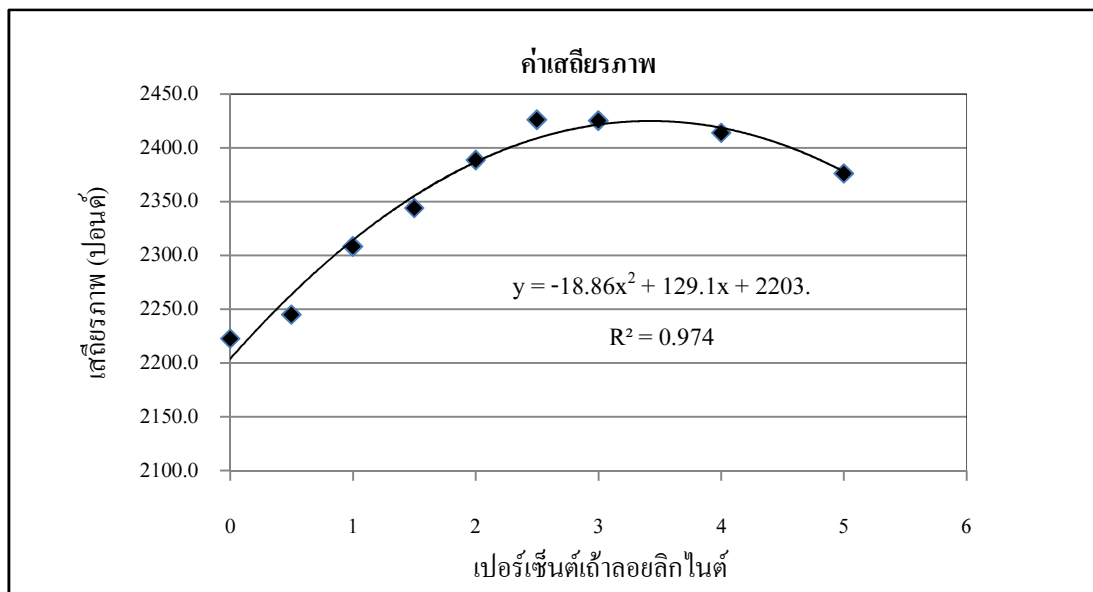
ผลทดสอบการผสมพิมพ์ถ้าโลยลิกไนต์ได้ผลทดสอบดังแสดงในรูปที่ 4.23 ถึง 4.28



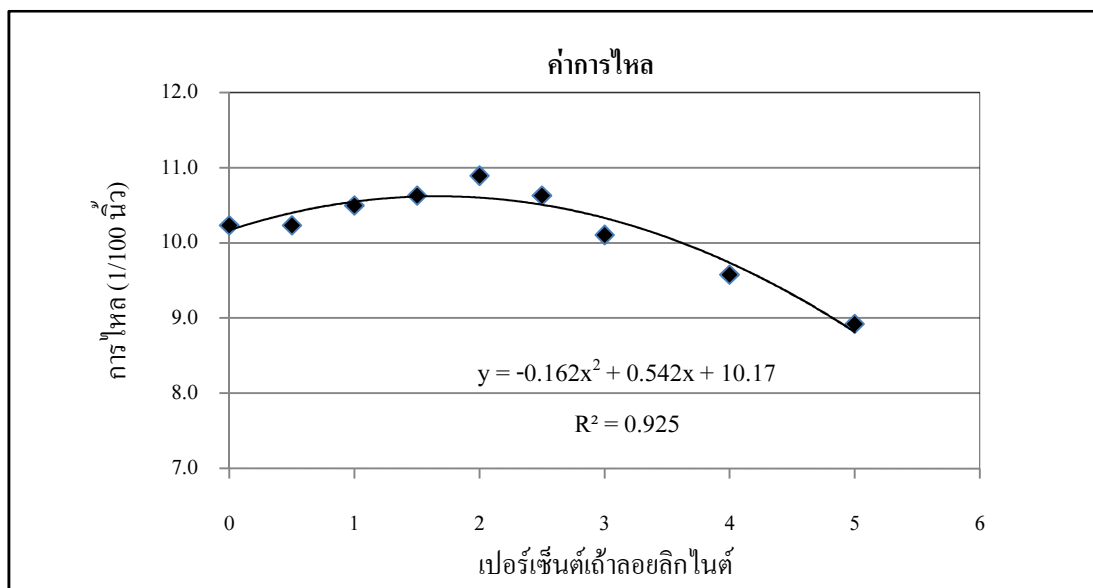
รูปที่ 4.23 ความสัมพันธ์ระหว่างค่าความหนาแน่นกับเบอร์เซ็นต์ถ้าโลยลิกไนต์



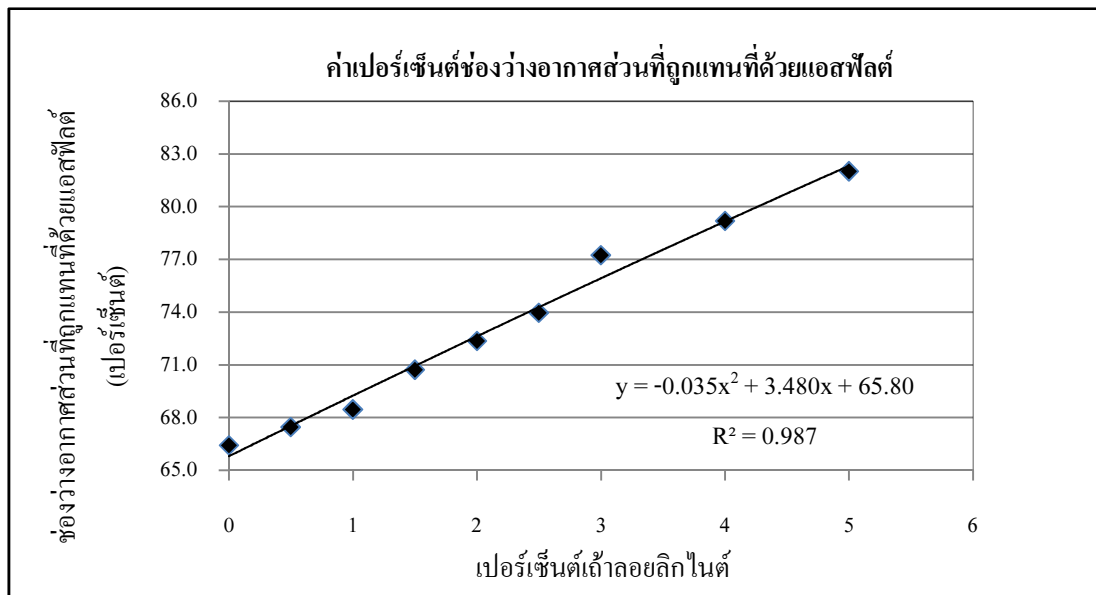
รูปที่ 4.24 ความสัมพันธ์ระหว่างค่าเบอร์เซ็นต์ช่องว่างอากาศกับเบอร์เซ็นต์ถ้าโลยลิกไนต์



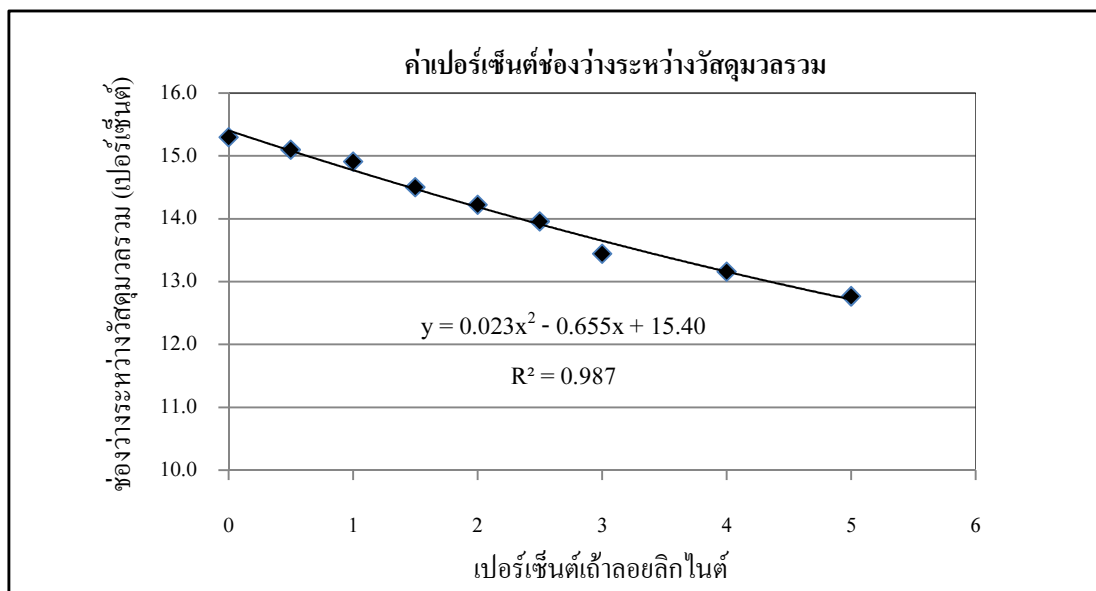
รูปที่ 4.25 ความสัมพันธ์ระหว่างค่าเสถียรภาพกับเบอร์เซ็นต์ถ้าลองลิกไนต์



รูปที่ 4.26 ความสัมพันธ์ระหว่างค่าการไฟลกับเบอร์เซ็นต์ถ้าลองลิกไนต์



รูปที่ 4.27 ความสัมพันธ์ระหว่างค่าเบอร์เซ็นต์ช่องว่างอากาศส่วนที่ถูกแทนที่ด้วยแอสฟัลต์กับเบอร์เซ็นต์ถ้าโลยลิกไนต์



รูปที่ 4.28 ความสัมพันธ์ระหว่างค่าเบอร์เซ็นต์ช่องว่างระหว่างวัสดุมวลรวมกับเบอร์เซ็นต์ถ้าโลยลิกไนต์

ผลการทดสอบแอกซ์ฟล็อต์ค่อนกรีตผสมเพิ่มด้วยถ้าโลยลิกไนต์พบว่า เมื่อเพิ่มถ้าโลยลิกไนต์อย่างต่อเนื่องเพราเจ้าโลยลิกไนต์มีลักษณะกลมทำให้คุณซึ่งแอกซ์ฟล็อตซีเมนต์ได้น้อยกว่าซีเมนต์และผุนหินมาก ส่วนค่าเบอร์เซ็นต์ช่องว่างอากาศจะลดลงอย่างต่อเนื่อง เพราเจ้าโลยลิกไนต์เข้าไปอุดแทรกช่องว่างอากาศของแอกซ์ฟล็อตค่อนกรีตได้ดี ส่วนค่าเสถียรภาพมีค่าเพิ่มขึ้นในช่วง 0.5 ถึง 3.0 เบอร์เซ็นต์ และจะเริ่มลดลงเพราปริมาณถ้าโลยลิกไนต์มากเกินไปทำให้เคลื่อนตัวได้ง่าย และแอกซ์ฟล็อตซีเมนต์มีปริมาณน้อยจึงไม่สามารถช่วยในการยึดเกาะวัสดุมวลรวมได้ ส่วนค่าการไหล่มีค่าเพิ่มขึ้นในช่วง 0.5 ถึง 2.0 เบอร์เซ็นต์ และจะเริ่มลดลงเพราเจ้าโลยลิกไนต์มีปริมาณมากเกินไปทำให้แอกซ์ฟล็อตซีเมนต์เคลื่อนตัวได้ไม่ดีพอ ส่วนค่าเบอร์เซ็นต์ช่องว่างอากาศส่วนที่ถูกแทนที่ด้วยแอกซ์ฟล็อตจะมีค่าเพิ่มขึ้นอย่างต่อเนื่องโดยสอดคล้องกับค่าความหนาแน่น และค่าเบอร์เซ็นต์ช่องว่างระหว่างวัสดุมวลรวมจะมีค่าลดลงอย่างต่อเนื่องโดยสอดคล้องกับค่าอัตราส่วนช่องว่าง

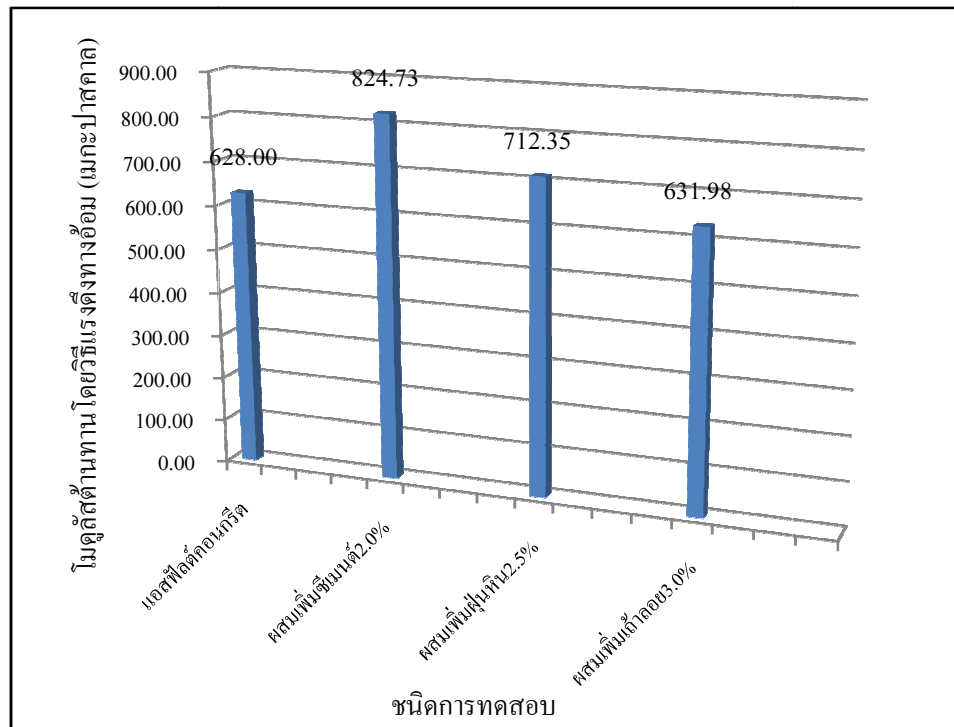
การทดสอบเลือกปริมาณส่วนผสมเพิ่มถ้าโลยลิกไนต์ที่เหมาะสมนั้น จะดูความสามารถของค่าเสถียรภาพที่ดีขึ้นเพราจะช่วยการรับน้ำหนักและการเกิดร่องถ้อได้ดี แต่ค่าต่าง ๆ ต้องอยู่ในมาตรฐานด้วย พนว่างการใช้ถ้าโลยลิกไนต์ผสมเพิ่มที่ 3.0 เบอร์เซ็นต์ จะมีความเหมาะสม โดยค่าเสถียรภาพมีค่าเพิ่มขึ้นเมื่อทดสอบเท่ากับ 2,421 ปอนด์ (ไม่น้อยกว่า 1,800 ปอนด์) ค่าเบอร์เซ็นต์ช่องว่างอากาศมีผลทดสอบเท่ากับ 3.3 เบอร์เซ็นต์ (อยู่ระหว่าง 3 - 5 เบอร์เซ็นต์) ค่าการไหลเพิ่มขึ้นเมื่อทดสอบเท่ากับ 10.3 1/100 นิว อยู่ในข้อกำหนด (อยู่ระหว่าง 8 - 16 1/100 นิว) แต่ค่าเบอร์เซ็นต์ช่องว่างระหว่างวัสดุมวลรวมลดลงได้เมื่อทดสอบเท่ากับ 13.7 เบอร์เซ็นต์ (ไม่น้อยกว่า 14 เบอร์เซ็นต์) น้อยกว่ามาตรฐาน 0.3 เบอร์เซ็นต์ ดังแสดงในตารางที่ 4.9

ตารางที่ 4.9 ผลทดสอบแอกซ์ฟล็อตค่อนกรีตที่ผสมเพิ่มถ้าโลยลิกไนต์ในอัตราส่วน 3.0 เบอร์เซ็นต์

การทดสอบ	หน่วย	ผลทดสอบ	มาตรฐาน
ค่าความหนาแน่น	กรัมต่อมิลลิลิตร	2.458	-
ค่าเบอร์เซ็นต์ช่องว่างอากาศ	เบอร์เซ็นต์	3.3	3 - 5
ค่าเสถียรภาพ	ปอนด์	2,421	ไม่น้อยกว่า 1,800
ค่าการไหล	1/100 นิว	10.3	8 - 16
ค่าเบอร์เซ็นต์ช่องว่างอากาศส่วนที่ถูกแทนที่ด้วยแอกซ์ฟล็อต	เบอร์เซ็นต์	75.9	-
ค่าเบอร์เซ็นต์ช่องว่างระหว่างวัสดุมวลรวม	เบอร์เซ็นต์	13.7	ไม่น้อยกว่า 14

#### 4.5 ผลการทดสอบค่าโมดูลัสต้านทานโดยวิธีแรงดึงทางอ้อม

เมื่อได้ผลการทดสอบและประมาณของวัสดุพลาสติกเพิ่มที่เหมาะสมด้วยวิธีนาร์เซลล์แล้ว จะทำการทดสอบเพิ่มด้วยวิธีหาค่าโมดูลัสต้านทานโดยวิธีแรงดึงทางอ้อม (Dynamic Indirect Tensile Stiffness Modulus) ที่อุณหภูมิ 40 องศาเซลเซียส ได้ผลการทดสอบดังรูปที่ 4.29 จะเห็นได้ว่าการเลือกใช้ชีเมนต์ที่ 2.0 เปอร์เซ็นต์จะมีความสามารถในการต้านทานโดยวิธีแรงดึงทางอ้อมได้ดีกว่า ผู้นหิน 2.5 เปอร์เซ็นต์ และถ้าลองยกไปที่ 3.0 เปอร์เซ็นต์ ตามลำดับ



รูปที่ 4.29 ผลทดสอบโมดูลัสต้านทานโดยวิธีแรงดึงทางอ้อมที่อุณหภูมิ 40 องศาเซลเซียส

จากการทดสอบการพสมเพิ่มของวัสดุทั้ง ชีเมนต์ ผุนหินและถ้าโลยลิก ในตัวสารถสรุปได้ดังตารางที่ 4.10

ตารางที่ 4.10 เปรียบเทียบผลทดสอบการพสมเพิ่มของชีเมนต์ ผุนหินและถ้าโลยลิก ในตัวสาร

การทดสอบ	หน่วย	วัสดุ			มาตรฐาน
		ชีเมนต์	ผุนหิน	ถ้าโลยลิก	
ค่าความหนาแน่น	กรัมต่อมิลลิลิตร	2.462	2.479	2.458	-
ค่าเปอร์เซ็นต์ของว่างอากาศ	เปอร์เซ็นต์	3.2	2.4	3.3	3-5
ค่าเสถียรภาพ	ปอนด์	2,514	2,438	2,421	ไม่น้อยกว่า 1,800
ค่าการไฟล	1/100 นิว	11.3	11.2	10.3	8-16
ค่าเปอร์เซ็นต์ของว่างอากาศส่วนที่ถูกแทนที่ด้วยแอสฟัลต์	เปอร์เซ็นต์	76.9	81.1	75.9	-
ค่าเปอร์เซ็นต์ของว่างระหว่างวัสดุมวลรวม	เปอร์เซ็นต์	13.5	12.9	13.7	ไม่น้อยกว่า 14
ไมดูลัลต้านทานโดยวิธีแรงดึงทางอ้อม	เมกะปascal	824.73	712.35	631.98	-

#### 4.6 ผลการวิเคราะห์ค่าใช้จ่ายของแอสฟัลต์คอนกรีตกับวัสดุพสมเพิ่มประเภทต่าง ๆ

จากนี้ทำการเปรียบเทียบค่าใช้จ่ายโดยประมาณในการเลือกพสมเพิ่มของวัสดุทั้ง 3 ชนิด กับแอสฟัลต์คอนกรีตธรรมชาติโดยแอสฟัลต์คอนกรีตธรรมชาต้มีค่าใช้จ่ายต่อ 1 ลูกบาศก์เมตร เท่ากับ 1,858.83 บาท แอสฟัลต์คอนกรีตพสมเพิ่มชีเมนต์จะมีราคาที่สูงที่สุด ต่อ 1 ลูกบาศก์เมตร เท่ากับ 1,974.90 บาท แอสฟัลต์คอนกรีตพสมเพิ่มผุนหิน ต่อ 1 ลูกบาศก์เมตร เท่ากับ 1,858.83 บาท แอสฟัลต์คอนกรีตพสมเพิ่มถ้าโลยลิกในตัวสาร ต่อ 1 ลูกบาศก์เมตร เท่ากับ 1,867.17 บาท จะสังเกตได้ว่า แอสฟัลต์คอนกรีตพสมเพิ่มผุนหินจะมีราคาเท่ากับแอสฟัลต์คอนกรีตธรรมชาติเพราจะต้องการผลิตแอสฟัลต์คอนกรีตจะต้องกำจัดผุนหินที่ไม่จำเป็นทิ้งไปจึงมีอยู่มากในโรงผสม แสดงดังตารางที่ 4.11

ตารางที่ 4.11 เปรียบเทียบราคាត่อ 1 ลูกบาศก์เมตร (บาท)

ชนิดการอุดแบบ	มวลรวม	แอสฟัลต์	วัสดุผสม	รวมราคา
แอสฟัลต์คอนกรีต	350.00	1,508.83	0.00	1,858.83
แอสฟัลต์คอนกรีตผสมเพิ่มชีเมนต์	350.00	1,508.83	116.07	1,974.90
แอสฟัลต์คอนกรีตผสมเพิ่มผุนหิน	350.00	1,508.83	0.00	1,858.83
แอสฟัลต์คอนกรีตผสมเพิ่มถ้าลองลิกไนต์	350.00	1,508.83	8.34	1,867.17

หมายเหตุ : ไม่รวมค่าแรง ขนส่ง และเครื่องจักร

## บทที่ 5

### บทสรุป

#### 5.1 สรุปผลการวิจัย

การศึกษาคุณสมบัติวัสดุมวลรวม และสภาพค่อนกรีตและประสิทธิภาพของแอกฟล็อต์ ค่อนกรีตที่ผสมเพิ่มด้วยซีเมนต์ ผุนหินและถ้าโลยลิก ไนต์ เป็นไปตามขั้นตอนและมาตรฐานการทดสอบทางหลวง โดยสามารถสรุปผลการวิจัยดังต่อไปนี้

##### 5.1.1 ผลทดสอบมวลรวม

วัสดุมวลรวมทายาน ทดสอบหาค่าความสึกหรอ (Los Angeles Abrasion) ได้ผลทดสอบเท่ากับ 31.23 เปอร์เซ็นต์ (มาตรฐานกรมทางหลวงไม่เกิน 40 เปอร์เซ็นต์) ทดสอบค่าความทนทาน (Soundness) ได้ผลทดสอบเท่ากับ 0.95 เปอร์เซ็นต์ (มาตรฐานกรมทางหลวงไม่เกิน 9 เปอร์เซ็นต์) ทดสอบค่าดัชนีความแนบ (Flakiness Index) ได้ผลทดสอบเท่ากับ 28 เปอร์เซ็นต์ (มาตรฐานกรมทางหลวงไม่เกิน 30 เปอร์เซ็นต์) ทดสอบดัชนีความยาว (Elongation Index) ได้ผลทดสอบเท่ากับ 18 เปอร์เซ็นต์ (มาตรฐานกรมทางหลวงไม่เกิน 30 เปอร์เซ็นต์)

วัสดุมวลรวมละเอียด ทดสอบความทนทาน (Soundness) ได้ผลทดสอบเท่ากับ 4.10 เปอร์เซ็นต์ (มาตรฐานกรมทางหลวงไม่เกิน 9 เปอร์เซ็นต์) ทดสอบหาค่าทรารายสมมูลย์ (Sand Equivalent) ได้ผลทดสอบเท่ากับ 71 เปอร์เซ็นต์ (มาตรฐานกรมทางหลวงไม่น้อยกว่า 30 เปอร์เซ็นต์)

##### 5.1.2 ผลทดสอบเลือกปริมาณแอกฟล็อต์ซีเมนต์ที่เหมาะสมของแอกฟล็อต์ค่อนกรีต

การทดสอบเลือกปริมาณแอกฟล็อต์ซีเมนต์ที่เหมาะสม ได้ผลการทดสอบเท่ากับ 4.8 เปอร์เซ็นต์ ของน้ำหนักวัสดุมวลรวม โดยพิจารณาจากความสัมพันธ์ในรูปกราฟพบว่า ค่าความหนาแน่นเท่ากับ 2.418 กรัมต่อมิลลิลิตร ค่าเปอร์เซ็นต์ซึ่งอยู่ระหว่าง 4.8 เปอร์เซ็นต์ (มาตรฐานกรมทางหลวงอยู่ระหว่าง 3 - 5 เปอร์เซ็นต์) ค่าเสถียรภาพเท่ากับ 2,224 ปอนด์ (มาตรฐานกรมทางหลวงไม่น้อยกว่า 1,800 ปอนด์) ค่าการไหลเท่ากับ 10 (1/100นิ้ว) (มาตรฐานกรมทางหลวงอยู่ระหว่าง 8 - 16 (1/100นิ้ว)) ค่าเปอร์เซ็นต์ซึ่งอยู่ระหว่าง 0.95 ถึง 1.05 ปอนด์ (มาตรฐานกรมทางหลวงไม่น้อยกว่า 0.85 ปอนด์) ค่าเสถียรภาพเท่ากับ 68.1 เปอร์เซ็นต์ ค่าเปอร์เซ็นต์ซึ่งอยู่ระหว่าง 65.0 ถึง 70.0 เปอร์เซ็นต์ (มาตรฐานกรมทางหลวงไม่น้อยกว่า 60.0 เปอร์เซ็นต์)

ไม่น้อยกว่า 14 เปอร์เซ็นต์) ค่าไมดูลัสต้านทานโดยวิธีแรงดึงทางอ้อมที่อุณหภูมิ 40 องศาเซลเซียส เท่ากับ 628.00 เมกะปascal

### **5.1.3 ผลทดสอบเลือกปริมาณซีเมนต์ที่เหมาะสม**

การทดสอบเลือกปริมาณซีเมนต์ที่เหมาะสมสำหรับเป็นวัสดุผสมแทรกในแอสฟัลต์คอนกรีต โดยความสัมพันธ์ในรูปกราฟพบว่าปริมาณซีเมนต์ที่เหมาะสมเท่ากับ 2.0 เปอร์เซ็นต์ โดยส่วนผสมที่ได้จะมีค่าความหนาแน่นเท่ากับ 2.462 กรัมต่อมิลลิลิตร มีค่าเพิ่มขึ้นจากแอสฟัลต์คอนกรีตธรรมชาติ 1.8 เปอร์เซ็นต์ ค่าเปอร์เซ็นต์ซึ่งว่างอากาศเท่ากับ 3.2 เปอร์เซ็นต์ มีค่าลดลงจากแอสฟัลต์คอนกรีตธรรมชาติ 50.0 เปอร์เซ็นต์ (มาตรฐานกรมทางหลวงอยู่ระหว่าง 3 - 5 เปอร์เซ็นต์) ค่าเสถียรภาพเท่ากับ 2,514 ปอนด์ มีค่าเพิ่มขึ้นจากแอสฟัลต์คอนกรีตธรรมชาติ 13.0 เปอร์เซ็นต์ (มาตรฐานกรมทางหลวงไม่น้อยกว่า 1,800 ปอนด์) ค่าการไหลเท่ากับ 11.3 (1/100นิ้ว) มีค่าเพิ่มขึ้นจากแอสฟัลต์คอนกรีตธรรมชาติ 13.2 เปอร์เซ็นต์ (มาตรฐานกรมทางหลวงอยู่ระหว่าง 8 - 16 (1/100นิ้ว)) ค่าเปอร์เซ็นต์ซึ่งว่างอากาศส่วนที่ถูกแทนที่ด้วยแอสฟัลต์เท่ากับ 76.9 เปอร์เซ็นต์ มีค่าเพิ่มขึ้นจากแอสฟัลต์คอนกรีตธรรมชาติ 12.9 เปอร์เซ็นต์ ค่าเปอร์เซ็นต์ซึ่งว่างระหว่างวัสดุมวลรวมเท่ากับ 13.5 เปอร์เซ็นต์ มีค่าลดลงจากแอสฟัลต์คอนกรีต 11.1 เปอร์เซ็นต์ (มาตรฐานกรมทางหลวงไม่น้อยกว่า 14 เปอร์เซ็นต์) ค่าไมดูลัสต้านทานโดยวิธีแรงดึงทางอ้อมที่อุณหภูมิ 40 องศาเซลเซียส เท่ากับ 824.73 เมกะปascal มีค่าเพิ่มขึ้นจากแอสฟัลต์คอนกรีตธรรมชาติ 31.3 เปอร์เซ็นต์

### **5.1.4 ผลทดสอบเลือกปริมาณผุนพินที่เหมาะสม**

การทดสอบเลือกปริมาณผุนพินที่เหมาะสมสำหรับเป็นวัสดุผสมแทรกในแอสฟัลต์คอนกรีต โดยความสัมพันธ์ในรูปกราฟพบว่าปริมาณผุนพินที่เหมาะสมเท่ากับ 2.5 เปอร์เซ็นต์ โดยส่วนผสมที่ได้จะมีค่าความหนาแน่นเท่ากับ 2.479 กรัมต่อมิลลิลิตร มีค่าเพิ่มขึ้นจากแอสฟัลต์คอนกรีตธรรมชาติ 2.5 เปอร์เซ็นต์ ค่าเปอร์เซ็นต์ซึ่งว่างอากาศเท่ากับ 2.4 เปอร์เซ็นต์ มีค่าลดลงจากแอสฟัลต์คอนกรีตธรรมชาติ 100.0 เปอร์เซ็นต์ (มาตรฐานกรมทางหลวงอยู่ระหว่าง 3 - 5 เปอร์เซ็นต์) ค่าเสถียรภาพเท่ากับ 2,438 ปอนด์ มีค่าเพิ่มขึ้นจากแอสฟัลต์คอนกรีตธรรมชาติ 9.6 เปอร์เซ็นต์ (มาตรฐานกรมทางหลวงไม่น้อยกว่า 1,800 ปอนด์) ค่าการไหลเท่ากับ 11.2 (1/100นิ้ว) มีค่าเพิ่มขึ้นจากแอสฟัลต์คอนกรีตธรรมชาติ 12.0 เปอร์เซ็นต์ (มาตรฐานกรมทางหลวงอยู่ระหว่าง 8 - 16 (1/100นิ้ว)) ค่าเปอร์เซ็นต์ซึ่งว่างอากาศส่วนที่ถูกแทนที่ด้วยแอสฟัลต์เท่ากับ 81.1 เปอร์เซ็นต์ มีค่าเพิ่มขึ้นจากแอสฟัลต์คอนกรีตธรรมชาติ 19.1 เปอร์เซ็นต์ ค่าเปอร์เซ็นต์ซึ่งว่างระหว่างวัสดุมวลรวมเท่ากับ 12.9 เปอร์เซ็นต์ มีค่าลดลงจากแอสฟัลต์คอนกรีตธรรมชาติ 16.3 เปอร์เซ็นต์ (มาตรฐานกรม

ทางหลวงไม่น้อยกว่า 14 เปอร์เซ็นต์) ค่าไม่ดูแลสต้านทานโดยวิธีแรงดึงทางอ้อมที่อุณหภูมิ 40 องศาเซลเซียส เท่ากับ 712.35 เมกะปascal มีค่าเพิ่มขึ้นจากแอสฟล็อกต์คอนกรีตธรรมชาติ 13.4 เปอร์เซ็นต์

### 5.1.5 ผลทดสอบเลือกปริมาณถ้าลดอยลิกไนต์ที่เหมาะสม

การทดสอบเลือกปริมาณถ้าลดอยลิกไนต์ที่เหมาะสมสำหรับเป็นวัสดุผสมแทรกในแอสฟล็อกต์คอนกรีต โดยดูความสัมพันธ์ในรูปกราฟพบว่าปริมาณถ้าลดอยลิกไนต์ที่เหมาะสมเท่ากับ 3.0 เปอร์เซ็นต์ โดยส่วนผสมที่ได้จะมีค่าความหนาแน่นเท่ากับ 2.458 กรัมต่อมิลลิลิตร มีค่าเพิ่มขึ้นจากแอสฟล็อกต์คอนกรีตธรรมชาติ 1.7 เปอร์เซ็นต์ ค่าเปอร์เซ็นต์ช่องว่างอากาศเท่ากับ 3.3 เปอร์เซ็นต์ มีค่าลดลงจากแอสฟล็อกต์คอนกรีตธรรมชาติ 45.5 เปอร์เซ็นต์ (มาตรฐานกรมทางหลวงอยู่ระหว่าง 3 - 5 เปอร์เซ็นต์) ค่าเสถียรภาพเท่ากับ 2,421 ปอนด์ มีค่าเพิ่มขึ้นจากแอสฟล็อกต์คอนกรีตธรรมชาติ 8.9 เปอร์เซ็นต์ (มาตรฐานกรมทางหลวงไม่น้อยกว่า 1,800 ปอนด์) ค่าการไหลเท่ากับ 10.3 (1/100นิ้ว) มีค่าเพิ่มขึ้นจากแอสฟล็อกต์คอนกรีตธรรมชาติ 3.0 เปอร์เซ็นต์ (มาตรฐานกรมทางหลวงอยู่ระหว่าง 8 - 16 (1/100นิ้ว)) ค่าเปอร์เซ็นต์ช่องว่างอากาศส่วนที่ถูกแทนที่ด้วยแอสฟล็อกต์เท่ากับ 75.9 เปอร์เซ็นต์ มีค่าเพิ่มขึ้นจากแอสฟล็อกต์คอนกรีตธรรมชาติ 11.5 เปอร์เซ็นต์ ค่าเปอร์เซ็นต์ช่องว่างระหว่างวัสดุมวลรวมเท่ากับ 13.7 เปอร์เซ็นต์ มีค่าลดลงจากแอสฟล็อกต์คอนกรีตธรรมชาติ 9.4 เปอร์เซ็นต์ (มาตรฐานกรมทางหลวงไม่น้อยกว่า 14 เปอร์เซ็นต์) ค่าไม่ดูแลสต้านทานโดยวิธีแรงดึงทางอ้อมที่อุณหภูมิ 40 องศาเซลเซียส เท่ากับ 631.98 เมกะปascal มีค่าเพิ่มขึ้นจากแอสฟล็อกต์คอนกรีตธรรมชาติ 0.6 เปอร์เซ็นต์

### 5.1.6 สรุปผลทดสอบวัสดุผสมเพิ่ม

ในการทดสอบเลือกอัตราส่วนแอสฟล็อกต์คอนกรีตที่ปรับปรุงคุณภาพด้วยวัสดุผสมเพิ่มที่เหมาะสมนั้น กระบวนการหักดึงนิยมใช้ค่าการวิเคราะห์จากการที่ได้จากค่าความหนาแน่น ค่าการไหล และค่าเสถียรภาพเป็นหลัก โดยดูค่าเปอร์เซ็นต์ช่องว่างอากาศ ค่าเปอร์เซ็นต์ช่องว่างอากาศส่วนที่ถูกแทนที่ด้วยแอสฟล็อกต์ และค่าเปอร์เซ็นต์ช่องว่างระหว่างวัสดุมวลรวมใช้ในการตัดสินใจได้ผลสรุปการทดสอบดังนี้

1) ผลทดสอบเลือกปริมาณซีเมนต์ที่เหมาะสมต่อแอสฟล็อกต์คอนกรีตที่ 2.0 เปอร์เซ็นต์ พบว่าซีเมนต์มีรูปร่างลักษณะเหลี่ยมนิ่มขนาดเล็กช่วยเข้าไปอุดช่องว่างต่างๆ ในแอสฟล็อกต์คอนกรีตทำให้มีค่าความหนาแน่นเพิ่มขึ้น ช่วยให้ค่าการไหลดีขึ้น และมีค่าเสถียรภาพเพิ่มขึ้นจากแอสฟล็อกต์คอนกรีตธรรมชาติโดยคิดเป็น 1.8 - 13.2 และ 13.0 เปอร์เซ็นต์ ตามลำดับ ค่าไม่ดูแลสต้านทานโดยวิธีแรงดึงทางอ้อมดีขึ้นกว่าแอสฟล็อกต์คอนกรีตธรรมชาติ 31.3 เปอร์เซ็นต์

2) ผลทดสอบเลือกปริมาณผุนพินที่เหมาะสมต่อแอสฟล็อกต์คอนกรีตที่ 2.5 เปอร์เซ็นต์ พบว่าผุนพินมีรูปร่างลักษณะเหลี่ยมน้ำนมคล้ายช้อนนิ่มนิ่มขนาดเล็กและอ่อนกว่า

ซีเมนต์และถ้วยลิกลайнต์ ทำให้ผู้นิยมช่วยเหลือไปอุดช่องว่างเล็ก ๆ ในแอสฟัลต์คอนกรีตทำให้มีค่าความหนาแน่นเพิ่มขึ้น ช่วยให้ค่าการไอลดีขึ้น และค่าเสถียรภาพเพิ่มขึ้น จากแอสฟัลต์คอนกรีตธรรมชาติโดยคิดเป็น 2.5 12.0 และ 9.6 เปอร์เซ็นต์ ตามลำดับ สำหรับค่าโมดูลัสต้านทานโดยวิธีแรงดึงทางอ้อมคือขึ้นกว่าแอสฟัลต์คอนกรีตธรรมชาติ 13.4 เปอร์เซ็นต์ ทำให้แอสฟัลต์แอสฟัลต์คอนกรีตที่ปรับปรุงคุณภาพด้วยผู้นิยมช่วยเหลือมีความเหมาะสมที่จะนำข้อมูลไปศึกษาถึงความเป็นได้ในการนำไปใช้งานจริง

3) ผลทดสอบเลือกปริมาณถ้วยลิกลайнต์ที่เหมาะสมสมต่อแอสฟัลต์คอนกรีตที่ 3.0 เปอร์เซ็นต์ พนิชถ้วยลิกลайнต์มีรูปร่างลักษณะกลมและมีขนาดเล็ก ทำให้ถ้วยลิกลайнต์ช่วยเหลือไปอุดช่องว่างเล็ก ๆ ในแอสฟัลต์คอนกรีตทำให้มีค่าความหนาแน่นเพิ่มขึ้น ช่วยให้ค่าการไอลดีขึ้น และค่าเสถียรภาพเพิ่มขึ้น จากแอสฟัลต์คอนกรีตธรรมชาติโดยคิดเป็น 1.7 3.0 และ 8.9 เปอร์เซ็นต์ ตามลำดับ สำหรับค่าโมดูลัสต้านทานโดยวิธีแรงดึงทางอ้อมคือขึ้นกว่าแอสฟัลต์คอนกรีตธรรมชาติ 0.6 เปอร์เซ็นต์ ทำให้แอสฟัลต์แอสฟัลต์คอนกรีตที่ปรับปรุงคุณภาพด้วยถ้วยลิกลайнต์ถือว่ามีความเหมาะสมที่จะนำข้อมูลไปศึกษาถึงความเป็นได้ในการนำไปใช้งานจริง

4) สำหรับค่าใช้จ่ายในการผลิตโดยเปรียบเทียบราคាដ่อ 1 ลูกบาศก์เมตรพบว่า ส่วนผสมเพิ่มซีเมนต์ 2 เปอร์เซ็นต์มีราคาอยู่ที่ 1,974.90 บาท ส่วนผสมเพิ่มผู้นิยม 2.5 เปอร์เซ็นต์มีราคาอยู่ที่ 1,858.83 บาท (ราคาเท่ากับแอสฟัลต์คอนกรีตธรรมชาติ) และส่วนผสมเพิ่มถ้วยลิกลайнต์ 3.0 เปอร์เซ็นต์มีราคาอยู่ที่ 1,867.17 บาท ทำให้พบว่าแอสฟัลต์คอนกรีตผสมเพิ่มผู้นิยมมีราคากลางๆ ที่สุดลดมาเป็นถ้วยลิกลайнต์และซีเมนต์

ดังนั้นการนำผู้นิยมและถ้วยลิกลайнต์มาเป็นวัสดุผสมเพิ่มในแอสฟัลต์คอนกรีตได้อย่างเหมาะสม อย่างไรก็ตามการพิจารณาจะต้องทดลองใช้จริงในสนามเพื่อตรวจสอบความคงทน การต้านทานการเกิดร่องล้อ รวมไปถึงค่าใช้จ่ายในการบำรุงรักษาผิวนอนประเภทต่าง ๆ ก่อนที่จะนำไปประยุกต์ใช้งานจริง

## 5.2 ข้อเสนอแนะ

การวิจัยครั้งนี้ได้เลือกใช้แอสฟัลต์ซีเมนต์ที่เหมาะสมเพียงเบอร์เซ็นต์เดียวดังนี้ ควรมีการศึกษาเพื่อเติมโดยการลดและเพิ่มจากแอสฟัลต์ซีเมนต์ที่เหมาะสมเพื่อนำผลทดสอบมาเปรียบเทียบเพิ่มเติม สำหรับการทดสอบด้วยวิธีหาค่าโมดูลัสต้านทานโดยวิธีแรงดึงทางอ้อม (Indirect Tensile Stiffness Modulus) ผู้วิจัยได้เลือกทดสอบอุณหภูมิเดียวเพราเดียวระยะเวลา งบประมาณ และเครื่องมือทดสอบที่จำกัด ดังนั้นควรมีการทดสอบเพิ่มเติมในหลายอุณหภูมิเพื่อศึกษาคุณสมบัติของแอสฟัลต์คอนกรีตและแอสฟัลต์คอนกรีตผสมเพิ่มด้วย ซีเมนต์ ผู้นิยม และ

ถ้าโดยลิกไนต์ว่าจะมีการเปลี่ยนแปลงอย่างไรต่ออุณหภูมิต่าง ๆ ที่เหมาะสมกับประเทศไทย และอย่างไรก็ตามควรมีการศึกษาค่าต่าง ๆ เพิ่มเติมดังต่อไปนี้

- ควรมีการศึกษาประสิทธิภาพของการนำ ซีเมนต์ ผุนหิน และถ้าโดยลิกไนต์ในการทดสอบหินผุนในอัตราส่วนต่าง ๆ ของปริมาณแอลฟ์ลิต์คอนกรีตที่แตกต่างกัน
- ควรมีการศึกษาการออกแบบแอลฟ์ลิต์คอนกรีตที่ผสมแทรกด้วย ซีเมนต์ ผุนหิน และถ้าโดยลิกไนต์ เพิ่มเติม
- ควรมีการศึกษาค่าการเกิดความลึกร่องล้อ (Rutting) และค่าความล้า (Fatigue) เพิ่มเติม
- ควรมีการทดสอบจริงในสนามเพื่อนำผลที่ได้มาตรวจสอบความถูกต้องตามที่ออกแบบในห้องปฏิบัติการ

## รายการอ้างอิง

กรมทางหลวง, กระทรวงคมนาคม. 2530. **วิธีการทดลองวัสดุก่อสร้าง เล่มที่ 1.**

กรมทางหลวง. 2539. สำนักวิเคราะห์วิจัยและพัฒนางานทาง. มาตรฐานงานทาง. โรงพิมพ์ชุมชน  
สหกรณ์การเกษตรแห่งประเทศไทย, กรุงเทพมหานคร.

กรมทางหลวง. สำนักวิเคราะห์วิจัยและพัฒนางานทาง. 2543. มาตรฐานวิธีการทดลอง. โรงพิมพ์  
องค์การรับส่งสินค้าและพัสดุภัณฑ์, กรุงเทพมหานคร

กรมทางหลวงสำนักทางหลวงที่ 8. ส่วนตรวจสอบและวิเคราะห์ทางวิศวกรรม. 2547. **คู่มือวิธีการ  
ปฏิบัติงานออกแบบและตรวจสอบผิวทางแอสฟัลต์**, นครราชสีมา. 63n.

การไฟฟ้าฝ่ายผลิตแห่งประเทศไทย. 2539. การศึกษาศักยภาพการนำถ่านออกมายังประเทศญี่ปุ่น. กอง  
การพิมพ์ ฝ่ายประชาสัมพันธ์ กฟผ. การไฟฟ้าฝ่ายผลิตแห่งประเทศไทย.

ชินะวัฒน์ มุกตพันธุ์. 2543. **การออกแบบผิวจราจร**. สาขาวิชาวิศวกรรมโยธา คณะวิศวกรรมศาสตร์.  
มหาวิทยาลัยขอนแก่น. 273n.

ชัย จาเรุพิทักษ์กุล, ศรุเชษฐ์ จึงเกณฑ์ โชคชัย และวรภรณ์ คุณวนากิจ. 2543. **คุณสมบัติพื้นฐานทาง  
เคมีและทางกายภาพของถ่านอย**. เอกสารทางวิชาการ การสัมมนาเรื่องการใช้ถ่านอยใน  
งานคอนกรีต ครั้งที่ 5 การไฟฟ้าฝ่ายผลิตแห่งประเทศไทยและสมาคมวิศวกรรมสถานแห่ง<sup>1</sup>  
ประเทศไทย ในพระบรมราชูปถัมภ์. หน้า 7-19.

ชัยชาญ วรนิทัศน์. 2530. **ขี้ถ้าถ่านสำหรับเป็นวัสดุอัดแทรกในคอนกรีตแอสฟัลต์**. วิทยานิพนธ์  
มหาบัณฑิต สาขาวิชาวิศวกรรมโยธา คณะวิศวกรรมศาสตร์. มหาวิทยาลัยขอนแก่น. 153n.

นิรชร พึงเดช. 2550. **การทดสอบวัสดุการทาง**. โรงพิมพ์สมาคมส่งเสริมเทคโนโลยี (ไทย - ญี่ปุ่น),  
กรุงเทพมหานคร. 564n.

บัญชา เอกกัณฑ์. 2539. **การเปรียบเทียบเสถียรภาพของคอนกรีตแอสฟัลต์ผสมปูนขาวกับ  
คอนกรีตแอสฟัลต์ผสมปูนซีเมนต์ปอร์ตแลนด์**. วิทยานิพนธ์มหาบัณฑิต สาขาวิชาวิศวกรรม  
โยธา คณะวิศวกรรมศาสตร์. มหาวิทยาลัยขอนแก่น. 73n.

สมพงษ์ ชีไชสง. 2542 .**การศึกษาการปรับปรุงผิวทางแอสฟัลต์คอนกรีตโดยใช้ถ่านอยลิกไนต์ผสมเพิ่มในแอสฟัลต์ซีเมนต์เกรด Pen. 60/70 และใช้ถ่านอยลิกไนต์แทนมวลรวมละอียดในแอสฟัลต์คอนกรีต.** วิทยานิพนธ์มหा�บันทิต สาขาวิศวกรรมโยธา ภาควิชา วิศวกรรมศาสตร์. มหาวิทยาลัยเกษตรศาสตร์, กรุงเทพมหานคร.

Abo-Qudais SA. (2007). **The effects of environmental damage evaluation techniques on the prediction of environmental damage in asphalt mixtures.** Building and Environment Journal, UK [submitted].

Brown ER, Bassett CE. (1990). **Effect of maximum aggregate size on ruttingpotential and other properties of asphalt aggregate mixtures.** Building and Environment Journal.

Burak Sengoz, Ali Topal. (2006). **Minimum voids in mineral aggregate in hot-mix asphalt based on asphalt film thickness.** Building and Environment Journal.

M. Shahul Hameed and A. S. S. Sekar (2008). **Properties of Green Concrete Containing Quarry Rock Dust and Mable Sludge Powder as fine Aggregate.** Building and Environment Journal.

Ratnasamy Muniandy, Eltaher Elzarroug Aburkaba, Hussain Bin Hamid and Robiah BT Yunus (2009). **An Initia Investigation of the usd of Local Industrial Wastes and By-Products as Mineral Fillers in Stone Mastic Asphalt Pavements.** Building and Environment Journal.

Shaopeng Wu, Yongjie Xue, Qunshan Ye and Yongchun Chen.(2006). **Utilization of steel slag as aggregates for stone mastic asphalt (SMA) mixtures.** Building and Environment Journal 42, pp. 2580-2585

ภาคผนวก ก

ผลทดสอบ

ตารางผนวกที่ 1 ผลการทดสอบแอสฟัลต์คอนกรีต Job Mix

## วัสดุ เอสฟิลต์คอนกรีต

แหล่งวัสดุ โรงไม่หิน ต.หนองน้ำแดง อ.ปากช่อง จ.นครราชสีมา, แอสฟัลต์ซีเมนต์บริษัททิปโก้ สถานที่ทดสอบ ห้องทดสอบวัสดุการทาง ม.เทคโนโลยีสุรนารีและกรมทางหลวงที่ 8

ตารางผนวกที่ 2 ผลการทดสอบแอสฟัลต์คอนกรีต

วัสดุ แอสฟัลต์คอนกรีต

แหล่งวัสดุ โรงไม่หิน ต.หนองน้ำแดง อ.ปากช่อง จ.นครราชสีมา, แอสฟัลต์ซีเมนต์บริษัทปีโก้  
สถานที่ทดสอบ ส่วนตรวจสอบวิเคราะห์ทางวิศวกรรมกรมทางหลวงที่ 8 และห้องทดสอบวัสดุการ  
ทาง ม.เทคโนโลยีสุรนารี

ขนาดคละมวลรวม 1:2:3:4 = 54:19:12:15

แอสฟัลต์ซีเมนต์ AC 60-70

ดพ.เฉลี่ยมวลรวม (Gag) = 2.717

ดพ.แอสฟัลต์ซีเมนต์ (Gac) = 1.03

จำนวนการบดอัด = 75

%การดูดซึมยาง (x) = 0.25

No. ตัวอย่าง	1	2	3	1	2	3	1	2	3
%AC by Mass of Agg. (a)		4			4.5			5	
%AC by Mass of Mix (b)		3.85			4.31			4.76	
%Eff. AC by Mass of Mix(c) : b-x(100-b)/100		3.61			4.07			4.53	
Spec. Hgt. in(d)									
ความหนาแน่น									
Mass in Air g(e)	1236.9	1236.6	1233.1	1240.3	1238.1	1240.1	1237.7	1242.8	1238.7
Mass Sat. Surface Dry g(f)	1250.7	1254.4	1246.7	1248.2	1239.3	1243.5	1240.2	1243.6	1242.0
Mass in Water g(g)	721.8	725.1	719.4	730.9	723.5	726.2	729.0	732.7	732.3
Bulk Volume ml (h):f:g	528.9	529.3	527.3	517.3	515.7	517.3	511.2	510.9	509.7
Bulk Density g/ml (i):e/h	2.339	2.336	2.339	2.398	2.401	2.397	2.421	2.433	2.430
เฉลี่ยความหนาแน่น		2.338			2.399			2.428	
VOIDS ANALYSIS									
Volume AC %Total (j):c*i/Gac		8.2			9.5			10.7	
Volume Agg %Total (k):(100-b)i/Gag		82.8			84.5			85.1	
VMA % (l):100-k		17.2			15.5			14.9	
Air Voids % (m):l-j		9.1			6.0			4.2	
VFB % (n):100*j/l		47.5			61.1			71.8	
เสถียรภาพ									
Measurement lbs	2428	2514	2456	2514	2342	2536	2496	2308	2376
Adjust lbs	2161	2162	2186	2237	2249	2257	2222	2216	2210
เฉลี่ยเสถียรภาพ lbs		2170			2248			2216	
การให้ผล									
Measurement 1/100 in (0.25 mm)	9	9	9	10	10	10	11	11	11
เฉลี่ยการให้ผล 1/100 in (0.25 mm)		9			10			11	

ตารางผนวกที่ 2 ผลการทดสอบแอสฟัลต์คอนกรีต (ต่อ)

วัสดุ แอสฟัลต์คอนกรีต

แหล่งวัสดุ โรงไม่หิน ต.หนองน้ำแดง อ.ปากช่อง จ.นครราชสีมา, แอสฟัลต์ซีเมนต์บริษัทปีโก้  
สถานที่ทดสอบ ส่วนตรวจสอบวิเคราะห์ทางวิศวกรรมกรมทางหลวงที่ 8 และห้องทดสอบวัสดุการ  
 ทาง ม.เทคโนโลยีสุรนารี

ขนาดคละมวลรวม 1:2:3:4 = 54:19:12:15

แอสฟัลต์ซีเมนต์ AC 60-70

ดพ.เนลลี่มวลรวม Filler (Gag) = 2.716

ดพ.แอสฟัลต์ซีเมนต์ (Gac) = 1.03

จำนวนการบดอัด = 75

%การดูดซึมยาง (x) = 0.25

No. ตัวอย่าง	1	2	3	1	2	3			
%AC by Mass of Agg. (a)		5.5			6				
%AC by Mass of Mix (b)		5.21			5.66				
%Eff. AC by Mass of Mix(c) : $b-x(100-b)/100$		4.98			5.43				
Spec. Hgt. in(d)									
ความหนาแน่น									
Mass in Air g(e)	1237.3	1237.0	1237.5	1242.1	1243.9	1238.6			
Mass Sat. Surface Dry g(f)	1238.8	1246.9	1239.5	1243.0	1244.8	1239.5			
Mass in Water g(g)	729.7	737.4	730.7	728.7	729.0	725.8			
Bulk Volume ml (h):f-g	509.1	509.5	508.8	514.3	515.8	513.7			
Bulk Density g/ml (i):e/h	2.430	2.428	2.432	2.415	2.412	2.411			
เฉลี่ยความหนาแน่น		2.430			2.413				
VOIDS ANALYSIS									
Volume AC %Total (j):c*i/Gac		11.8			12.7				
Volume Agg %Total (k):(100-b)i/Gag		84.8			83.8				
VMA % (l):100-k		15.2			16.2				
Air Voids % (m):l-j		3.5			3.5				
VFB % (n):100*j/l		77.3			78.4				
เสถียรภาพ									
Measurement lbs	2211	2394	2222	2165	2068	1988			
Adjust lbs	2056	2059	2067	1927	1923	1909			
เฉลี่ยเสถียรภาพ lbs		2060			1920				
การไฮด									
Measurement 1/100 in (0.25 mm)	11	11	11	11	11	11			
เฉลี่ยการไฮด 1/100 in (0.25 mm)		11			11				

ตารางผนวกที่ 3 ผลการทดสอบค่าดัชนีความแข็งแรง Strength Index

วัสดุ แอสฟัลต์คอนกรีต

แหล่งวัสดุ โรงไม่หิน ต.หนองน้ำแดง อ.ปากช่อง จ.นครราชสีมา, แอสฟัลต์ซีเมนต์บริษัทปีโก้  
สถานที่ทดสอบ ส่วนตรวจสอบวิเคราะห์ทางวิศวกรรมกรมทางหลวงที่ 8 และห้องทดสอบวัสดุการ  
 ทาง ม.เทคโนโลยีสุรนารี

ขนาดคละมวลรวม 1:2:3:4 = 54:19:12:15

แอสฟัลต์ซีเมนต์ AC 60-70

ดพ.เนลลี่มวลรวม Filler (Gag) = 2.716

ดพ.แอสฟัลต์ซีเมนต์ (Gac) = 1.03

จำนวนการบดอัด = 75

%การดูดซึมยาง (x) = 0.25

No. ตัวอย่าง	1	2	3	4	1	2	3	4		
%AC by Mass of Agg. (a)	4.8					4.8				
%AC by Mass of Mix (b)	4.58					4.58				
%Eff. AC by Mass of Mix(c) : b-x(100-b)/100	4.34					4.34				
Spec. Hgt. in(d)	Soaked					Unsoked				
ความหนาแน่น										
Mass in Air g(e)	1247.7	1252.8	1248.5	1250.2	1250.7	1249.1	1250.5	1248.9		
Mass Sat. Surface Dry g(f)	1253.7	1254.6	1253.9	1254.1	1254.9	1254.0	1255.1	1253.7		
Mass in Water g(g)	730.2	730.5	731.0	729.3	731.2	730.3	730.4	730.6		
Bulk Volume ml (h):f-g	523.5	524.1	522.9	524.8	523.7	523.7	524.7	523.1		
Bulk Density g/ml (i):e/h	2.383	2.390	2.388	2.382	2.388	2.385	2.383	2.387		
เฉลี่ยความหนาแน่น	2.386					2.386				
VOIDS ANALYSIS										
Volume AC %Total (j):c*i/Gac	10.1					10.1				
Volume Agg %Total (k):(100-b)i/Gag	83.8					83.8				
VMA % (l):100-k	16.2					16.2				
Air Voids % (m):l-j	6.1					6.1				
VFB % (n):100*j/l	62.2					62.2				
เสถียรภาพ										
Measurement lbs	6055	5964	5735	5735	7449	7420	7192	6992		
Adjust lbs	5389	5546	5334	5506	6629	6604	6688	6712		
เฉลี่ยเสถียรภาพ lbs	5444					6658				
การให้ผล										
Measurement 1/100 in (0.25 mm)	19	20	20	19	15	16	16	16		
เฉลี่ยการให้ผล 1/100 in (0.25 mm)	20					16				

$$\text{Strength Index} = \frac{5444}{6658} \times 100 = 81.8\%$$

ตารางผนวกที่ 4 ผลการทดสอบแอสฟัลต์คอนกรีตผสมแทรกด้วยซีเมนต์

วัสดุ แอสฟัลต์คอนกรีต, ซีเมนต์ปอร์ตแลนด์ประเภทที่ 1

แหล่งวัสดุ โรงโม่หิน ต.หนองน้ำแดง อ.ปากช่อง จ.นครราชสีมา, ซีเมนต์

สถานที่ทดสอบ และห้องทดสอบวัสดุการทาง ม.เทคโนโลยีสุรนารี

ขนาดคณิตมวลรวม  $1:2:3:4 = 54:19:12:15$

แอสฟัลต์ซีเมนต์ AC 60-70

ถพ.เฉลี่ยมวลรวม (Gag) = 2.717

ถพ.แอสฟัลต์ซีเมนต์ (Gac) = 1.03

จำนวนการบดอัด = 75

%การดูดซึมยาง (x) = 0.25

No. ตัวอย่าง	1	2	3	1	2	3	1	2	3
%AC by Mass of Agg. (a)	4.8	0.5		4.8	1.0		4.8	1.5	
%AC by Mass of Mix (b)	4.58			4.58			4.58		
%Eff. AC by Mass of Mix(c) : $b-x(100-b)/100$	4.34			4.34			4.34		
Spec. Hgt. in(d)									
ความหนาแน่น									
Mass in Air g(e)	1245.9	1245.1	1248.3	1257.5	1261.8	1259.1	1262.5	1262.7	1264.6
Mass Sat. Surface Dry g(f)	1247.3	1246.3	1250.3	1258.2	1262.8	1257.1	1263.5	1263.7	1265.4
Mass in Water g(g)	731.9	731.4	733.0	740.3	743.2	738.8	748.8	749.5	749.0
Bulk Volume ml (h):f-g	515.5	515.0	517.3	517.9	519.6	518.3	514.7	514.2	516.4
Bulk Density g/ml (i):e/h	2.417	2.418	2.413	2.428	2.429	2.429	2.453	2.456	2.449
เฉลี่ยความหนาแน่น	2.416			2.429			2.452		
VOIDS ANALYSIS									
Volume AC %Total (j):c*i/Gac	10.2			10.2			10.3		
Volume Agg %Total (k):(100-b)i/Gag	84.9			85.3			86.2		
VMA % (l):100-k	15.1			14.7			13.8		
Air Voids % (m):l-j	4.9			4.4			3.5		
VFB % (n):100*j/l	67.3			69.7			74.7		
เสียงรากฟ้า									
Measurement lbs	2474	2479	2456	2622	2662	2622	2548	2582	2582
Adjust lbs	2300	2306	2284	2439	2369	2439	2446	2479	2479
เฉลี่ยเสียงรากฟ้า lbs	2297			2415			2468		
การไหลด									
Measurement 1/100 in (0.25 mm)	10	11	10	11	11	11	11	11	11
เฉลี่ยการไหลด 1/100 in (0.25 mm)	10.3			10.6			11.0		

ตารางผนวกที่ 4 ผลการทดสอบแอสฟัลต์คอนกรีตผสมแทรกด้วยซีเมนต์ (ต่อ)

วัสดุ แอสฟัลต์คอนกรีต, ซีเมนต์ปอร์ตแลนด์ประเภทที่ 1

แหล่งวัสดุ โรงโม่หิน ต.หนองน้ำแดง อ.ปากช่อง จ.นครราชสีมา, ซีเมนต์

สถานที่ทดสอบ ห้องทดสอบวัสดุการทาง ม.เทคโนโลยีสุรนารี

ขนาดคณิตมวลรวม 1:2:3:4 = 54:19:12:15

แอสฟัลต์ซีเมนต์ AC 60-70

ถพ.เคลือบมวลรวม Filler (Gag) = 2.716

ถพ.แอสฟัลต์ซีเมนต์ (Gac) = 1.03

จำนวนการบดอัด = 75

%การดูดซึมยาง (x) = 0.25

No. ตัวอย่าง	1	2	3	1	2	3	1	2	3
%AC by Mass of Agg. (a)	4.8	2.0		4.8	2.5		4.8	3.0	
%AC by Mass of Mix (b)	4.58			4.58			4.58		
%Eff. AC by Mass of Mix(c) : b-x(100-b)/100	4.34			4.34			4.34		
Spec. Hgt. in(d)									
ความหนาแน่น									
Mass in Air g(e)	1268.0	1267.7	1266.4	1278.1	1273.9	1273.4	1283.2	1279.8	1282.1
Mass Sat. Surface Dry g(f)	1268.8	1268.2	1267.2	1278.5	1274.8	1274.0	1283.9	1283.7	1284.0
Mass in Water g(g)	755.4	754.3	753.4	764.2	757.6	758.4	769.9	765.0	763.9
Bulk Volume ml (h):f-g	513.4	513.9	513.8	514.3	517.3	515.6	514.0	518.7	520.1
Bulk Density g/ml (i):e/h	2.470	2.467	2.465	2.485	2.463	2.470	2.497	2.467	2.465
เฉลี่ยความหนาแน่น	2.467			2.473			2.476		
VOIDS ANALYSIS									
Volume AC %Total (j):c*i/Gac	10.4			10.4			10.4		
Volume Agg %Total (k):(100-b)i/Gag	86.7			86.9			87.0		
VMA % (l):100-k	13.3			13.1			13.0		
Air Voids % (m):l-j	2.9			2.7			2.6		
VFB % (n):100*j/l	78.1			79.4			80.3		
เสียงรบกวน									
Measurement lbs	2753	2645	2719	2679	2753	2748	2651	2822	2851
Adjust lbs	2561	2539	2529	2572	2561	2555	2545	2512	2537
เฉลี่ยเสียงรบกวน lbs	2543			2563			2531		
การให้ผล									
Measurement 1/100 in (0.25 mm)	11	11	11	12	12	11	11	11	11
เฉลี่ยการให้ผล 1/100 in (0.25 mm)	11.3			11.6			11.4		

ตารางผนวกที่ 4 ผลการทดสอบแอสฟัลต์คอนกรีตผสมแทรกด้วยซีเมนต์ (ต่อ)

วัสดุ แอสฟัลต์คอนกรีต, ซีเมนต์ปอร์ตแลนด์ประเภทที่ 1

แหล่งวัสดุ โรงโม่หิน ต.หนองน้ำแดง อ.ปากช่อง จ.นครราชสีมา, ซีเมนต์

สถานที่ทดสอบ ห้องทดสอบวัสดุการทาง ม.เทคโนโลยีสุรนารี

ขนาดคณิตมวลรวม 1:2:3:4 = 54:19:12:15

แอสฟัลต์ซีเมนต์ AC 60-70

ถพ.เคลือบมวลรวม Filler (Gag) = 2.716

ถพ.แอสฟัลต์ซีเมนต์ (Gac) = 1.03

จำนวนการบดอัด = 75

%การดูดซึมยาง (x) = 0.25

No. ตัวอย่าง	1	2	3	1	2	3		
%AC by Mass of Agg. (a)	4.8	4.0		4.8	5.0			
%AC by Mass of Mix (b)	4.58			4.58				
%Eff. AC by Mass of Mix(c) : b-x(100-b)/100	4.34			4.34				
Spec. Hgt. in(d)								
ความหนาแน่น								
Mass in Air g(e)	1294.7	1292.9	1295.0	1308.3	1308.2	1304.4		
Mass Sat. Surface Dry g(f)	1295.7	1294.3	1295.9	1308.9	1309.0	1305.2		
Mass in Water g(g)	773.3	773.7	777.4	782.6	787.6	777.0		
Bulk Volume ml (h):f-g	522.4	520.6	518.5	526.2	521.4	528.2		
Bulk Density g/ml (i):e/h	2.478	2.484	2.498	2.486	2.509	2.470		
เฉลี่ยความหนาแน่น	2.487			2.488				
VOIDS ANALYSIS								
Volume AC %Total (j):c*i/Gac	10.5			10.5				
Volume Agg %Total (k):(100-b)i/Gag	87.4			87.4				
VMA % (l):100-k	12.6			12.6				
Air Voids % (m):l-j	2.2			2.1				
VFB % (n):100*j/l	82.9			83.3				
เสียงรากฟ้า								
Measurement lbs	2771	2793	2811	2679	2674	2668		
Adjust lbs	2466	2486	2501	2492	2486	2374		
เฉลี่ยเสียงรากฟ้า lbs	2484			2451				
การไหลด								
Measurement 1/100 in (0.25 mm)	11	10	10	9	9	9		
เฉลี่ยการไหลด 1/100 in (0.25 mm)	10.4			9.2				

ตารางผนวกที่ 5 ผลการทดสอบแอสฟัลต์คอนกรีตผสมแทรกด้วยผุ้นหิน

วัสดุ แอสฟัลต์คอนกรีต, ผุ้นหิน

แหล่งวัสดุ โรงโม่หิน ต.หนองน้ำแดง อ.ปากช่อง จ.นครราชสีมา, โรงผสมแอสฟัลต์คอนกรีต ต.

โภคกรวด

สถานที่ทดสอบ และห้องทดสอบวัสดุการทาง ม.เทคโนโลยีสุรนารี

ขนาดคละมวลรวม 1:2:3:4 = 54:19:12:15

แอสฟัลต์ซีเมนต์ AC 60-70

ดพ.เฉลี่ยมวลรวม (Gag) = 2.717

ดพ.แอสฟัลต์ซีเมนต์ (Gac) = 1.03

จำนวนการบดอัด = 75

%การดูดซึมยาง (x) = 0.25

No. ตัวอย่าง	1	2	3	1	2	3	1	2	3
%AC by Mass of Agg. (a)	4.8	0.5		4.8	1		4.8	1.5	
%AC by Mass of Mix (b)	4.58			4.58			4.58		
%Eff. AC by Mass of Mix(c) : b-x(100-b)/100	4.34			4.34			4.34		
Spec. Hgt. in(d)									
ความหนาแน่น									
Mass in Air g(e)	1250.7	1251.4	1251.1	1262.1	1258.5	1257.8	1264.6	1265.0	1263.8
Mass Sat. Surface Dry g(f)	1251.2	1254.0	1252.5	1262.8	1259.1	1258.8	1266.2	1265.8	1265.1
Mass in Water g(g)	734.4	734.2	735.9	746.8	742.7	743.2	750.9	749.4	751.0
Bulk Volume ml (h):f-g	516.8	519.8	516.6	516.0	516.4	515.6	515.2	516.4	514.1
Bulk Density g/ml (i):e/h	2.420	2.407	2.422	2.446	2.437	2.440	2.454	2.450	2.458
เฉลี่ยความหนาแน่น	2.416			2.441			2.454		
VOIDS ANALYSIS									
Volume AC %Total (j):c*i/Gac	10.2			10.3			10.3		
Volume Agg %Total (k):(100-b)i/Gag	84.9			85.8			86.2		
VMA % (l):100-k	15.1			14.2			13.8		
Air Voids % (m):l-j	4.9			4.0			3.4		
VFB % (n):100*j/l	67.4			72.2			75.1		
เสถียรภาพ									
Measurement lbs	2348	2514	2371	2302	2474	2582	2508	2485	2479
Adjust lbs	2184	2237	2276	2302	2300	2298	2332	2386	2380
เฉลี่ยเสถียรภาพ lbs	2232			2300			2366		
การไฮด									
Measurement 1/100 in (0.25 mm)	10	10	10	10	11	11	11	11	11
เฉลี่ยการไฮด 1/100 in (0.25 mm)	10.3			11.6			11.8		

ตารางผนวกที่ 5 ผลการทดสอบแอสฟัลต์คอนกรีตผสมแทรกด้วยผุนหิน (ต่อ)

วัสดุ แอสฟัลต์คอนกรีต, ผุนหิน

แหล่งวัสดุ โรงโม่หิน ต.หนองน้ำแดง อ.ปากช่อง จ.นครราชสีมา, โรงผสมแอสฟัลต์คอนกรีต ต.

โภคกรวด

สถานที่ทดสอบ ห้องทดสอบวัสดุการทาง ม.เทคโนโลยีสุรนารี

ขนาดคละมวลรวม 1:2:3:4 = 54:19:12:15

แอสฟัลต์ซีเมนต์ AC 60-70

ดพ.เนลลี่มวลรวม Filler (Gag) = 2.716

ดพ.แอสฟัลต์ซีเมนต์ (Gac) = 1.03

จำนวนการบดอัด = 75

%การดูดซึมยาง (x) = 0.25

No. ตัวอย่าง	1	2	3	1	2	3	1	2	3
%AC by Mass of Agg. (a)	4.8	2		4.8	2.5		4.8	3	
%AC by Mass of Mix (b)	4.58			4.58			4.58		
%Eff. AC by Mass of Mix(c) : b-x(100-b)/100	4.34			4.34			4.34		
Spec. Hgt. in(d)									
ความหนาแน่น									
Mass in Air g(e)	1271.2	1270.7	1269.9	1279.0	1277.3	1277.4	1282.2	1283.4	1283.2
Mass Sat. Surface Dry g(f)	1271.9	1271.4	1270.4	1279.4	1277.9	1277.6	1283.0	1284.7	1284.5
Mass in Water g(g)	760.0	756.8	757.5	765.3	764.0	763.6	767.3	767.8	769.4
Bulk Volume ml (h):f-g	511.9	514.6	512.9	514.1	513.9	514.0	515.7	516.9	515.1
Bulk Density g/ml (i):e/h	2.483	2.469	2.476	2.488	2.485	2.485	2.486	2.483	2.491
เฉลี่ยความหนาแน่น	2.476			2.486			2.487		
VOIDS ANALYSIS									
Volume AC %Total (j):c*i/Gac	10.4			10.5			10.5		
Volume Agg %Total (k):(100-b)i/Gag	87.0			87.3			87.4		
VMA % (l):100-k	13.0			12.7			12.6		
Air Voids % (m):l-j	2.6			2.2			2.1		
VFB % (n):100*j/l	80.2			82.8			83.0		
เสถียรภาพ									
Measurement lbs	2588	2605	2331	2616	2536	2428	2651	2753	2674
Adjust lbs	2407	2423	2424	2433	2435	2428	2465	2451	2486
เฉลี่ยเสถียรภาพ lbs	2418			2432			2467		
การไฮด									
Measurement 1/100 in (0.25 mm)	11	11	11	11	11	11	11	11	11
เฉลี่ยการไฮด 1/100 in (0.25 mm)	11.3			11.4			11.3		

ตารางผนวกที่ 5 ผลการทดสอบแอสฟัลต์คอนกรีตผสมแทรกด้วยผุนหิน (ต่อ)

วัสดุ แอสฟัลต์คอนกรีต, ผุนหิน

แหล่งวัสดุ โรงโม่หิน ต.หนองน้ำแดง อ.ปากช่อง จ.นครราชสีมา, โรงผสมแอสฟัลต์คอนกรีต ต.

โภคกรวด

สถานที่ทดสอบ ห้องทดสอบวัสดุการทาง ม.เทคโนโลยีสุรนารี

ขนาดคละมวลรวม 1:2:3:4 = 54:19:12:15

แอสฟัลต์ซีเมนต์ AC 60-70

ดพ.เนลลี่มวลรวม Filler (Gag) = 2.716

ดพ.แอสฟัลต์ซีเมนต์ (Gac) = 1.03

จำนวนการบดอัด = 75

%การดูดซึมยาง (x) = 0.25

No. ตัวอย่าง	1	2	3	1	2	3		
%AC by Mass of Agg. (a)	4.8	4		4.8	5			
%AC by Mass of Mix (b)	4.58			4.58				
%Eff. AC by Mass of Mix(c) : b-x(100-b)/100	4.34			4.34				
Spec. Hgt. in(d)								
ความหนาแน่น								
Mass in Air g(e)	1298.2	1295.6	1298.5	1308.6	1309.1	1306.8		
Mass Sat. Surface Dry g(f)	1300.6	1296.8	1300.1	1309.8	1310.3	1307.7		
Mass in Water g(g)	778.1	773.7	776.3	781.3	780.2	778.7		
Bulk Volume ml (h):f-g	522.5	523.1	523.8	528.5	530.1	529.0		
Bulk Density g/ml (i):e/h	2.485	2.477	2.479	2.476	2.470	2.470		
เฉลี่ยความหนาแน่น	2.480			2.472				
VOIDS ANALYSIS								
Volume AC %Total (j):c*i/Gac	10.5			10.4				
Volume Agg %Total (k):(100-b)i/Gag	87.1			86.8				
VMA % (l):100-k	12.9			13.2				
Air Voids % (m):l-j	2.4			2.7				
VFB % (n):100*j/l	81.2			79.2				
เสถียรภาพ								
Measurement lbs	2645	2582	2776	2542	2531	2662		
Adjust lbs	2460	2479	2471	2364	2354	2369		
เฉลี่ยเสถียรภาพ lbs	2470			2362				
การไฮด								
Measurement 1/100 in (0.25 mm)	11	11	11	10	9	9		
เฉลี่ยการไฮด 1/100 in (0.25 mm)	10.8			9.6				

**ตารางผนวกที่ 6 ผลการทดสอบแอสฟัลต์คอนกรีตผสมแทรกด้วยถ้าโลยลิก ในตัวอย่าง**

**วัสดุ แอสฟัลต์คอนกรีต, ถ้าโลยลิก ในตัวอย่าง**

**แหล่งวัสดุ โรงโม่หิน ต.หนองน้ำแดง อ.ปากช่อง จ.นครราชสีมา, โรงไฟฟ้าแม่เมฆ  
สถานที่ทดสอบ และห้องทดสอบวัสดุการทาง ม.เทคโนโลยีสุรนารี**

**ขนาดคณิตมวลรวม 1:2:3:4 = 54:19:12:15**

**แอสฟัลต์ซีเมนต์ AC 60-70**

**ถพ.เคลือบมวลรวม (Gag) = 2.717**

**ถพ.แอสฟัลต์ซีเมนต์ (Gac) = 1.03**

**จำนวนการบดอัด = 75**

**%การดูดซึมยาง (x) = 0.25**

No. ตัวอย่าง	1	2	3	1	2	3	1	2	3
%AC by Mass of Agg. (a)	4.8	0.5		4.8	1		4.8	1.5	
%AC by Mass of Mix (b)	4.58			4.58			4.58		
%Eff. AC by Mass of Mix(c) : b-x(100-b)/100	4.34			4.34			4.34		
Spec. Hgt. in(d)									
ความหนาแน่น									
Mass in Air g(e)	1249.4	1248.4	1251.4	1259.7	1258.4	1258.6	1264.1	1256.4	1260.9
Mass Sat. Surface Dry g(f)	1252.5	1250.4	1256.0	1260.9	1259.4	1259.6	1264.8	1261.6	1262.1
Mass in Water g(g)	735.6	734.4	737.5	741.0	739.4	740.1	747.6	743.4	743.6
Bulk Volume ml (h):f-g	516.9	516.0	518.5	519.9	520.0	519.5	517.2	518.2	518.5
Bulk Density g/ml (i):e/h	2.417	2.419	2.413	2.423	2.420	2.423	2.444	2.424	2.432
เฉลี่ยความหนาแน่น	2.417			2.422			2.434		
VOIDS ANALYSIS									
Volume AC %Total (j):c*i/Gac	10.2			10.2			10.3		
Volume Agg %Total (k):(100-b)i/Gag	84.9			85.1			85.5		
VMA % (l):100-k	15.1			14.9			14.5		
Air Voids % (m):l-j	4.9			4.7			4.2		
VFB % (n):100*j/l	67.5			68.5			70.7		
เส้นยาร้าฟ									
Measurement lbs	2519	2536	2485	2565	2428	2485	2542	2691	2645
Adjust lbs	2167	2257	2311	2283	2331	2311	2364	2314	2354
เฉลี่ย เส้นยาร้าฟ lbs	2245			2308			2344		
การไหลด									
Measurement 1/100 in (0.25 mm)	10	10	10	11	10	11	11	11	11
เฉลี่ยการไหลด 1/100 in (0.25 mm)	10.2			10.5			10.6		

ตารางผนวกที่ 6 ผลการทดสอบแอสฟัลต์คอนกรีตผสมแทรกด้วยถ้าโลยลิกไนต์ (ต่อ)

วัสดุ แอสฟัลต์คอนกรีต, ถ้าโลยลิกไนต์

แหล่งวัสดุ โรงโม่หิน ต.หนองน้ำแดง อ.ปากช่อง จ.นครราชสีมา, โรงไฟฟ้าแม่เมะ

สถานที่ทดสอบ ห้องทดสอบวัสดุการทาง ม.เทคโนโลยีสุรนารี

ขนาดคณิตมวลรวม 1:2:3:4 = 54:19:12:15

แอสฟัลต์ซีเมนต์ AC 60-70

ถพ.เคลือบมวลรวม Filler (Gag) = 2.716

ถพ.แอสฟัลต์ซีเมนต์ (Gac) = 1.03

จำนวนการบดอัด = 75

%การดูดซึมยาง (x) = 0.25

No. ตัวอย่าง	1	2	3	1	2	3	1	2	3
%AC by Mass of Agg. (a)	4.8	2		4.8	2.5		4.8	3	
%AC by Mass of Mix (b)	4.58			4.58			4.58		
%Eff. AC by Mass of Mix(c) : $b-x(100-b)/100$	4.34			4.34			4.34		
Spec. Hgt. in(d)									
ความหนาแน่น									
Mass in Air g(e)	1269.2	1268.6	1269.1	1276.4	1272.8	1277.3	1282.3	1282.6	1280.6
Mass Sat. Surface Dry g(f)	1271.1	1270.2	1270.8	1278.1	1274.4	1279.2	1282.9	1283.5	1282.6
Mass in Water g(g)	751.7	750.2	750.9	758.1	752.5	758.7	762.2	764.3	761.6
Bulk Volume ml (h):f-g	519.4	520.0	519.9	520.0	521.9	520.5	520.7	519.2	521.0
Bulk Density g/ml (i):e/h	2.444	2.440	2.441	2.455	2.439	2.454	2.463	2.470	2.458
เฉลี่ยความหนาแน่น	2.442			2.449			2.464		
VOIDS ANALYSIS									
Volume AC %Total (j):c*i/Gac	10.3			10.3			10.4		
Volume Agg %Total (k):(100-b)i/Gag	85.8			86.0			86.6		
VMA % (l):100-k	14.2			14.0			13.4		
Air Voids % (m):l-j	3.9			3.6			3.1		
VFB % (n):100*j/l	72.4			74.0			77.2		
เสียงรบกวน									
Measurement lbs	2565	2565	2691	2736	2719	2605	2611	2731	2811
Adjust lbs	2385	2385	2395	2435	2420	2423	2428	2430	2417
เฉลี่ยเสียงรบกวน lbs	2389			2426			2425		
การให้ผล									
Measurement 1/100 in (0.25 mm)	11	11	11	11	11	11	10	10	10
เฉลี่ยการให้ผล 1/100 in (0.25 mm)	10.9			10.6			10.1		

ตารางผนวกที่ 6 ผลการทดสอบแอสฟัลต์คอนกรีตผสมแทรกด้วยถ้าโลยลิกไนต์ (ต่อ)

วัสดุ แอสฟัลต์คอนกรีต, ถ้าโลยลิกไนต์

แหล่งวัสดุ โรงโม่หิน ต.หนองน้ำแดง อ.ปากช่อง จ.นครราชสีมา, โรงไฟฟ้าแม่เมะ

สถานที่ทดสอบ ห้องทดสอบวัสดุการทาง ม.เทคโนโลยีสุรนารี

ขนาดคณิตมวลรวม 1:2:3:4 = 54:19:12:15

แอสฟัลต์ซีเมนต์ AC 60-70

ถพ.เคลือบมวลรวม Filler (Gag) = 2.716

ถพ.แอสฟัลต์ซีเมนต์ (Gac) = 1.03

จำนวนการบดอัด = 75

%การดูดซึมยาง (x) = 0.25

No. ตัวอย่าง	1	2	3	1	2	3		
%AC by Mass of Agg. (a)	4.8	4		4.8	5			
%AC by Mass of Mix (b)	4.58			4.58				
%Eff. AC by Mass of Mix(c) : $b-x(100-b)/100$	4.34			4.34				
Spec. Hgt. in(d)								
ความหนาแน่น								
Mass in Air g(e)	1293.9	1292.9	1292.0	1307.5	1306.8	1305.9		
Mass Sat. Surface Dry g(f)	1295.1	1293.9	1293.8	1308.4	1308.9	1306.6		
Mass in Water g(g)	771.6	770.5	771.5	781.8	781.6	781.7		
Bulk Volume ml (h):f-g	523.5	523.4	522.3	526.6	527.3	524.9		
Bulk Density g/ml (i):e/h	2.472	2.470	2.474	2.483	2.478	2.488		
เฉลี่ยความหนาแน่น	2.472			2.483				
VOIDS ANALYSIS								
Volume AC %Total (j):c*i/Gac	10.4			10.5				
Volume Agg %Total (k):(100-b)i/Gag	86.8			87.2				
VMA % (l):100-k	13.2			12.8				
Air Voids % (m):l-j	2.7			2.3				
VFB % (n):100*j/l	79.2			82.0				
เสียงรากฟ้า								
Measurement lbs	2713	2588	2719	2548	2656	2691		
Adjust lbs	2415	2407	2420	2369	2364	2395		
เฉลี่ยเสียงรากฟ้า lbs	2414			2376				
การไฮด								
Measurement 1/100 in (0.25 mm)	10	9	9	9	9	9		
เฉลี่ยการไฮด 1/100 in (0.25 mm)	9.6			8.9				

ตารางผนวกที่ 7 ผลการทดสอบโมดูลัสต้านทาน โดยวิธีแรงดึงทางอ้อมที่อุณหภูมิ 40 องศาเซลเซียส  
วัสดุ แอสฟัลต์คอนกรีต, ผสมแทรกรซีเม็นต์, ผสมแทรกรผู้น้ำหนึบ, ผสมแทรกรถea โลຍลิกไนต์  
แหล่งวัสดุ โรงไม่หนิน ต.หนองน้ำแดง อ.ปากช่อง จ.นครราชสีมา, แอสฟัลต์ซีเม็นต์บริษัทปีโก้  
สถานที่ทดลอง ห้องทดสอบวัสดุการทาง ม.นเรศวร

Test No.	Thickness (mm.)	Diameter (mm.)	SMA. (MPa.) 1	SMAm. (MPa.) 2	Mean (MPa.) 1+2	Mean (MPa.)
<u>แอสฟัลต์คอนกรีต</u>	1	64.98	102.58	607.50	793.50	700.50
	2	63.40	102.60	542.00	676.50	609.25
	3	63.50	102.00	565.00	621.50	593.25
	4	64.42	102.36	581.00	637.00	609.00
<u>ผสมพิมพ์ซีเม็นต์</u>	1	65.74	101.64	936.00	655.00	795.50
	2	66.20	101.50	751.00	861.80	806.40
	3	65.46	101.90	896.60	644.40	770.50
	4	65.00	101.38	847.80	1005.20	926.50
<u>ผสมพิมพ์ผู้น้ำหนึบ</u>	1	65.00	102.00	713.40	725.40	719.40
	2	64.00	102.00	740.20	690.00	715.10
	3	65.00	101.80	669.60	760.20	714.90
	4	65.00	102.00	589.20	810.80	700.00
<u>ผสมพิมพ์ถ้าดอย</u>	1	65.00	102.00	537.00	446.80	491.90
	2	65.60	101.90	587.00	629.20	608.10
	3	65.00	102.00	671.00	651.80	661.40
	4	65.00	101.80	738.00	795.00	766.50

ตารางผนวกที่ 8 ผลการทดสอบการดูดซึมยางวัสดุมวลรวม  
วัสดุ มวลรวม, และฟลัตซีเมนต์  
แหล่งวัสดุ โรงไม่หิน ต.หนองน้ำแดง อ.ปากช่อง จ.นครราชสีมา, และฟลัตซีเมนต์บริษัทปีโก้  
สถานที่ทดลอง ส่วนตรวจสอบวิเคราะห์ทางวิศวกรรมทางหลวงที่ 8

Sample No.

%AC by Mass of Aggregate	(a) =	6.00%
%AC by Mass of Total Mix	(b) =	5.66%
Mass of Flask in Water	(A) =	725.3g
Mass of Flask in Air	(B) =	1310.3g
Mass of Flask + Sample in Air	(C) =	2342.3g
Mass of Sample in Air = C-B	(D) =	1032.0g
Mass of Flask + Sample in Water after Evacuation	(E) =	1344.5g
Theoretical Maximum Specific Gravity	(Gm) =	$\frac{D}{A + D - E}$
	=	2.500
Virtual Specific Gravity	(Gv) =	$\frac{100 - b}{\left(\frac{100}{Gm}\right) - \left(\frac{b}{Gac}\right)}$
	=	2.734
Bulk Specific Gravity of Mix Aggregate	(Gag) =	2.717
Asphalt Lost by Absorption	(Aac) =	$\frac{100 (Gv - Gag) Gac}{(Gv)(Gag)}$
	=	0.25%

ตารางผนวกที่ 9 ผลการทดสอบ SPECIFIC GRAVITY OF BLEND

วัสดุ มวลรวม

แหล่งวัสดุ โรงโม่หิน ต.หนองน้ำแดง อ.ปากช่อง จ.นครราชสีมา

สถานที่ทดลอง ห้องทดสอบวัสดุการทาง ม.เทคโนโลยีสุรนารี

Retained # 200 GB = 2.698                    GA = 2.760

Passing # 200 GA = 2.753

Blend Sp.Gr.         = 2.703

Description	Lime (L)	Bin 1 (B1)	Bin 2 (B2)	Bin 3 (B3)	Bin 4 (B4)
Bluk Specific Gravity (GB)	-	2.703	2.725	2.758	2.722
Apparent Specific Gravity (GA)	-	2.756	2.770	2.788	2.761
Flakiness Index (F.I.)	-	-	26	28	30
Elongation Index (E.I.)	-	-	7	28	23
%Passing Sieve # 4 (P)	-	92.9	14.5	0.4	0.6
Mix Proportion (H)	-	54	19	12	15

$$\text{Apparent Specific Gravity Blend} = \frac{100}{\left(\frac{HB1}{GA1}\right) + \left(\frac{HB2}{GA2}\right) + \left(\frac{HB3}{GA3}\right) + \left(\frac{HB4}{GA4}\right)}$$

Blend GA         = 2.763

$$\text{Bluk Specific Gravity Blend} = \frac{100}{\left(\frac{HB1}{GB1}\right) + \left(\frac{HB2}{GB2}\right) + \left(\frac{HB3}{GB3}\right) + \left(\frac{HB4}{GB4}\right)}$$

Blend GB         = 2.717

$$\text{Flakiness Index of Total Agg.} = \frac{F.I.2(100-P2)HB2 + F.I.3(100-P3)HB3 + F.I.4(100-P4)HB4}{(100-P2)HB2 + (100-P3)HB3 + (100-P4)HB4}$$

= 28

$$\text{Elongation Index of Total Agg.} = \frac{E.I.2(100-P2)HB2 + E.I.3(100-P3)HB3 + E.I.4(100-P4)HB4}{(100-P2)HB2 + (100-P3)HB3 + (100-P4)HB4}$$

= 18

ตารางผนวกที่ 10 ผลการทดสอบ Sieve Analysis

วัสดุ ซีเมนต์, ผุ้นหิน, เถ้าโลบลิกไนต์

แหล่งวัสดุ โรงโม่หิน ต.หนองน้ำแดง อ.ปากช่อง จ.นครราชสีมา

สถานที่ทดลอง ห้องทดสอบวัสดุการทาง ม.เทคโนโลยีสุรนารี

Sieve No.		First Trial			Second Trial			Average % Passing
		Retained (g)	Passing (g)	Passing (%)	Retained (g)	Passing (g)	Passing (%)	
cement	#30	0	223.61	100.0	0	222.09	100.0	100.0
	#50	1.91	221.70	99.1	1.22	220.87	99.5	99.3
	#100	22.17	199.53	89.2	19.42	201.45	90.7	90.0
	#200	40.48	159.05	71.1	41.87	159.58	71.9	71.5
Rock dust	#30	0	207.10	100.0	0	207.76	100.0	100.0
	#50	0.08	207.02	100.0	0.07	207.69	100.0	100.0
	#100	4.29	202.73	97.9	4.37	203.32	97.9	97.9
	#200	25.62	177.11	85.5	24.75	178.57	86.0	85.7
Fly ash	#30	0	200.09	100.0	0	201.96	100.0	100.0
	#50	0.82	199.27	99.6	1.16	200.80	99.4	99.5
	#100	11.67	187.60	93.8	11.57	189.23	93.7	93.7
	#200	33.7	153.90	76.9	34.8	154.43	76.5	76.7

ตารางผนวกที่ 11 ผลการทดสอบ Bin Combination

วัสดุ มวลรวม

แหล่งวัสดุ โรงไม่หิน ต.หนองน้ำแดง อ.ปากช่อง จ.นครราชสีมา

สถานที่ทดลอง ห้องทดสอบวัสดุการทาง ม.เทคโนโลยีสุรนารี

Bin1:Bin2:Bin3:Bin4 = 54:19:12:15 by mass

Sieve Size	% Passing				Combined
	Bin 1	Bin 2	Bin 3	Bin 4	
1 1/2"					
1"					
3/4"				100.00	100.00
1/2"		100.00	100.00	59.97	94.00
3/8"	100.00	99.94	72.23	25.31	85.45
# 4	92.89	14.50	0.43	0.59	53.06
# 8	50.44	1.07	0.25	0.35	27.52
# 16	28.60	0.64	0.24		15.59
# 30	19.60	0.63			10.70
# 50	14.67				7.92
# 100	11.34				6.12
# 200	9.28				5.01

ตารางผนวกที่ 12 ผลการทดสอบ Sieve Analysis Aggregate

วัสดุ หินฟูน Hot Bin 1

แหล่งวัสดุ โรงโม่หิน ต.หนองน้ำแดง อ.ปากช่อง จ.นครราชสีมา

สถานที่ทดลอง ห้องทดสอบวัสดุการทาง ม.เทคโนโลยีสุรนารี

Sieve No.	First Trial			Second Trial			Average % Passing
	Retained (g)	Passing (g)	Passing (%)	Retained (g)	Passing (g)	Passing (%)	
#4	65.72	873.30	93.0	57.00	733.18	92.8	92.89
#8	376.79	496.51	52.9	353.88	379.30	48.0	50.44
#16	211.76	284.75	30.3	166.96	212.34	26.9	28.60
#30	90.77	193.98	20.7	65.89	146.45	18.5	19.60
#50	48.52	145.46	15.5	36.95	109.50	13.9	14.67
#100	32.87	112.59	12.0	25.01	84.49	10.7	11.34
#200	20.46	92.13	9.8	15.41	69.08	8.7	9.28

ตารางผนวกที่ 13 ผลการทดสอบ Sieve Analysis Aggregate

วัสดุ หิน $\frac{3}{8}$ " Hot Bin 2

แหล่งวัสดุ โรงโม่หิน ต.หนองน้ำแดง อ.ปากช่อง จ.นครราชสีมา

สถานที่ทดลอง ห้องทดสอบวัสดุการทาง ม.เทคโนโลยีสุรนารี

Sieve No.	First Trial			Second Trial			Average % Passing
	Retained (g)	Passing (g)	Passing (%)	Retained (g)	Passing (g)	Passing (%)	
3/8"	2.50	2114.79	99.9	-	1510.40	100.0	99.9
#4	1808.82	305.97	14.5	1290.56	219.84	14.6	14.5
#8	283.04	22.93	1.1	203.73	16.11	1.1	1.1
#16	9.82	13.11	0.6	6.25	9.86	0.7	0.6
#30	0.00	13.11	0.6	0.21	9.65	0.6	0.6

ตารางผนวกที่ 14 ผลการทดสอบ Sieve Analysis Aggregate

วัสดุ หิน 1/2” Hot Bin 3

แหล่งวัสดุ โรงโม่หิน ต.หนองน้ำแดง อ.ปากช่อง จ.นครราชสีมา

สถานที่ทดลอง ห้องทดสอบวัสดุการทาง ม.เทคโนโลยีสุรนารี

Sieve No.	First Trial			Second Trial			Average % Passing
	Retained (g)	Passing (g)	Passing (%)	Retained (g)	Passing (g)	Passing (%)	
1/2”	-	2479.53	100.0	-	2422.57	100.0	100.0
3/8”	651.33	1828.20	73.7	709.19	1713.38	70.7	72.2
#4	1816.21	11.99	0.5	1704.14	9.24	0.4	0.4
#8	5.27	6.72	0.3	3.61	5.63	0.2	0.3

ตารางผนวกที่ 15 ผลการทดสอบ Sieve Analysis Aggregate

วัสดุ หิน 3/4" Hot Bin 4

แหล่งวัสดุ โรงโม่หิน ต.หนองน้ำแดง อ.ปากช่อง จ.นครราชสีมา

สถานที่ทดลอง ห้องทดสอบวัสดุการทาง ม.เทคโนโลยีสุรนารี

Sieve No.	First Trial			Second Trial			Average % Passing
	Retained (g)	Passing (g)	Passing (%)	Retained (g)	Passing (g)	Passing (%)	
3/4"	-	5345.66	100.0	-	5345.66	100.0	100.0
1/2"	2139.69	3205.97	60.0	2139.69	3205.97	60.0	60.0
3/8"	1852.84	1353.13	25.3	1852.84	1353.13	25.3	25.3
#4	1321.81	31.32	0.6	1321.81	31.32	0.6	0.6

ตารางผนวกที่ 16 ผลการทดสอบ Flakiness Index and Elongation Index

วัสดุ หิน3/8" Hot Bin 2

แหล่งวัสดุ โรงโม่หิน ต.หนองน้ำแดง อ.ปากช่อง จ.นครราชสีมา

สถานที่ทดลอง ห้องทดสอบวัสดุการทาง ม.เทคโนโลยีสุรนารี

Flakiness Index

Sieve Size (mm)	Width of Slot Sieve (in.)	Mass of Aggregate (g)			Flakiness index %
		Retained A	Passing B	Total A+B	
63.50-50.80 (2 1/2-2)	34.29 (1.350)				
50.80-38.10 (2-1 1/2)	26.67 (1.050)				
38.10-25.40 (1 1/2-1)	19.05 (0.750)				
25.40-19.05 (1-3/4)	13.34 (0.525)				
19.05-12.70 (3/4-1/2)	9.53 (0.375)				
12.70-9.52 (1/2-3/8)	6.68 (0.263)				
9.52-4.75 (3/8-#4)	4.29 (0.169)	740.31	266.12	1006	
Total		740.31	266.12	1006	26

Elongation Index

Sieve Size (mm)	Width of Slot Sieve (in.)	Mass of Aggregate (g)			Elongation index %
		Retained C	Passing D	Total C+D	
63.50-50.80 (2 1/2-2)	34.29 (1.350)				
50.80-38.10 (2-1 1/2)	26.67 (1.050)				
38.10-25.40 (1 1/2-1)	19.05 (0.750)				
25.40-19.05 (1-3/4)	13.34 (0.525)				
19.05-12.70 (3/4-1/2)	9.53 (0.375)				
12.70-9.52 (1/2-3/8)	6.68 (0.263)				
9.52-4.75 (3/8-#4)	4.29 (0.169)	68.93	937.5	1006	
Total		68.93	937.5	1006	7

ตารางผนวกที่ 17 ผลการทดสอบ Flakiness Index and Elongation Index

วัสดุ หิน1/2” Hot Bin 3

แหล่งวัสดุ โรงโม่หิน ต.หนองน้ำแดง อ.ปากช่อง จ.นครราชสีมา

สถานที่ทดลอง ห้องทดสอบวัสดุการทาง ม.เทคโนโลยีสุรนารี

Flakiness Index

Sieve Size (mm)	Width of Slot Sieve (in.)	Mass of Aggregate (g)			Flakiness index %
		Retained A (mm) (in.)	Passing B (mm) (in.)	Total A+B (mm) (in.)	
63.50-50.80 (2 1/2-2)	34.29 (1.350)				
50.80-38.10 (2-1 1/2)	26.67 (1.050)				
38.10-25.40 (1 1/2-1)	19.05 (0.750)				
25.40-19.05 (1-3/4)	13.34 (0.525)				
19.05-12.70 (3/4-1/2)	9.53 (0.375)				
12.70-9.52 (1/2-3/8)	6.68 (0.263)	626.36	252.38	879	
9.52-4.75 (3/8-#4)	4.29 (0.169)	834.96	314.25	1149	
Total		1461.32	566.63	2028	28

Elongation Index

Sieve Size (mm)	Width of Slot Sieve (in.)	Mass of Aggregate (g)			Elongation index %
		Retained C (mm) (in.)	Passing D (mm) (in.)	Total C+D (mm) (in.)	
63.50-50.80 (2 1/2-2)	34.29 (1.350)				
50.80-38.10 (2-1 1/2)	26.67 (1.050)				
38.10-25.40 (1 1/2-1)	19.05 (0.750)				
25.40-19.05 (1-3/4)	13.34 (0.525)				
19.05-12.70 (3/4-1/2)	9.53 (0.375)				
12.70-9.52 (1/2-3/8)	6.68 (0.263)	103.52	775.32	879	
9.52-4.75 (3/8-#4)	4.29 (0.169)	472.51	676.6	1149	
Total		576.03	1451.92	2028	28

ตารางผนวกที่ 18 ผลการทดสอบ Flakiness Index and Elongation Index

วัสดุ หิน3/4" Hot Bin 4

แหล่งวัสดุ โรงโม่หิน ต.หนองน้ำแดง อ.ปากช่อง จ.นครราชสีมา

สถานที่ทดลอง ห้องทดสอบวัสดุการทาง ม.เทคโนโลยีสุรนารี

Flakiness Index

Sieve Size (mm)	Width of Slot Sieve (in.)	Mass of Aggregate (g)			Flakiness index %
		Retained A	Passing B	Total A+B	
63.50-50.80 (2 1/2-2)	34.29 (1.350)				
50.80-38.10 (2-1 1/2)	26.67 (1.050)				
38.10-25.40 (1 1/2-1)	19.05 (0.750)				
25.40-19.05 (1-3/4)	13.34 (0.525)				
19.05-12.70 (3/4-1/2)	9.53 (0.375)	2013.43	997.57	3011	
12.70-9.52 (1/2-3/8)	6.68 (0.263)	1079.63	340.41	1420	
9.52-4.75 (3/8-#4)	4.29 (0.169)	541.74	193.35	735	
Total		3634.8	1531.33	5166	30

Elongation Index

Sieve Size (mm)	Width of Slot Sieve (in.)	Mass of Aggregate (g)			Elongation index %
		Retained C	Passing D	Total C+D	
63.50-50.80 (2 1/2-2)	34.29 (1.350)				
50.80-38.10 (2-1 1/2)	26.67 (1.050)				
38.10-25.40 (1 1/2-1)	19.05 (0.750)				
25.40-19.05 (1-3/4)	13.34 (0.525)				
19.05-12.70 (3/4-1/2)	9.53 (0.375)	233.10	2777.65	3011	
12.70-9.52 (1/2-3/8)	6.68 (0.263)	505.94	914.31	1420	
9.52-4.75 (3/8-#4)	4.29 (0.169)	427.08	308.05	735	
Total		1166.12	4000.01	5166	23

ตารางผนวกที่ 19 ผลการทดสอบ Specific Gravity and Density

วัสดุ แอสฟัลต์ซีเมนต์ AC 60/70

แหล่งวัสดุ แอสฟัลต์ซีเมนต์บริษัททิปโก้

สถานที่ทดลอง ห้องทดสอบวัสดุการทาง ม.เทคโนโลยีสุรนารี

Test No.	1	2
Pycnometer No.		
Temperature, °C	25	25
Mass of Pycnometer plus Stopper (A),g	31.95	31.93
Mass of Pycnometer Filled with Water (B),g	56.74	56.77
Mass of Pycnometer Partially Filled with Asphalt (C),g	45.97	45.99
Mass of Pycnometer plus Asphalt plus Water (D),g	57.20	57.17
Specific Gravity of Bituminous Materials = $\frac{(C - A)}{[(B - A) - (D - C)]}$	1.034	1.029
Density of Water ( $W_T$ ),g/cm <sup>3</sup>	0.9971	0.9971
Density of Bituminous Materials = Specific Gravity x $W_T$	1.03	1.03

ตารางผนวกที่ 20 ผลการทดสอบ Specific Gravity Test

วัสดุ Passing #200 Hot Bin 1

แหล่งวัสดุ โรงโม่หิน ต.หนองน้ำแดง อ.ปากช่อง จ.นครราชสีมา

สถานที่ทดลอง ห้องทดสอบวัสดุการทาง ม.เทคโนโลยีสุรนารี

Mass Pycnometer + SSD Sample = - g		Mass Container + Dry Sample = 478.95g
Mass Pycnometer = - g		Mass Container = 189.70g
Mass SSD Sample (A) = - g		Mass Dry Sample (B) = 289.25g

Determination No.		1	2	3
Temperature (t)	°C	45	40	35
Density of Water (dt)	g/ml	0.9902	0.9922	0.9941
Mass Pycnometer + Water + Sample (W1)	g	837.47	838.18	838.67
Mass Pycnometer + Water (W2)	g	651.78	652.86	653.56
Apparent Specific Gravity GA( $t^{\circ}\text{C}$ ) = $\frac{B \times dt}{(B + W2 - W1)}$		2.766	2.761	2.761
GA( $30^{\circ}\text{C}$ ) = $\frac{GA \times dt}{0.9957}$		2.750	2.752	2.757
Bulk Specific Gravity (Oven-Dry Basis) GB( $t^{\circ}\text{C}$ ) = $\frac{B \times dt}{(B + W2 - W1)}$		-	-	-
GB( $30^{\circ}\text{C}$ ) = $\frac{GA \times dt}{0.9957}$		-	-	-

$$\text{Average GA } (30^{\circ}\text{C}) = 2.753$$

$$\text{Average GB } (30^{\circ}\text{C}) = -$$

$$\% \text{Water Absorption} = \frac{A - B}{B} \times 100 = -$$

ตารางผนวกที่ 21 ผลการทดสอบ Specific Gravity Test

วัสดุ Retained #200 Hot Bin 1

แหล่งวัสดุ โรงโม่หิน ต.หนองน้ำแดง อ.ปากช่อง จ.นครราชสีมา

สถานที่ทดลอง ห้องทดสอบวัสดุการทาง ม.เทคโนโลยีสุรนารี

Mass Pycnometer + SSD Sample = 656.75 g	Mass Container + Dry Sample = 733.47 g
Mass Pycnometer = 158.34 g	Mass Container = 239.13 g
Mass SSD Sample (A) = 498.41 g	Mass Dry Sample (B) = 494.34 g

Determination No.	1	2	3
Temperature (t) °C	45	40	35
Density of Water (dt) g/ml	0.9902	0.9922	0.9941
Mass Pycnometer + Water + Sample (W1) g	969.32	970.12	970.55
Mass Pycnometer + Water (W2) g	651.78	652.86	653.56
Apparent Specific Gravity			
GA(t°C) = $\frac{B \times dt}{(B + W2 - W1)}$	2.769	2.770	2.771
GA(30°C) = $\frac{GA \times dt}{0.9957}$	2.753	2.760	2.766
Bulk Specific Gravity (Oven-Dry Basis)			
GB(t°C) = $\frac{B \times dt}{(B + W2 - W1)}$	2.706	2.708	2.709
GB(30°C) = $\frac{GA \times dt}{0.9957}$	2.691	2.698	2.704

$$\text{Average GA (30°C)} = 2.760$$

$$\text{Average GB (30°C)} = 2.698$$

$$\% \text{Water Absorption} = \frac{A - B}{B} \times 100 = 0.823$$

ตารางผนวกที่ 22 ผลการทดสอบ Specific Gravity Test

วัสดุ ผู้นับ

แหล่งวัสดุ โรงผสมแอสฟัลต์คอนกรีต ต.โภคกรวด อ.เมือง จ.นครราชสีมา

สถานที่ทดลอง ห้องทดสอบวัสดุการทาง ม.เทคโนโลยีสุรนารี

Mass Pycnometer + SSD Sample = - g Mass Container + Dry Sample = 762.32g

Mass Pycnometer = - g Mass Container = 600.09g

Mass SSD Sample (A) = - g Mass Dry Sample (B) = 162.23g

Determination No.		1	2	3
Temperature (t)	°C	45	40	35
Density of Water (dt)	g/ml	0.9902	0.9922	0.9941
Mass Pycnometer + Water + Sample (W1)	g	755.31	756.39	756.84
Mass Pycnometer + Water (W2)	g	652.04	653.01	653.76
Apparent Specific Gravity GA( $t^{\circ}\text{C}$ ) = $\frac{B \times dt}{(B + W2 - W1)}$		2.725	2.735	2.727
GA( $30^{\circ}\text{C}$ ) = $\frac{GA \times dt}{0.9957}$		2.710	2.726	2.722
Bulk Specific Gravity (Oven-Dry Basis) GB( $t^{\circ}\text{C}$ ) = $\frac{B \times dt}{(B + W2 - W1)}$		-	-	-
GB( $30^{\circ}\text{C}$ ) = $\frac{GA \times dt}{0.9957}$		-	-	-

$$\text{Average GA } (30^{\circ}\text{C}) = 2.719$$

$$\text{Average GB } (30^{\circ}\text{C}) = -$$

$$\% \text{Water Absorption} = \frac{A - B}{B} \times 100 = -$$

ตารางผนวกที่ 23 ผลการทดสอบ Specific Gravity Test

วัสดุ เถ้าโดยลิกไนต์

แหล่งวัสดุ โรงไฟฟ้าแม่เมฆ

สถานที่ทดลอง ห้องทดสอบวัสดุการทาง ม.เทคโนโลยีสุรนารี

Mass Pycnometer + SSD Sample = - g	Mass Container + Dry Sample = 478.95g
Mass Pycnometer = - g	Mass Container = 189.70g
Mass SSD Sample (A) = - g	Mass Dry Sample (B) = 289.25g

Determination No.		1	2	3
Temperature (t)	°C	45	40	35
Density of Water (dt)	g/ml	0.9902	0.9922	0.9941
Mass Pycnometer + Water + Sample (W1)	g	857.38	858.18	858.89
Mass Pycnometer + Water (W2)	g	651.78	652.86	653.56
Apparent Specific Gravity GA( $t^{\circ}\text{C}$ ) = $\frac{B \times dt}{(B + W2 - W1)}$		2.448	2.448	2.453
GA( $30^{\circ}\text{C}$ ) = $\frac{GA \times dt}{0.9957}$		2.435	2.440	2.449
Bulk Specific Gravity (Oven-Dry Basis) GB( $t^{\circ}\text{C}$ ) = $\frac{B \times dt}{(B + W2 - W1)}$		-	-	-
GB( $30^{\circ}\text{C}$ ) = $\frac{GA \times dt}{0.9957}$		-	-	-

$$\text{Average GA } (30^{\circ}\text{C}) = 2.441$$

$$\text{Average GB } (30^{\circ}\text{C}) = -$$

$$\% \text{Water Absorption} = \frac{A - B}{B} \times 100 = -$$

ตารางผนวกที่ 24 ผลการทดสอบ Specific Gravity and Absorption of Coarse Aggregate

วัสดุ Hot Bin 2, 3, 4

แหล่งวัสดุ โรงโม่หิน ต.หนองน้ำแดง อ.ปากช่อง จ.นครราชสีมา

สถานที่ทดลอง ห้องทดสอบวัสดุการทาง ม.เทคโนโลยีสุรนารี

Sieve No.		Mass of Sample			GB	GA	Absorption (%)
		In Oven - Dry Condition (g) [A]	In SSD condition (g) [B]	Immersed in Water (g) [C]	$\frac{A}{B-C}$	$\frac{A}{A-C}$	$\frac{(B-A)}{A} \times 100$
Hot bin 2	1	916.77	922.13	585.37	2.722	2.766	0.585
	2	981.71	987.62	629.30	2.740	2.786	0.602
	3	911.05	916.22	580.56	2.714	2.757	0.567
total		2809.53	2825.97	1795.23	2.725	2.770	0.585
		Average					
Hot bin 3	1	936.53	940.15	600.73	2.759	2.789	0.387
	2	979.02	982.93	627.82	2.757	2.788	0.399
	3	971.39	975.10	623.03	2.759	2.788	0.382
total		2886.94	2898.18	1851.58	2.758	2.788	0.389
		Average					
Hot bin 4	1	1032.55	1037.87	656.10	2.705	2.743	0.515
	2	952.80	957.89	609.36	2.734	2.774	0.534
	3	1011.15	1016.40	645.51	2.726	2.765	0.519
total		2996.50	3012.16	1910.97	2.722	2.761	0.523
		Average					

ตารางผนวกที่ 25 ผลการทดสอบ Sand Equivalent Test

วัสดุ Hot Bin 1

แหล่งวัสดุ โรงไม่หิน ต.หนองน้ำแดง อ.ปากช่อง จ.นครราชสีมา

สถานที่ทดลอง ส่วนตรวจสอบวิเคราะห์ทางวิศวกรรมทางหลวงที่ 8

Sample No.	Sand Reading	Clay Reading	Sand Equivalent = $\frac{\text{Sand Reading}}{\text{Clay Reading}} \times 100 =$
1	3.3	4.7	70%
2	3.4	4.8	71%
		Average =	71%

ตารางผนวกที่ 26 ผลการทดสอบ Abrasion Test of Coarse Aggregate by Los Angeles Machine  
วัสดุ หิน 3/4"

แหล่งวัสดุ โรงโม่หิน ต.หนองน้ำแดง อ.ปากช่อง จ.นครราชสีมา

สถานที่ทดลอง ศูนย์ตรวจสอบวิเคราะห์ทางวิศวกรรมทางหลวงที่ 8

Sieve Size		Accumulative
Passing	Retained on	Mass of Sample, (g)
3/4"	1/2"	2500
1/2"	3/8"	2500
Original Mass of Sample ( $W_1$ )		5000
Final Mass of Sample ( $W_2$ )		3810
Loss ( $W_1 - W_2$ )		1190
Percentage of Wear = $\frac{(W_1 - W_2)}{W_2} \times 100$		31.23 %

#### ตารางผนวกที่ 27 ผลการทดสอบ Soundness Test of Aggregate

### วัสดุ หิน 3/4" Coarse Aggregate

**แหล่งวัสดุ โรงไม่หิน ต.หนองน้ำแดง อ.ปากช่อง จ.นครราชสีมา**

สถานที่ทดลอง ห้องทดสอบวัสดุการทาง ม.เทคโนโลยีสุรนารี

Sieve Size (mm)	% Retained of Original Sample	Mass of Test Fraction Before Test,(g)	Mass of Test Fraction After Test, (g)	Actual Loss, (g)	Actual % Loss, (g)	Weighted % Loss
37.5-19.0	3.5	-	-	-	0.34	0.01
19.0-9.5	45.2	1010.4	1007	3.4	0.34	0.15
9.5-4.75	47.1	300.6	296	4.6	1.53	0.72
Minus 4.75	4.2	-	-	-	1.53	0.06
					Total % Loss	0.95

#### ตารางผนวกที่ 28 ผลการทดสอบ Soundness Test of Aggregate

## วัสดุ หินฝุ่น Fine Aggregate

แหล่งวัสดุ โรงโม่หิน ต.หนองน้ำแดง อ.ปากช่อง จ.นครราชสีมา

สถานที่ทดลอง ห้องทดสอบวัสดุการทาง ม.เทคโนโลยีสุรนารี

Sieve Size (mm)	% Retained of Original Sample	Mass of Test Fraction Before Test,(g)	Mass of Test Fraction After Test, (g)	Actual Loss, (g)	Actual % Loss, (g)	Weighted % Loss
9.5-4.25	4.7	-	-	-	5.0	0.24
4.25-2.36	18.0	100	95.0	5.0	5.0	0.90
2.36-1.18	26.4	100	96.3	3.7	3.7	0.98
1.18-0.60	18.2	100	96.0	4.0	4.0	0.73
0.60-0.30	11.9	100	95.8	4.2	4.2	0.50
Minus 0.30	19.0	-	-	-	4.2	0.80
					Total % Loss	4.1

ตารางผนวกที่ 29 ตารางคำนวณค่าวัสดุต่อ 1 ลูกบาศก์เมตร

วัสดุ แอสฟัลต์คอนกรีต, ผสมแทรกรซีเมนต์, ผสมแทรกรผุนพิน, ผสมแทรกรถเข้าเลอยลิกไนต์  
แหล่งวัสดุ โรงโม่หิน ต.หนองน้ำแดง อ.ปากช่อง จ.นครราชสีมา, แอสฟัลต์ซีเมนต์บริษัทปีโก้,  
โรงผลิตแอสฟัลต์คอนกรีต ต.โคงกรวด, โรงไฟฟ้าแม่เมาะ

รายการคำนวณ	หน่วย	แอสฟัลต์คอนกรีต	ผสมเพิ่ม ซีเมนต์	ผสมเพิ่ม ผุนพิน	ผสมเพิ่มเข้าเลอย ลิกไนต์
นำหนักแอสฟัลต์ซีเมนต์		$2,418 \times 0.048$	$2,418 \times 0.048$	$2,418 \times 0.048$	$2,418 \times 0.048$
= Kg.		116.06	116.06	116.06	116.06
นำหนักวัสดุผสมเพิ่ม		$2,418 \times 0.000$	$2,418 \times 0.020$	$2,418 \times 0.025$	$2,418 \times 0.030$
= Kg.		0.00	48.36	60.45	72.54
ใน 1 ลูกบาศก์เมตรจะมี					
แอสฟัลต์ซีเมนต์	Kg.	116.06	116.06	116.06	116.06
วัสดุผสมเพิ่ม	Kg.	0.00	48.36	60.45	72.54
ราคาแอสฟัลต์ซีเมนต์ต่อ 1 ตัน*	บาท	13,000.00	13,000.00	13,000.00	13,000.00
ราคายาสฟัลต์ซีเมนต์ต่อ 1 ลบ.ม.	บาท	1,508.83	1,508.83	1,508.83	1,508.83
ราคามวลรวม ต่อ 1 ลบ.ม.*	บาท	350.00	350.00	350.00	350.00
ราคาวัสดุผสมเพิ่มต่อ 1 ตัน*	บาท	0.00	2,400.00	0.00	115.00
ราคาวัสดุผสมเพิ่ม ต่อ 1 ลบ.ม.	บาท	0.00	116.07	0.00	8.34
รวมราคายาสฟัลต์คอนกรีต ต่อ 1 ลบ.ม.	บาท	1,858.83	1,974.90	1,858.83	1,867.17

หมายเหตุ : \*ราคานี้ยังไม่รวมภาษีมูลค่าเพิ่ม

## **ภาคผนวก ข**

**บทความผลงานวิจัยที่นำเสนอในการประชุมวิชาการ  
ขนส่งแห่งชาติ ครั้งที่ 6**

การประชุมวิชาการการงานส่งแห่งชาติครั้งที่ 6

โรงแรมท่อปีแลนด์ จังหวัดพิษณุโลก, 28-30 ตุลาคม 2552

การศึกษาประสิทธิภาพของการใช้ ฝุ่นหินและถ่านหินลิกไนต์เป็นวัสดุผสมเพิ่มในแอสฟัลต์คอนกรีต

**STUDY ON THE EFFICIENCY OF USING ROCK DUST AND FLY ASH**

**AS ADDITIVES TO ASPHALT CONCRETE**

มนิตย์ เชิดชูนคร (Manit Cherdchoonakhorn)<sup>1</sup>

ผู้ช่วยศาสตราจารย์ ดร.ธิรยุทธ์ ลิมานันท์ (Asst.Prof.Dr.Thirayoot Limanond)<sup>2</sup>

<sup>1</sup> นักศึกษาปริญญาโทสาขาวิชาวิศวกรรมขนส่ง มหาวิทยาลัยเทคโนโลยีสุรนารี manitnut@gmail.com

<sup>2</sup> อาจารย์สาขาวิชาวิศวกรรมขนส่ง มหาวิทยาลัยเทคโนโลยีสุรนารี tlimanond@yahoo.com

**บทคัดย่อ :** ปัจจุบันการเดินทางด้วยรถยนต์มีจำนวนมากขึ้น ทำให้ต้องมีการพัฒนาถนนให้สมบูรณ์อยู่เสมอ ผิวจราจรถือเป็นส่วนสำคัญในอันดับแรกที่ต้องให้ความสำคัญอย่างมาก เพราะด้วยการใช้งานที่มีอยู่ตลอด ทำให้ผิวจราจรมีการสึกหรอเร็วขึ้น เมื่อเป็นเช่นนี้จะทำให้เกิดอุบัติเหตุทางถนนได้ง่าย ในปัจจุบันได้มีการนำวัสดุธรรมชาติมาใช้ในการก่อสร้างจำนวนมาก ทำให้ทรัพยากรางประเทกคดน้อยลง ดังนั้นการศึกษารังนึงนี้จะเป็นการทดลองนำฝุ่นหินที่เหลือจากการกระบวนการผลิตแอสฟัลต์คอนกรีต และขี้ถ้าล้อยที่ได้จากการเผาไหม้ของถ่านหินลิกไนต์จากโรงไฟฟ้าแม่เมะ มาเป็นวัสดุผสมเพิ่มในส่วนผสมแอสฟัลต์คอนกรีต ซึ่งในการวิจัยครั้งนี้จะใช้ยาง AC 60-70 เท่ากับ 4.0, 4.5, 5.0, 5.5 และ 6.0 เปอร์เซ็นต์โดยน้ำหนักของส่วนผสมแอสฟัลต์คอนกรีต เมื่อได้ค่าเปอร์เซ็นต์ยางที่เหมาะสมแล้วจะทำการทดสอบเพิ่มด้วยปูนซีเมนต์ปอร์ทแลนด์ประเภทที่หนึ่ง ฝุ่นหินและขี้ถ้าล้อยซึ่งจะใช้ในการวิจัยครั้งนี้เท่ากับ 1.0, 1.5, 2.0, 2.5, 3.0, 4.0 และ 5.0 เปอร์เซ็นต์โดยน้ำหนัก โดยใช้ส่วนผสมปูนซีเมนต์ปอร์ทแลนด์ประเภทที่หนึ่งเป็นตัวเปรียบเทียบ จากนั้นจะดูความเหมาะสมของค่าที่ได้จากการไฟความสัมพันธ์ระหว่าง เปอร์เซ็นต์ยางกับ 1. ความหนาแน่น (Density) 2. เปอร์เซ็นต์ช่องว่างอากาศ (%Air Voids) 3. ถ่วง (Flow) 4. เสถียรภาพ (Stability) 5. เปอร์เซ็นต์ช่องว่างอากาศส่วนที่ถูกแทนที่ด้วยแอสฟัลต์ (%Voids Filled with Bitumen, VFB) และ 6. เปอร์เซ็นต์ช่องว่างระหว่างวัสดุมวลรวม (%Voids in Mineral Aggregate, VMA) ให้ตรงตามมาตรฐานกรมทางหลวง โดยจะใช้การทดลองด้วยวิธีมาร์ชอล์ตามมาตรฐาน ASTM D1559-82 และทดสอบหาค่าโมดูลัสคืนตัวโดยวิธีแรงดึงทางอ้อม

**ABSTRACT :** Nowadays, usage of automobile is rapidly increasing. Therefore, needs for developments of roadways are considered high priority. The primary concern is the surface of streets. Since it is used all time, the surface wears out very quickly causing potholes and roughness and, subsequently resulting accidents to occur very easily. Presently, many natural materials are being used in road constructions causing rapid decrement in such resources. This experiment uses rock dust left from asphalt concrete manufacturing and fly ash, by-product from burning of lignite from Mae Moh Power Plant, as additives to asphalt concrete compound. This research will use the AC 60-70 rubber in the amount of 4, 4.5, 5, 5.5 and 6 percent by weight, respectively, as additive to the asphalt concrete compound. Then, when an appropriate percentage is obtained, No.1 Portland cement, rock dust and fly ash, in the amount of 1, 1.5, 2, 2.5, 3, 4 and 5 percent, respectively, will be added using No. 1 Portland cement compound as reference. Finally, the study will observe which one of the values, resulted in graph showing the relation between percentages of rubber added and 1. Density, 2. %Air Voids, 3. Flow, 4. Stability, 5. %Voids Filled with Bitumen (VFB), and 6. %Voids in Mineral Aggregate (VMA). The experiment uses Marshal's procedure under the ASTM D1559-82 standards and Dynamic Indirect Tensile Stiffness Modulus.

**KEYWORDS :** Rock Dust, Fly Ash, Marshal's, Indirect Tensile Stiffness Modulus

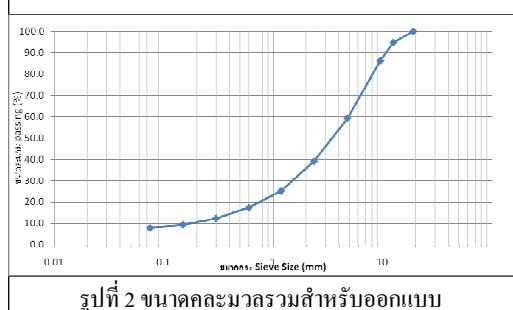
การประชุมวิชาการการงานส่งแห่งชาติครั้งที่ 6	โรงเรมที่อปฯแลนด์ จังหวัดพิษณุโลก, 28-30 ตุลาคม 2552
<p><b>1. บทนำ</b></p> <p>ปัจจุบันการเดินทางด้วยรถยนต์มีจำนวนมาก ทำให้ต้องมีการก่อสร้างและบำรุงรักษาถนนให้มีสมบูรณ์และพร้อมใช้งานอยู่เสมอ สำหรับการเดินทางนั้นผู้จราจรถือเป็นส่วนสำคัญในอันดับแรกที่ต้องให้ความสำคัญอย่างมาก เพราะด้วยการใช้งานที่มีอยู่ตลอดเวลาทำให้ผู้จราจรมีการสึกหรอเร็วขึ้น เมื่อเป็นเช่นนั้นจะสามารถเกิดความเสียหายได้ เช่น 1. ทำให้เกิดอุบัติเหตุทางถนนได้ง่าย 2. ทำให้เครื่องยนต์เกิดการเสียหาย ต้องเสียค่าใช้จ่ายในการบำรุงรักษาเพิ่มขึ้น เป็นต้น</p> <p>กระบวนการผลิตแอสฟล็อกตอนกรีตจะมีส่วนประกอบที่สำคัญคือ ยางแอสฟล็อกซีเมนต์ (ในประเทศไทยนิยมใช้ยางเกรต AC 60/70) และวัสดุมวลรวมตามขนาดที่กำหนด ซึ่งในกระบวนการผลิตแอสฟล็อกตอนกรีต (Asphalt Concrete) แบบร้อน (Hot Mix) จะให้ความสำคัญกับการผลิตเป็นพิเศษ เพราะด้วยขั้นตอนการผลิตที่จะต้องมีความร้อนสูงมากกว่า 150 °C (302 °F) ส่วนการผลิตแอสฟล็อกตอนกรีต นั้นวัสดุมวลรวมจะต้องมีความสะอาดและขนาดตรงตามมาตรฐานที่กำหนด จึงต้องมีตัวแปรรูปเป็นขนาดและการเป้าฝุ่นที่มีขนาดเล็กที่สุด ทำให้ฝุ่นที่เหลือทิ้งจากการกระบวนการผลิตมีจำนวนน้อย</p> <p>รูปที่ 1 แสดงการเป้าอุกของฝุ่นหินจากการกระบวนการผลิต</p>  <p>ในการผลิตกระแสไฟฟ้าที่โรงไฟฟ้าแม่เมืองจังหวัดลำปาง เอื้อเพลิงสำคัญที่นำมาใช้ผลิตกระแสไฟฟ้านั้นได้มาจากถ่านหินลิกไนต์ ที่เหมือนแม่เมือง ในการผลิตกระแสไฟฟ้านั้นจะใช้ถ่านหินลิกไนต์ไม่น้อยกว่าประมาณวันละ 40,000 ตัน จากจำนวนถ่านหินที่ใช้ในปริมาณที่มากแล้ว ในกระบวนการเผาไหม้จะเหลือเอ้าโลยลิกไนต์ออกมานะในปริมาณ 8,000 ตัน ซึ่งในจำนวนนี้จะต้องกำจัดทิ้ง แต่ด้วย</p>	<p>ปริมาณที่มากทำให้ การไฟฟ้าฝ่ายผลิตต้องศึกษาถึงผลกระทบที่เกิดขึ้น และความเป็นไปได้ที่จะนำเอ้าโลยลิกไนต์กลับมาใช้ให้เกิดประโยชน์อีกครั้ง [6], [13]</p> <p>ปัญหาทางด้านสิ่งแวดล้อมในปัจจุบันมีมาก[14] ในแต่ละพื้นที่ของประเทศต่างๆ ไม่ว่าจะเกิดจากโรงงานอุตสาหกรรม[10], [20] โรงโม่หิน[19] หรือแม้แต่โรงผสมคอนกรีต และแอสฟล็อกตอนกรีต[18] ซึ่งในปัจจุบันได้มีการนำวัสดุที่สูญเสียจากการกระบวนการผลิตมาใช้ให้เกิดประโยชน์อีกครั้ง 例如 หินทราย รวมไปถึงการนำวัสดุธรรมชาติ[16], [17] ที่มีในพื้นที่มาศึกษาถึงความเป็นไปได้ในการนำมาใช้ร่วมกับการก่อสร้างด้วย[8] และได้มีการศึกษาถึงความอันตรายที่มีต่อร่างกายมนุษย์ของฝุ่นหินและเอ้าโลยลิกไนต์ซึ่งจากการศึกษาของกระทรวงสาธารณสุขพบว่า เมื่อหายใจเอ้าฝุ่นหินหรือเอ้าโลยลิกไนต์ที่มีขนาดเล็กกว่า 1 ไมครอนเป็นระยะเวลาหนึ่ง และมีการสะสมของฝุ่นในปอด จนกลายเป็นโรคที่เรียกว่า โรคปอดหิน ได้ ดังนั้นเพื่อเป็นการนำฝุ่นหินและเอ้าโลยลิกไนต์นำกลับมาใช้ให้เกิดประโยชน์และเหมาะสมที่สุด ในการวิจัยครั้งนี้จะใช้แอสฟล็อกตอนกรีตที่ผสมเพิ่มด้วยปูนซีเมนต์ปอร์ตแลนด์ประเภทที่หนึ่งเป็นตัวเบริกที่เทียบกับการผสมเพิ่มด้วยฝุ่นหินและเอ้าโลยลิกไนต์</p> <p><b>2. วัตถุประสงค์การวิจัย</b></p> <ol style="list-style-type: none"> <li>เพื่อศึกษาเปรียบเทียบคุณสมบัติทางกายภาพของแอสฟล็อกตอนกรีตผสมฝุ่นหิน กับแอสฟล็อกตอนกรีตผสมปูนซีเมนต์ปอร์ตแลนด์ประเภทที่หนึ่ง</li> <li>เพื่อศึกษาเปรียบเทียบคุณสมบัติทางกายภาพของแอสฟล็อกตอนกรีตผสมเอ้าโลยลิกไนต์ กับแอสฟล็อกตอนกรีตผสมปูนซีเมนต์ปอร์ตแลนด์ประเภทที่หนึ่ง</li> <li>เพื่อเป็นแนวทางในการออกแบบพิวทาง สำหรับงานผิวถนนแอสฟล็อกตอนกรีตโดยใช้ส่วนผสมของฝุ่นหินและเอ้าโลยลิกไนต์ ในปริมาณที่พอเหมาะ เพื่อขจัดปัญหานลพิษและทรัพยากรทางธรรมชาติที่นำมาใช้อีกต่อไป</li> </ol> <p><b>3. ขอบเขตของการวิจัย</b></p> <p>เป็นการนำเอ้าโลยลิกไนต์ และฝุ่นหินมาทำการออกแบบเพื่อคุ้มครองส่วนผสมที่เหมาะสม สามารถใช้ผสมในแอสฟล็อกตอนกรีตได้อย่างมีประสิทธิภาพ แบ่งหัวข้อการวิจัยได้ดังต่อไปนี้</p>

### การประชุมวิชาการการงานส่งแห่งชาติครั้งที่ 6

1. ศึกษาคุณสมบัติทั่วไปของหินและผุนหินที่เหลือจากการกระบวนการผลิตแอสฟล็อกต์คอนกรีตที่นำหินมาจาก โรงไม่หิน ต.หนองน้ำแดง อ.ปากช่อง จ.นครราชสีมา
2. ใช้ถ้าล้อยลิกไนต์ที่นำมานาจาก โรงไฟฟ้าแม่เมะ จ.ลำปาง
3. ศึกษาคุณสมบัติทั่วไปของแอสฟล็อกต์คอนกรีตที่ผสมเพิ่มด้วยผุนหินและถ้าล้อยลิกไนต์
4. บริษัทยางแอสฟล็อกต์ AC 60-70 ที่ใช้ในการทดลองนี้เท่ากับ 4, 4.5, 5, 5.5 และ 6 เปอร์เซ็นต์โดยน้ำหนักของส่วนผสม
5. บริษัทวัสดุผสมเพิ่มได้แก่ ปูนซีเมนต์ปอร์ตแลนด์ประเภทที่หนึ่ง ผุนหินและถ้าล้อยลิกไนต์ ที่ใช้ในการทดลองนี้เท่ากับ 0.5, 1, 1.5, 2, 2.5, 3, 4 และ 5 เปอร์เซ็นต์โดยน้ำหนักของส่วนผสม
6. ทำการทดสอบโดยวิธีมาร์แซลล์ โดยเลือกใช้ปริมาณการจราจรชนิดหนาแน่นและชั้นทาง Wearing Course
7. เมื่อได้ปริมาณการผสมเพิ่มด้วยปูนซีเมนต์ปอร์ตแลนด์ประเภทที่หนึ่ง ผุนหินและถ้าล้อยลิกไนต์ที่เหมาะสมแล้ว ทำการทดสอบหาค่าโมดูลัสสปริงตัว โดยวิธีแรงดึงทางอ้อม(Dynamic Indirect Tensile Stiffness Modulus) ที่อุณหภูมิ 40 องศาเซลเซียส

#### 4. ผลการศึกษา

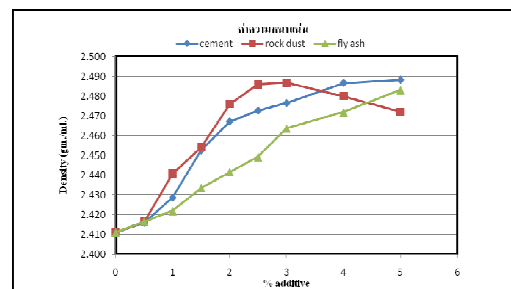
มวลรวมที่ได้นำมานาจากโรงไม่หิน ต.หนองน้ำแดง อ.ปากช่อง จ.นครราชสีมา โดยผ่านการ Herao ร้อนจาก โรงผสมแอสฟล็อกต์คอนกรีต ต.โคงกราด จ.นครราชสีมา ซึ่งแบ่งออกเป็น 2 ชนิดคือ มวลรวมขยายและมวลรวมกระเบิด โดยรูปที่ 2 จะบอกถึงผลการทดสอบขนาดคละรวมที่ได้จากการร้อนผ่านตะแกรงของวัสดุมวลรวมแต่ละขนาดแล้วนำมารวบรวมออกแบบเพื่อเป็นแนวทางในการเลือกให้ได้แอสฟล็อกต์คอนกรีตที่เหมาะสมตามข้อกำหนด



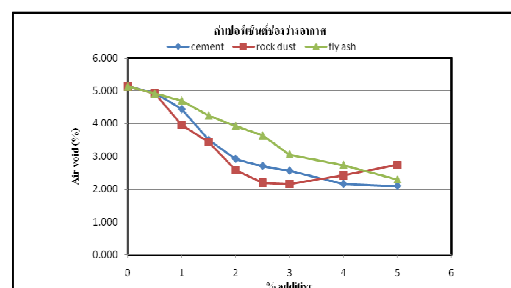
รูปที่ 2 ขนาดคละมวลรวมสำหรับออกแบบ

### โรงแรมที่อปเปเลนด์ จังหวัดพิษณุโลก, 28-30 ตุลาคม 2552

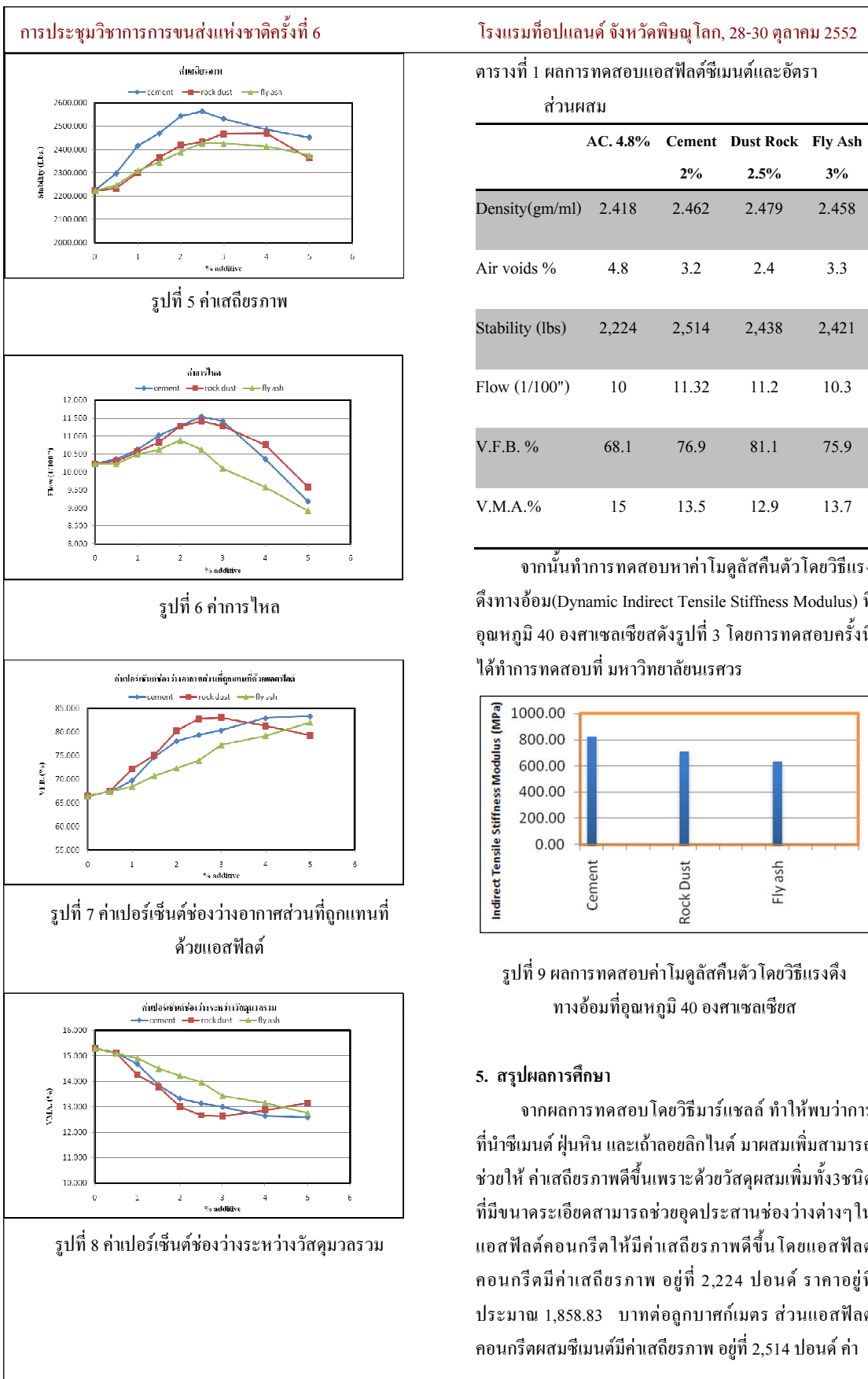
จากนั้นทำการทดสอบคุณสมบัติต่างๆของวัสดุมวลรวมตามมาตรฐานข้อกำหนดกรมทางหลวง เมื่อตรวจสอบตรงตามเกณฑ์ข้อกำหนดแล้ว จะทำการทดสอบออกแบบหากอัตราส่วนของแอสฟล็อกต์คอนกรีตที่เหมาะสม ซึ่งถ้าล้อยลิกไนต์ที่นำมานาจากโรงไฟฟ้าแม่เมะนี้ได้ทำการทดสอบทางคุณสมบัติทางเคมีพบว่าอยู่ในกลุ่ม Class F ตามมาตรฐาน ASTM C 618 โดยมีปริมาณ SiO<sub>2</sub> + Al<sub>2</sub>O<sub>3</sub> + Fe<sub>2</sub>O<sub>3</sub> มากกว่า 70% โดยน้ำหนัก ซึ่งในการวิจัยครั้งนี้ได้แอสฟล็อกต์ซีเมนต์ที่เหมาะสมอยู่ที่ 4.8 เปอร์เซ็นต์ ของน้ำหนักมวลรวม จากนั้นทำการผสมเพิ่มด้วยซีเมนต์ ผุนหิน และถ้าล้อยลิกไนต์ โดยใช้เกณฑ์มาตรฐานกรมทางหลวง ชั้นทาง Wearing Course เป็นตัวกำหนดและได้ผลการเลือกอัตราส่วนผสมที่ดีที่สุดและเหมาะสมกับบริษัทที่มากของผุนหิน และถ้าล้อยลิกไนต์อยู่ที่ 2, 2.5 และ 3 เปอร์เซ็นต์ โดยน้ำหนักมวลรวม ตามลำดับ ซึ่งมีผลการทดสอบดังรูปที่ 3 ถึงรูปที่ 8



รูปที่ 3 ค่าความหนาแน่น



รูปที่ 4 ค่าเบอร์เซ็นต์ของว่างอากาศ



การประชุมวิชาการการขนส่งแห่งชาติครั้งที่ 6	โรงแรมที่อปเปแลนด์ จังหวัดพิษณุโลก, 28-30 ตุลาคม 2552
<p>ไม่คุ้ลสกินตัวโดยวิธีแรงดึงทางอ้อม อุญที่ 824.73 MPa ราคา อุญที่ประมาณ 1,974.90 บาทต่อถูกนาศก์เมตร ส่วนแอสฟล็อก คอนกรีตผสมผุนหินมีค่าเสื่อมสภาพ อุญที่ 2,438 ปอนด์ ค่าไม่คุ้ลสกินตัวโดยวิธีแรงดึงทางอ้อม อุญที่ 712.35 MPa ราคา อุญที่ประมาณ 1,858.83 บาทต่อถูกนาศก์เมตร และแอสฟล็อก คอนกรีตผสมเฉ้าโลยลิกไนต์มีค่าเสื่อมสภาพ อุญที่ 2,421 ปอนด์ ค่าไม่คุ้ลสกินตัวโดยวิธีแรงดึงทางอ้อม อุญที่ 631.98 MPa ราคาอุญที่ประมาณ 1,867.17 บาทต่อถูกนาศก์เมตร</p>	<p>7) นิรชร พึงแดง, 2550. การทดสอบวัสดุการทาง กรุงเทพมหานคร: โรงพิมพ์สมาคมส่งเสริมเทคโนโลยี (ไทย-ญี่ปุ่น)</p>
<p>จากค่าเสื่อมสภาพ ค่าไม่คุ้ลสกินตัวโดยวิธีแรงดึงทางอ้อม และราคาโดยประมาณนี้จะเห็นว่าค่าใช้จ่ายที่ผสมเพิ่มด้วยซีเมนต์จะมีราคาที่สูง รองลงมาเป็นเฉ้าโลยลิกไนต์ ส่วนฟุนหินนี้จะมีราคาที่เท่าแอสฟล็อกคอนกรีตที่ไม่ได้ผสมเพิ่ม เป็นเพราะว่าฟุนหินไม่ต้องเสียค่าใช้จ่ายเนื่องจากมีอุญ แม้ว่าในโรงผสม ดังนั้นการที่นำฟุนหินและเฉ้าโลยลิกไนต์มา เป็นส่วนผสมในแอสฟล็อกคอนกรีตนี้ ถึงแม้ว่าค่าเสื่อมสภาพของการผสมเพิ่มด้วยฟุนหินและเฉ้าโลยลิกไนต์ จะมีค่าน้อยกว่าการผสมเพิ่มซีเมนต์แต่สามารถช่วยปรับปรุง คุณภาพของแอสฟล็อกคอนกรีตได้และสามารถนำฟุนหินและ เฉ้าโลยลิกไนต์มาใช้ได้อย่างเหมาะสม</p>	<p>8) บัญชา เอกกัมaha (2539). การเปรียบเทียบเสื่อมสภาพ ของคอนกรีตแอสฟล็อกที่ผสมปูนขาวกับคอนกรีต แอสฟล็อกที่ผสมปูนซีเมนต์ปอร์ตแลนด์</p>
<p>9) มงคล จิรวัชรเดช, 2541. คู่มือปฏิบัติการ 410 313 เทคนิโอลายคอนกรีต. สาขาวิศวกรรมโยธา, สำนักวิชา เทคนิโอลายอุตสาหกรรม, มหาวิทยาลัยเทคโนโลยีสุร นารี</p> <p>10) ยุรยง ช้ายชู (2546). การศึกษาคุณสมบัติของมัลติเกรด แอสฟล็อกคอนกรีตโดยการเปรียบเทียบมวลรวมที่ใช้ ระหว่างตะกรันแทหลอมกับหินปูน</p> <p>11) วัชรินทร์ วิทยุกุล, 2537. วัสดุการทาง. พิสิกส์เจ็นเตอร์</p> <p>12) ศักดิ์ กองสุวรรณ, 2536 .เอกสารคำสอนรายวิชา 412- 405 เทคนิโอลายแอสฟล็อกติกคอนกรีต, ภาควิชาวิศวกรรม โยธา, คณะวิศวกรรมเทคโนโลยี, สถาบันเทคโนโลยี ราชมงคล</p> <p>13) สมพงษ์ ชีไธสง (2542). การศึกษาการปรับปรุงพิเศษทาง แอสฟล็อกคอนกรีตโดยใช้เฉ้าโลยลิกไนต์ผสมเพิ่มใน แอสฟล็อกซีเมนต์เกรด Pen. 60/70 และใช้เฉ้าโลยลิกไนต์ แทนมวลรวมละอียดในแอสฟล็อกคอนกรีต</p> <p>14) Abo-Qudais SA. The effects of environmental damage evaluation techniques on the prediction of environmental damage in asphalt mixtures. Building and Environment Journal, UK [submitted].</p> <p>15) American Society for Testing and Materials (ASTM).</p> <p>16) Brown ER, Bassett CE. (1990). Effect of maximum aggregate size on rutting potential and other properties of asphalt aggregate mixtures</p> <p>17) Burak Sengoz, Ali Topal. (2006). Minimum voids in mineral aggregate in hot-mix asphalt based on asphalt film thickness</p> <p>18) M. Shahul Hameed and A. S. S. Sekar(2008). Properties of Green Concrete Containing Quarry Rock Dust and Mable Sludge Powder as fine Aggregate</p>	<p>10) ยุรยง ช้ายชู (2546). การศึกษาคุณสมบัติของมัลติเกรด แอสฟล็อกคอนกรีตโดยการเปรียบเทียบมวลรวมที่ใช้ ระหว่างตะกรันแทหลอมกับหินปูน</p> <p>11) วัชรินทร์ วิทยุกุล, 2537. วัสดุการทาง. พิสิกส์เจ็นเตอร์</p> <p>12) ศักดิ์ กองสุวรรณ, 2536 .เอกสารคำสอนรายวิชา 412- 405 เทคนิโอลายแอสฟล็อกติกคอนกรีต, ภาควิชาวิศวกรรม โยธา, คณะวิศวกรรมเทคโนโลยี, สถาบันเทคโนโลยี ราชมงคล</p> <p>13) สมพงษ์ ชีไธสง (2542). การศึกษาการปรับปรุงพิเศษทาง แอสฟล็อกคอนกรีตโดยใช้เฉ้าโลยลิกไนต์ผสมเพิ่มใน แอสฟล็อกซีเมนต์เกรด Pen. 60/70 และใช้เฉ้าโลยลิกไนต์ แทนมวลรวมละอียดในแอสฟล็อกคอนกรีต</p> <p>14) Abo-Qudais SA. The effects of environmental damage evaluation techniques on the prediction of environmental damage in asphalt mixtures. Building and Environment Journal, UK [submitted].</p> <p>15) American Society for Testing and Materials (ASTM).</p> <p>16) Brown ER, Bassett CE. (1990). Effect of maximum aggregate size on rutting potential and other properties of asphalt aggregate mixtures</p> <p>17) Burak Sengoz, Ali Topal. (2006). Minimum voids in mineral aggregate in hot-mix asphalt based on asphalt film thickness</p> <p>18) M. Shahul Hameed and A. S. S. Sekar(2008). Properties of Green Concrete Containing Quarry Rock Dust and Mable Sludge Powder as fine Aggregate</p>

**การประชุมวิชาการการบนส่างแห่งชาติครั้งที่ 6**

โรงแรมทีอปเปนด์ จังหวัดพิษณุโลก, 28-30 ตุลาคม 2552

- 19) Ratnasamy Muniandy, Eltaher Elzarroug Aburkaba,  
Hussain Bin Hamid and Robiah BT Yunus(2009). **An  
Initial Investigation of the use of Local Industrial  
Wastes and By-Products as Mineral Fillers in Stone  
Mastic Asphalt Pavements**
- 20) Shaopeng Wu, Yongjie Xue, Qunshan Ye and  
Yongchun Chen.(2006). **Utilization of steel slag as  
aggregates for stone mastic asphalt (SMA) mixtures**

เกี่ยวกับผู้เขียน



นาย มานิตย์ เชิดชูนกร  
นักศึกษาปริญญาโท  
สาขาวิชาวิศวกรรมขนส่ง  
สำนักวิชาวิศวกรรมศาสตร์  
มหาวิทยาลัยเทคโนโลยีสุรนารี  
E-mail : manitnut@gmail.com



ผศ.ดร.ธิรยุทธ์ ลิมานันท์  
รักษาการหัวหน้าสาขาวิชา  
วิศวกรรมขนส่ง  
อาจารย์สาขาวิชาวิศวกรรมขนส่ง  
สำนักวิชาวิศวกรรมศาสตร์  
มหาวิทยาลัยเทคโนโลยีสุรนารี  
E-mail : tlimanond@yahoo.com

## ประวัติผู้เขียน

นายมานิตย์ เข็คชูนคร เกิดเมื่อวันที่ 21 เดือน กรกฎาคม พ.ศ. 2524 ณ จังหวัดนราธิวาส สำเร็จการศึกษาระดับชั้นมัธยมศึกษาที่โรงเรียนอนุบาลนราธิวาส สำเร็จการศึกษาระดับชั้นมัธยมศึกษาที่โรงเรียนราชสีมาวิทยาลัย อำเภอเมือง จังหวัดนราธิวาส สำเร็จการศึกษาระดับปริญญาตรี วิศวกรรมโยธา คณะวิศวกรรมศาสตร์ มหาวิทยาลัยเทคโนโลยีราชมงคลอีสาน นราธิวาส หลังจากสำเร็จการศึกษาได้เข้าทำงานที่บริษัทช่างไทยแอสฟัลต์ติกคอนกรีต ตำแหน่ง วิศวกร โยธา รับผิดชอบดูแลงานด้านการก่อสร้างพิภาระแบบคอนกรีต และแอสฟัลต์คอนกรีต ให้กับกรมทางหลวง กรมทางหลวงชนบท และ บริษัทเอกชนทั่วไป ในปี พ.ศ. 2549 ได้เข้าศึกษาต่อ ในระดับปริญญาโท สาขาวิชาชีวกรรมขนส่ง สำนักวิชาชีวกรรมศาสตร์ มหาวิทยาลัยเทคโนโลยี สุรนารี โดยได้รับทุนการศึกษาสำหรับผู้มีผลการเรียนดีเด่นที่สมควรเข้าศึกษาระดับบัณฑิตศึกษา มหาวิทยาลัยเทคโนโลยีสุรนารี ในระหว่างศึกษามีผลงานตีพิมพ์เผยแพร่ในการประชุมวิชาการ ขนส่งแห่งชาติ ครั้งที่ 6 ณ จังหวัดพิษณุโลก ระหว่างวันที่ 28 – 30 ตุลาคม พ.ศ. 2552 จำนวน 1 เรื่อง ดังแสดงในภาคผนวก ข.